# ФЕДЕРАЛЬНАЯ СЛУЖБА ПО НАДЗОРУ В СФЕРЕ ЗАЩИТЫ ПРАВ ПОТРЕБИТЕЛЕЙ И БЛАГОПОЛУЧИЯ ЧЕЛОВЕКА

ФЕДЕРАЛЬНОЕ БЮДЖЕТНОЕ УЧРЕЖДЕНИЕ НАУКИ

«НИЖЕГОРОДСКИЙ НАУЧНО-ИССЛЕДОВАТЕЛЬСКИЙ ИНСТИТУТ ЭПИДЕМИОЛОГИИ И МИКРОБИОЛОГИИ ИМ. АКАДЕМИКА И.Н. БЛОХИНОЙ»

На правах рукописи

#### МОХОНОВА ЕКАТЕРИНА ВАЛЕРЬЕВНА

# АНАЛИЗ ИММУНОЛОГИЧЕСКИХ ПАРАМЕТРОВ У ПАЦИЕНТОВ С ХРОНИЧЕСКИМ ГАСТРИТОМ, ИНФИЦИРОВАННЫХ HELICOBACTER PYLORI

3.2.7. Иммунология

# ДИССЕРТАЦИЯ

на соискание ученой степени кандидата биологических наук

Научный руководитель:

**Новиков Виктор Владимирович,** доктор биологических наук, профессор

Нижний Новгород – 2025

# ОГЛАВЛЕНИЕ

ВВЕДЕНИЕ
ГЛ <b>АВА 1 – ОБЗОР</b> ЛИТЕРАТУРЫ12
1.1 – Характеристика <i>Helicobacter pylori</i>
1.2 – Иммунный ответ на инвазию <i>Helicobacter pylori</i>
1.3 – <i>Helicobacter pylori</i> и аутоиммунные заболевания
1.3.1 – <i>Helicobacter pylori</i> и системная красная волчанка
1.3.2 – <i>Helicobacter pylori</i> и антифосфолипидный синдром
1.3.3 – <i>Helicobacter pylori</i> и ревматоидный артрит
1.3.4 – <i>Helicobacter pylori</i> и тиреоидные аутоиммунные заболевания34
ГЛАВА 2 – МАТЕРИАЛЫ И МЕТОДЫ ИССЛЕДОВАНИЯ
2.1 – Общая схема исследования
2.2 – Взятие венозной крови от условно здоровых доноров и больных
хроническим гастритом
2.3 – Получение плазмы крови от условно здоровых доноров и больных
хроническим гастритом методом центрифугирования
2.4 – Определение суммарных антител (IgM, IgA, IgG) к CagA Helicobacter pylori
в плазме крови условно здоровых доноров методом иммуноферментного анализа
40
2.5 – Получение фракции мононуклеарных клеток из периферической крови
условно здоровых доноров, их подсчет и определение жизнеспособности 41
2.6 – Получение неадгезивной фракции лимфоцитов из мононуклеарных клеток
условно здоровых доноров
2.7 – Получение CD4+-клеток методом иммуномагнитной сепарации из
неадгезивной фракции лимфоцитов условно здоровых доноров
2.8 – Взятие образцов ткани желудка от больного хроничес ким гастритом для
бактериологического исследования
2.9 – Проведение быстрого уреазного теста в образце ткани желудка, полученного
от больного хроническим гастритом
2.10 – Первичный посев биопсийного материала желудка, полученного от

больного хроническим гастритом с целью выделения <i>H. pylori</i>
2.11 – Идентификация Helicobacter pylori методом времяпролетной масс-
спектрометрии
2.12 – Стимуляция лимфоцитов суспензиями Helicobacter pylori в присутствии
или отсутствии антител к CD3 и CD28 в модели <i>in vitro</i>
2.13 – Определение концентрации IFN-γ и IL-10 в супернатантах клеточных
культур методом иммуноферментного анализа
2.14 – Иммунофенотипирование Treg и Th17 в культурах лимфоцитов методом
проточной лазерной цитофлуориметрии
2.15 – Получение образцов желудочного сока от больных хроническим гастритом
51
2.16 – Обнаружение ДНК Helicobacter pylori в образцах желудочного сока
больных хроническим гастритом методом полимеразной цепной реакции в
реальном времени
2.17 – Иммунофенотипирование Th17 и Treg в крови больных хроническим
гастритом методом проточной лазерной цитофлуориметрии
2.18 – Экстракция нуклеиновых кислот из образцов периферической крови
больных хроническим гастритом
2.19 – Определение экспрессии мРНК IL-17A, FoxP3, TNF-α в крови больных
хроническим гастритом методом полимеразной цепной реакции с обратной
транскрипцией в реальном времени
2.20 – Определение концентрации цитокинов и уровня аутоантител в плазме
крови больных хроническим гастритом методом иммуноферментного анализа 59
2.21 – Статистическая обработка данных
ГЛАВА 3 – РЕЗУЛЬТАТЫ СОБСТВЕННЫХ ИССЛЕДОВАНИЙ И ИХ
<b>ОБСУЖДЕНИЕ</b>
3.1 – Реакция Т-лимфоцитов человека на сокультивирование с <i>Helicobacter pylori</i>
в модели <i>in vitro</i> без участия антигенпрезентирующих клеток
3.1.1 – Влияние <i>Helicobacter pylori</i> на содержание Th17 и IFN-у в культурах
лимфоцитов

3.1.2 – Влияние <i>Helicobacter pylori</i> на содержание Treg и IL-10 в культурах
лимфоцитов
3.1.3 – Влияние <i>Escherichia coli</i> на содержание Treg в культурах лимфоцитов 72
3.2 – Сравнительный анализ клеточного и гуморального иммунитета у больных
хроническим гастритом, инфицированных и не инфицированных Helicobacter
<i>pylori</i>
3.2.1 – Содержание Th17 и экспрессия мРНК IL-17A в крови больных
хроническим гастритом
3.2.2 – Содержание Treg и экспрессия мРНК FoxP3 в крови больных хроническим
гастритом
3.2.3 — Содержание IL-2 и IL-23 в плазме крови больных хроническим гастритом
3.2.4 — Содержание TNF-α и экспрессия мРНК TNF-α в крови больных
хроническим гастритом
3.2.5 – Уровень аутоантител к ssДНК и dsДНК класса IgG в крови больных
хроническим гастритом
3.2.6 – Уровень аутоантител к β-2-гликопротеину I класса IgM и IgG в крови
больных хроническим гастритом
3.2.7 – Уровень ревматоидного фактора в крови больных хроническим гастритом
90
3.2.8 – Уровень аутоантител к тиреоглобулину и тиреопероксидазе в крови
больных хроническим гастритом
<b>ЗАКЛЮЧЕНИЕ</b> 95
<b>ВЫВОДЫ</b>
ПРАКТИЧЕСКИЕ РЕКОМЕНДАЦИИ
СПИСОК СОКРАЩЕНИЙ И УСЛОВНЫХ ОБОЗНАЧЕНИЙ 104
СПИСОК ЛИТЕРАТУРЫ

#### **ВВЕДЕНИЕ**

Актуальность и степень разработанности темы исследования. Helicobacter pylori (H. pylori) является одной из широко распространенных инфекций человека и ведущим этиологическим фактором хронического гастрита, язвы желудка и двенадцатиперстной кишки, аденокарциномы и MALT-лимфомы (Mucosa Associated Lymphoid Tissue) [25; 146]. Распространение H. pyloriинфекции значительно различается в зависимости от географической области, возраста, этнической принадлежности и социально-экономического статуса. Эпидемиологические данные свидетельствуют о том, что приблизительно половина населения мира инфицирована данным микроорганизмом [114; 134]. Организм хозяина реагирует на появление *H. pylori*, вырабатывая иммунный ответ, который не всегда оказывается достаточно эффективным для устранения инфекции [7]. *H. pylori* модулирует иммунный ответ и оказывает значимое влияние на гомеостаз организма хозяина. Результатом служит ограниченная воспалительная реакция, которая, с одной стороны, поддерживается на протяжении длительного времени, а с другой стороны, не обладает способностью обеспечить освобождение инфекционного агента. Возникает хроническое организма течение хеликобактерной инфекции, часто без выраженных симптомов и проявлений, но с носительством *Н. pylori* [261]. В случаях активного характера течения провоспалительных реакций, когда ослабевает модулирующее действие регуляторных Т-лимфоцитов и активируются популяции провоспалительных клеток, возникают выраженные деструктивно-воспалительные изменения слизистой желудка и двенадцатиперстной кишки при сохранении инфицирования H. pylori [63; 111]. Длительное сохранение воспаления вызывает локальную активизацию мутагенеза, приводящую к накоплению драйверных мутаций, инициирующих развитие злокачественных новообразований слизистой желудка. Однако взаимодействие *H. pylori* и макроорганизма не ограничивается исключительно слизистой оболочкой желудочно-кишечного тракта – механизмы,

определяющие адаптацию этой бактерии к условиям жизни в человеческом организме, потенциально могут вызывать системные нарушения иммунного равновесия, провоцируя развитие разнообразных заболеваний.

представлены В доступной литературе результаты исследований, указывающих, с одной стороны, на способность *H. pylori* участвовать в инициации аутоиммунных реакций [57; 139; 166], а с другой стороны, не подтверждающих указанную роль *H. pylori* [131; 354]. Достаточно сложная и неоднозначная картина влияния *H. pylori* на иммунологические процессы организма, представленная в литературных источниках, явилась основанием для выполнения исследований, направленных на оценку иммунологических параметров у больных хроническим гастритом, инфицированных *H. pylori*. Результаты позволят как дополнить представления о роли *H. pylori* в развитии хронического гастрита в целом, так и получить информацию о возможности патогенетического влияния *H. pylori* на развитие аутоиммунных реакций у больных хроническим гастритом.

**Цель исследования** – провести анализ иммунологических параметров при инфицировании *Helicobacter pylori* в модели *in vitro* и у больных хроническим гастритом.

#### Задачи исследования:

- 1. Исследовать реакцию Т-лимфоцитов человека при сокультививировании с Helicobacter pylori в модели in vitro без участия профессиональных антигенпрезентирующих клеток.
- 2. Оценить содержание Т-хелперов 17-го типа (Th17) и Т-регуляторных клеток (Treg), а также уровень цитокинов в крови больных хроническим гастритом, инфицированных и не инфицированных *H. pylori*.
- 3. Провести сравнительный анализ в содержании аутоантител против одноцепочечной и двухцепочечной ДНК (анти-ssДНК-IgG и анти-dsДНК-IgG), ревматоидного фактора (РФ), бета-2-гликопротеина I (anti-β-2-Glycoprotein I-IgM/IgG), тиреоглобулина (анти-ТГ) и тиреопероксидазы (анти-ТПО) в крови больных хроническим гастритом, инфицированных и не инфицированных *H. pylori*.

**Научная новизна.** Впервые обнаружено, что в модели *in vitro* сокультивирование *H. pylori* с CD4+-лимфоцитами периферической крови условно здоровых доноров без участия профессиональных антигенпрезентирующих клеток приводит к увеличению популяции Treg, повышению концентрации интерлейкина-10 (IL-10) и интерферона-гамма (IFN-γ), при этом уровень Th17 не изменяется.

Впервые показано, что в крови больных хроническим гастритом, несмотря на повышение уровня интерлейкина-2 (IL-2) и интерлейкина-23 (IL-23) при детектированном инфицировании *H. pylori*, количество Т-лимфоцитов с фенотипами (Th17 и Treg), относительный уровень мРНК мастер-генов этих популяций (мРНК IL-17A и мРНК FoxP3), а также содержание фактора некроза опухоли-альфа (TNF-α) и мРНК TNF-α не зависят от *H. pylori*-статуса.

Установлено, что в крови больных хроническим гастритом, инфицированных и не инфицированных H. pylori, содержание аутоантител против одноцепочечной и двухцепочечной ДНК,  $\beta$ -2-гликопротеина I и ревматоидного фактора не превышает верхнюю границу нормы, что указывает на отсутствие связи между инфицированием данным микроорганизмом и развитием аутоиммунных реакций, сопровождающихся повышением уровня указанных маркеров. При этом уровень аутоантител против  $\beta$ -2-Glycoprotein I-IgM/IgG достоверно выше у больных хроническим гастритом, не инфицированных H. pylori, в сравнении с инфицированными больными.

Обнаружено достоверное повышение, не выходящее за пределы нормальных значений, уровня аутоантител против тиреоглобулина и тиреопероксидазы в крови инфицированных *H. pylori* больных хроническим гастритом в сравнении с больными, у которых *H. pylori*-инфекция отсутствует.

**Теоретическая и практическая значимость работы.** *Теоретическая значимость работы* заключается в получении новых знаний о влиянии *H. pylori* на функциональное состояние CD4+ Т-лимфоцитов в условиях *in vitro* и на показатели гуморального и клеточного иммунитета больных хроническим гастритом. Продемонстрированы изменения в количестве и способности к продукции цитокинов популяции Treg клеток при сокультивировании с *H. pylori*, что отражает

способность этого микроба индуцировать супрессорные изменения и, возможно, связано с прямым воздействием патогена на Т-лимфоциты. В крови больных хроническим гастритом, инфицированных *H. pylori*, обнаружено повышенное в сравнении с неинфицированными больными содержание IL-2 и IL-23, отражающее возможной провоспалительных процессов cаутоиммунной индукцию компонентой. Однако *H. pylori*-инфекция у больных хроническим гастритом не сопровождается нарушением баланса Th17/Treg клеток и не приводит к смещеню Т-хелперного ответа в сторону Th17 клеток. Анализ уровня аутоантител, являющихся маркерами системной красной волчанки, антифосфолипидного синдрома и ревматоидного артрита, не выявил различий в сравнении с нормой и между больными, инфицированными и не инфицированными *H. pylori*. В то же время аутоиммунные маркеры тиреоидных заболеваний, сохраняясь в пределах нормы, были достоверно повышены у больных – носителей *H. pylori*, что послужило возможным подтверждением роли H. pylori в патогенезе аутоиммунных заболеваний, ассоциированных с щитовидной железой.

Практическая значимость работы заключается в получении данных, свидетельствующих о целесообразности выделения *H. pylori*-положительных больных хроническим гастритом в группу риска по развитию тиреоидных аутоиммунных заболеваний. Результаты работы могут использоваться при дальнейшем изучении механизмов иммунного ответа на *H. pylori*-инфекцию, при прогнозировании возможных рисков, обусловленных инфицированием этим микроорганизмом, а также в учебном процессе в рамках курсов по иммунологии и микробиологии, читаемых для студентов биологических и медицинских специальностей.

Методология и методы исследования. Диссертационная работа выполнена в Федеральном бюджетном учреждении науки «Нижегородский научно-исследовательский институт эпидемиологии и микробиологии им. академика И.Н. Блохиной» Федеральной службы по надзору в сфере защиты прав потребителей и благополучия человека (ФБУН ННИИЭМ им. академика И.Н. Блохиной Роспотребнадзора) на базе лаборатории иммунохимии.

Методологической основой работы стал комплексный анализ иммунологических параметров при инфицировании Helicobacter pylori в модели in vitro и у больных хроническим гастритом. Проведение исследования было одобрено локальным ФБУН ННИИЭМ Блохиной этическим комитетом им. акалемика И.Н. Роспотребнадзора (протокол №6 от 25.11.2021). Для достижения исследования и решения поставленных задач были использованы современные микробиологические, иммунологические, молекулярно-генетические статистические методы. Полученные результаты систематизированы и обсуждены в сравнении с литературными данными. Исходя из результатов исследования, сформулированы выводы и практические рекомендации.

## Положения, выносимые на защиту

- 1. Сокультивирование *H. pylori* и Т-лимфоцитов периферической крови условно здоровых доноров в модели *in vitro* приводит к увеличению популяции Treg и Т-хелперов 1-го типа (Th1) при неизменном количестве Th17 и усилении продукции IL-10 и IFN-γ.
- 2. Содержание Treg и Th17 клеток в периферической крови больных хроническим гастритом, инфицированных и не инфицированных *H. pylori*, не различается.
- 3. Медиана уровня аутоантител против одноцепочечной и двухцепочечной ДНК, бета-2-гликопротеина I и ревматоидного фактора в крови больных хроническим гастритом не превышает границ нормы и не зависит от инфицирования *H. pylori*.
- 4. В периферической крови больных с *H. pylori*-ассоциированным хроническим гастритом уровень IL-2, IL-23 и аутоантител против тиреоглобулина и тиреопероксидазы достоверно значимо выше, чем у больных с хроническим гастритом, не ассоциированным с *H. pylori*.

Степень достоверности и апробация результатов. Результаты получены с помощью стандартизованных методов, на выборках достаточного объема и воспроизведены в нескольких сериях экспериментов. Для оценки достоверности выявленных различий использованы адекватные статистические критерии.

Результаты экспериментов проанализированы и сопоставлены с известными клиническими данными других исследователей. Сформулированные в диссертации научные положения и выводы согласуются с известными фактами, обоснованными теоретическими решениями и экспериментальными данными и не противоречат известным положениям иммунологии.

Результаты, полученные в ходе выполнения работы, неоднократно представлялись на конференциях различного уровня: Всероссийской научнопрактической конференции, посвященной 95-летию кафедры микробиологии ФГБВОУ ВО «Военно-медицинская академия имени С.М. Кирова» Министерства обороны Российской Федерации (Санкт-Петербург, 2018 г.); XXIII Нижегородской сессии молодых ученых (Нижний Новгород, 2018 г.); 71, 73, 76 Всероссийских школах-конференциях молодых ученых с международным участием «Биосистемы: организация, поведение, управление» (Нижний Новгород, 2018, 2020, 2023 гг.); Всероссийской научно-практической конференции «Научное обеспечение противоэпидемической защиты населения: актуальные проблемы и решения» (Нижний Новгород, 2019 г.); Всероссийской научно-практической конференции «Эпидемиологический надзор за актуальными инфекциями: новые угрозы и вызовы» к 100-летию со дня рождения академика И.Н. Блохиной (Нижний Новгород, 2021 г.); Межрегиональной научно-практической конференции «Актуальные вопросы эпидемиологии и гигиены: наука и практика. Ответы на глобальные вызовы» (Нижний Новгород, 2022 г.); XV Всероссийском Конгрессе по инфекционным болезням имени академика В.И. Покровского (Москва, 2023 г.).

Личный вклад автора. Автор принимал непосредственное участие в выполнении всех этапов диссертационного исследования. Создание основной идеи, планирование научной работы, включая формулировку рабочей гипотезы, целей, задач работы, определение методологии диссертационного исследования, интерпретация и анализ полученных результатов, а также подготовка публикаций по теме диссертации осуществлялась соискателем совместно с научным руководителем – доктором биологических наук, профессором В.В. Новиковым. Анализ, систематизация, обобщение литературных данных по изучаемой

проблеме, экспериментальные исследования, статистическая обработка данных, оформление рукописи диссертации и автореферата, формулировка положений, выносимых на защиту, выводов и практических рекомендаций, представление результатов в виде докладов на конференциях осуществлялись соискателем лично.

## Внедрение результатов исследования в практику.

Создан и внедрен на местном уровне (ФБУН ННИИЭМ им. академика. И.Н. Блохиной Роспотребнадзора) результат интеллектуальной деятельности (ноу-хау) «Способ культивирования *Helicobacter pylori*», который используется в работе лаборатории иммунохимии.

Основные результаты диссертационного исследования и методологические подходы внедрены в научно-исследовательскую работу лаборатории иммунохимии, а также используются в комплексе обследования пациентов с хроническим гастритом, проходящих лечение в Клинике инфекционных болезней ФБУН ННИИЭМ им. академика И.Н. Блохиной Роспотребнадзора.

**Публикации по теме диссертационной работы.** Результаты диссертации опубликованы в 17 печатных работах, из них 4 статьи в научных изданиях, рецензируемых ВАК по специальности 3.2.7. Иммунология, и/или индексируемых в Scopus, RSCI.

Структура и объем диссертации. Диссертационная работа изложена на 149 страницах, содержит 3 таблицы и 19 рисунков, включает следующие разделы: введение, обзор литературы, материалы и методы исследования, результаты собственных исследований и их обсуждение, заключение, выводы, практические рекомендации, список сокращений и условных обозначений и список литературы (366 источников, из них 27 отечественных и 339 иностранных).

#### ГЛАВА 1 – ОБЗОР ЛИТЕРАТУРЫ

# 1.1 – Характеристика Helicobacter pylori

Неlicobacter pylori — это мелкие, грамнегативные, микроаэрофильные, неспорообразующие бактерии, по форме напоминающие спиралевидные изогнутые палочки [311]. Кроме того, довольно часто встречаются S-образные и достаточно редко U-образные и V-образные формы этих микробов. При неблагоприятных условиях H. pylori могут трансформироваться в кокковые формы, у которых редуцируется обмен веществ, снижается ферментативная активность и репродуктивная способность, но при этом они становятся устойчивыми к внешним воздействиям, в том числе к действию антибактериальных препаратов [186; 189; 241]. Способность трансформироваться из спиральной формы в кокковую является одним из механизмов, который использует патоген в желудочно-кишечном тракте (ЖКТ) хозяина [293]. Попав в благоприятные условия, некоторые кокковые формы H. pylori могут вновь колонизировать слизистую оболочку желудка (СОЖ) и двенадцатиперстной кишки (ДПК) [23; 302].

Важным фактором, способствующим эффективной колонизации желудка, является высокая подвижность бактерии, связанная с наличием жгутиков [10; 135, 236]. На одном из полюсов *Н. руlori* располагаются от 2 до 6 жгутиков, представленные у разных штаммов разнообразными белковыми комплексами из флагеллина (FlaA, FlaB, FlaD, FlgK) [45; 186]. С помощью жгутиков бактерии как бы ввинчиваются внутрь слизистого слоя, тем самым обеспечивая себе менее кислое окружение в сравнении с просветом желудка [107; 109; 236; 272]. Мутантные штаммы *Н. руlori*, у которых отсутствуют жгутики, не способны колонизировать слизистую желудка [276; 303].

*H. pylori* имеет большой набор (около 64) наружных мембранных белков OMPs (Outer membrane proteins), необходимых для прикрепления к клеткам хозяина [187; 250; 289]. К наиболее известным адгезинам относят: BabA (Lewis

blood group antigen-binding adhesion), SabA (sialic Lewis X antigen-binding adhesion), AlpA (Adherence-associated lipoprotein A), AlpB (Adherence-associated lipoprotein B), HopZ (H. pylori outer protein Z), OipA (Outer inflammatory protein A), HopQ (H. pylori outer protein Q), которые распознают определенные фрагменты желудочного эпителия [99; 352]. Мишенями для BabA служат LeB (Fucose residues of Lewis-like antigens type B), а для SabA – sLeX (Sialo-Lewis X-sphingolipid), экспрессируемые на эпителиальных клетках желудка [9; 145; 183; 203; 309]. В результате связывания BabA с LeB происходит активация T4SS (Type four secretion system), по которой в эпителиоциты доставляются эффекторные белки [145; 270; 319; 326; 332]. В то же время SabA может взаимодействовать и с другими молекулами хозяина, такими как ламинин и фибронектин [203]. AlpA и AlpB также являются белками внешней мембраны *H. pylori*, которые участвуют в прикреплении бактерии к эпителиальным клеткам желудка и индуцируют экспрессию провоспалительных цитокинов (ІL-6 и IL-8) [126]. Предполагается, что рецептором для AlpA и AlpB является ламинин (компонент внеклеточного матрикса желудочного эпителия), а рецептор для Нор Z до сих пор не идентифицирован [71; 91; 132; 280; 294]. В то же время у *H. pylori* обнаружен внешний воспалительный белок ОірА, который ведет себя как адгезин и участвует в воспалении слизистой желудка за счет секреции IL-8 [104; 179; 212; 273]. НорQ – один из важных белков внешней мембраны *H. pylori*, который связывается с молекулами клеточной адгезии CEACAMs (Carcinoembryonic antigen-related cell adhesion molecules) на поверхности клетки хозяина и обеспечивает транслокацию CagA (Cytotoxin-associated gene A) в эпителиальные клетки желудка, что приводит к секреции воспалительного цитокина IL-8 [138; 335].

Важным фактором патогенности Н. pylori способность является продуцировать никель-зависимый металлофермент – уреазу, которая разрушает проникающую в просвет желудка через стенку капилляров сосудистого русла 303]. При образуется углекислый газ мочевину [45; ЭТОМ аммиак, нейтрализующий соляную кислоту желудочного сока и создающий вокруг *H. pylori* наиболее благоприятную для его существования локальную среду с рН 7,0 [189;

276]. Недостаточная доступность никеля в цитоплазме или избыточное его поступление ухудшают активацию уреазы и выживание патогена. Штаммы H. pylori, дефектные в отношении продукции уреазы, не способны колонизировать слизистую желудка и двенадцатиперстной кишки [8; 67; 262; 357]. В то же время аммиак, образующийся в результате гидролиза мочевины под действием уреазы, способен повреждать эпителиальные клетки желудка и разрушать межклеточные контакты, а также взаимодействовать с нейтрофилами и макрофагами, активируя в них образование активных форм кислорода, которые могут пагубно воздействовать на слизистую оболочку желудка [45; 238; 269; 324]. Уреаза, локализованная на поверхности бактерий, способна связываться с МНС II (Major histocompatibility complex II class) на эпителиоцитах желудка, и это взаимодействие опосредуется субъединицей UreA (Urease subunit A), что приводит к апоптозу желудочных клеток [64; 269; 333]. В свою очередь, субъединица Ure В (Urease subunit В) связывается с молекулой CD74 (Cluster of differentiation 74), экспрессирующейся на желудочном эпителии, и индуцирует активацию NF-кB (Nuclear factor kappa B) и выработку IL-8 [146].

В геноме практически всех штаммов *H. pylori* присутствуют различные подтипы И аллельные комбинации вакуолизирующего цитотоксинассоциированного гена A, продуктом которого является VacA (Vacuolating cytotoxins) [46]. Данный токсин взаимодействует с рецепторами желудочных эпителиоцитов и посредством эндоцитоза проникает внутрь клетки [25; 253; 315]. Поглощенный клетками токсин встраивается в мембрану эндосом и активирует транспорт ионов хлора и воды внутрь вакуоли. Из-за разницы осмотического давления в вакуоли поступает жидкость, что приводит к их набуханию, слиянию, разрыву клеточной мембраны и гибели эпителиоцита [94; 221]. Также сообщалось, что VacA связывается митохондриями, аппаратом Гольджи c эндоплазматическим ретикулумом [252]. Важной внутриклеточной мишенью для VacA митохондрии. Токсин являются встраивается во внутреннюю митохондриальную мембрану, в результате чего нарушается энергетический обмен и синтез АТФ (аденозинтрифосфорная кислота), далее клетка-мишень погибает [127; 296]. Из-за воздействия VacA в париетальных клетках желудка снижается выработка соляной кислоты, что, с одной стороны, способствует выживанию патогена, а с другой стороны, снижает активность некоторых желудочных ферментов, что приводит к развитию гипоацидного гастрита и диспепсии. Необходимо отметить, что VacA свое цитотоксическое действие может оказывать не только на эпителиальные клетки желудка, но и на клетки-мишени различных типов (лимфоциты, макрофаги, эозинофилы, тучные и дендритные клетки), подавляя активацию специфических иммунных клеток и ингибируя выработку цитокинов [3; 293].

Важным свойством *H. pylori* является присутствие в геноме острова патогенности Cag-PAI (Cytotoxin-associated gene Pathogenicity Island), который кодирует бактериальную систему секреции IV типа и эффекторный белок CagA [61; 119; 348]. Поскольку не все штаммы *H. pylori* способны экспрессировать CagA, их подразделяют на Cag PAI-положительные и Cag PAI-отрицательные [37]. Для действия CagA требуется непосредственный контакт H. pylori с эпителиальной клеткой, в ходе которого токсин вводится внутрь эпителиоцита с помощью T4SS. [189; 287]. Таким образом, специализированные компоненты системы секреции IV типа (CagL и CagH) связываются с интегриновыми рецепторами на эпителиальных клетках желудка и участвуют в транслокации белка CagA, последний локализуется на плазматической мембране эпителиоцитов и подвергается фосфорилированию мотиву Glu-Pro-Ile-Tyr-Ala (EPIYA) на С-конце молекулы тирозина по протеинкиназами Src (Sarcoma virus kinase) и Abl (Abelson kinase) клетки-хозяина [32; 80; 149; 155; 355]. Фосфорилированная форма CagA активирует ERK1/2 (Extracellular signal-regulated kinase1/2) B эпителиоцитах, что приводит реорганизации цитоскелета (клетки удлиняются и приобретают фенотип «колибри») [35; 189]. В то же время нефосфорилированный CagA способен нарушать контакты между эпителиальными клетками желудка за счет связывания с каркасным и адгезионным белками ZO-1 (Zona occludens protein) и JAM (Junction adhesion molecule) соответственно [134; 147; 310]. Необходимо отметить, что помимо CagA по T4SS в желудочный эпителий может доставляться пептидогликан

*H. pylori*, который распознается внутриклеточным цитоплазматическим рецептором NOD1 (Nucleotide-binding oligomerization domain 1), ДНК *H. pylori*, которая распознается TLR9 (Toll-like receptor 9), а также предшественники гептозы липополисахарида hetose-1,7-bisphosphate и ADP-glycero-β-D-manno heptos), которые взаимодействуют с ALPK1 (Alpha Kinase 1), что приводит к активации NF-кβ и синтезу провоспалительных цитокинов [40; 42; 177; 267; 277].

У *Н. руlori* описан белок IceA (Induced by contact with epithelium), кодируемый геном iceA, который отвечает за взаимодействие бактерии с эпителием желудка. Данный белок присутствует практически у всех штаммов *Н. руlori*. Он существует в двух аллельных вариантах: iceA1 и iceA2. Ген iceA1, ассоциирован с язвенной болезнью желудка, а ген iceA2 ассоциирован с хроническим гастритом [309].

В желудка повреждении эпителия также может участвовать цитоплазматический белок, активирующий нейтрофилы, HP-NAP (Helicobacter pylori-neutrophil-activating protein). При разрушении микроба HP-NAP способен мигрировать через эпителиальный барьер в собственную пластинку желудка, где стимулирует нейтрофилы и моноциты к выработке активных форм кислорода и азота, а также образованию IL-12 и IL-23 [69; 338]. Регуляторные цитокины IL-12 и IL-23 играют важную роль в Т-клеточно-опосредованных реакциях при воспалении. Под действием IL-12 и IL-23 активируются Т-лимфоциты, которые синтезируют IFN-у – ключевой цитокин, играющий важную роль в поляризации иммунного ответа в сторону Th1 клеток в слизистой оболочке желудка пациентов, инфицированных *Н. pylori* [345; 359; 363].

К факторам вирулентности *H. pylori* относят протеазу HtrA (High-temperature requirement A), которая локализуется в периплазме бактерий и обеспечивает их устойчивость к высоким температурам и рН [43; 160]. *H. pylori* активно секретируют HtrA во внеклеточную среду, где она воздействует на клетки хозяина. Под воздействием HtrA происходит разрушение белков межклеточных контактов эпителиальных клеток (occludin, claudin-8 и E-cadherin), благодаря чему микроб проникает в межклеточные пространства [160; 205; 286]. Все штаммы *H. pylori* 

содержат HtrA [81; 82; 136; 160; 283]. В то же время HtrA участвует в удалении поврежденных высокой температурой белков [253].

В везикулах внешней мембраны OMVs (Outer Membrane Vesicle) *Н. руlori* располагается GGT (Gamma-Glutamyl Transpeptidase) — фермент, который взаимодействует с эпителиальными клетками желудка и катализирует превращение в них глутамина и глутатиона в глутамат, последний используется бактериями в азотном и углеводном обмене. В то же время под воздействием GGT образуются активные формы кислорода, в частности перекись водорода и аммиак, которые участвуют в повреждении желудочного эпителия. GGT активирует в эпителиоцитах провоспалительные функции за счет избыточной секреции IL-8 [71; 129].

# 1.2 – Иммунный ответ на инвазию Helicobacter pylori

Оказавшись в полости желудка, *H. pylori* с помощью уреазы нейтрализует соляную кислоту, а затем внедряется в слизистый слой, покрывающий эпителий [318]. Большинство бактерий располагаются свободно внутри слоя слизи, лишь некоторые из них (приблизительно около 20 %) способны прикрепляться к клеткам желудка [17]. В то же время в слизи присутствуют муцины, которые взаимодействуют с *H. pylori*, тем самым ограничивая его связывание с поверхностью желудочного эпителия. Несмотря на подобное положение вещей, H. pylori вырабатывает протеолитические ферменты, разрушающие муцины, что позволяет микробу в дальнейшем прикрепляться с помощью белков-адгезинов к апикальной поверхности эпителиальных клеток и участвовать в их повреждении [19; 79; 87; 120; 248]. При успешной колонизации *H. pylori* продуцирует множество различных факторов вирулентности (включая два известных цитотоксина CagA и VacA), ответственных за повреждение тканей хозяина [39; 45; 250]. Из поврежденных клеток высвобождаются «сигналы опасности», называемые молекулярными паттернами, связанными с повреждением, DAMPs (Damageassociated molecular pattern), которые совместно с патоген-ассоциированными молекулярными паттернами PAMPs (Pathogen-associated molecular patterns)

принимают участие в воспалении [74; 133]. PAMPs и DAMPs взаимодействуют с мембранными и цитозольными паттерн-распознающими рецепторами PRRs (Pattern-recognition receptors), которые играют важную роль в активации врожденных и адаптивных иммунных реакций, направленных на борьбу с патогеном [84; 223]. К PRR относят: TLRs (Toll-like receptors), NLRs (NOD-like receptors), CLRs (C-type lectin receptors), RLRs (RIG-I-like receptors) [245]. Y человека известно десять Toll-подобных рецепторов, которые участвуют в распознавании различных PAMPs H. pylori [229]. В слизистой оболочке желудка, инфицированной *H. pylori*, наиболее интенсивно экспрессируется TLR2 [164; 343], который является лигандом для бактериального ЛПС (липополисахарида) [196; 217; 345; 350]. В то же время, по мнению некоторых авторов, ЛПС *H. pylori* также может распознаваться с помощью TLR4, хотя роль последнего в этом процессе является предметом дискуссий, что, вероятно, зависит как от иммунной системы хозяина, так и от различий штаммов *H. pylori* [133; 292; 313; 344; 345]. Более того, секретируемый *H. pylori* белок сообщалось, что НР0175 распознается желудочными TLR4, экспрессия которых значительно повышается при H. pyloriинфекции [114; 182]. В распознавании флагеллина большинства бактериальных клеток принимают участие TLR5, экспрессирующиеся на эпителиоцитах желудка [30]. В исследованиях нескольких коллективов авторов сообщалось, что флагеллин *H. pylori* активирует ядерный фактор транскрипции NF-кВ и стимулирует синтез IL-8 и TNF-α, принимающих участие в воспалении [216; 342]. В то же время в литературе встречаются сообщения, демонстрирующие, что флагеллин, входящий в состав жгутиков *H. pylori*, не распознается TLR5 желудочного эпителия, поскольку имеет измененную структуру в N-концевом домене D1, который отвечает за связывание с TLR5 [95; 116; 325]. В недавних исследованиях было обнаружено, что лигандом для TLR5 являются белки CagY и Cag L, являющиеся компонентами системы секреции IV типа, которые активируют NF-кВ для последующего синтеза провоспалительных цитокинов и привлечения в очаг инфекции иммунных клеток [325; 346]. Более того, *H. pylori* с помощью T4SS способен доставлять в клетки хозяина собственную ДНК, которая взаимодействует

TLR9 c может стимулировать как провоспалительные, так И противовоспалительные реакции [277; 358]. В недавних исследованиях было продемонстрировано, что TLR7 и TLR8 играют важную роль при инфицировании Н. РНК pylori, поскольку способны распознавать бактериальную (рибонуклеиновую кислоту), вызывая экспрессию интерферона I типа [170].

Желудочные эпителиоциты экспрессируют цитозольные NOD1-рецепторы, с которыми взаимодействует пептидогликан H. pylori, доставляемый в клеткихозяина с помощью T4SS или через OMVs [180; 267], что приводит к активации выработке антимикробных пептидов HBD (human эпителиоцитами [266; 268]. Было показано, что желудочные эпителиоциты в ответ на H. pylori экспрессируют cathelicidin LL-37, HBD1, HBD2 и HBD3 [70; 117; 128; 199]. HBD связываются с отрицательно заряженными молекулами ЛПС микроорганизма и проявляют бактерицидную активность [197; 201]. Однако стоит отметить, что штаммы *H. pylori*, у которых присутствуют ферменты LpxE и LpxF, способны видоизменять ЛПС путем удаления отрицательно фосфатных групп дисахаридной цепи липида А, что затрудняет связывание антимикробных пептидов с инфектантом, и в конечном итоге способствует колонизации слизистой желудка. Кроме того, *H. pylori* способен управлять сигнальными каскадами, которые регулируют экспрессию антимикробных пептидов. Было показано, что CagA и CGT подавляют синтез HBD3 в эпителиальных клетках желудка [153; 334]. R.P. Semper и соавт. продемонстрировали, что *H. pylori*-инфекция приводит к зависимому от NLRC4 инфламмасомы созреванию IL-18 в желудочном эпителии, что активирует передачу сигнала NF-кВ и снижает экспрессию конститутивно экспрессируемого HBD1. Таким образом, β-дефензины взаимодействуют с *H. pylori* намного слабее, чем с большинством других микроорганизмов [366]. Контакт *H. pylori* или его структур с Toll-подобными и NOD-подобными рецепторами слизистой желудка запускает сигнальный каскад с вовлечением ряда адаптерных белков, что приводит к активации ядерных факторов транскрипции (NF-кВ, IRF, AP-1) и синтезу провоспалительных цитокинов и хемокинов последующей активацией c

нейтрофилов и мононуклеарных клеток [347; 361]. В ответ на инфекцию *H. pylori* желудочные эпителиоциты, макрофаги и дендритные клетки экспрессируют IL-8мощный хемокин для привлечения нейтрофилов в очаг инфекции [38]. В то же время через поврежденный эпителиальный барьер в собственную пластинку желудка мигрируют разнообразные компоненты *H. pylori*, которые также участвуют в запуске воспалительных реакций посредством активации клеток как врожденного, так и адаптивного иммунитета [178; 338]. Было показано, что мигрирующие в очаг воспаления макрофаги способны активироваться бактериальной уреазой, ЛПС, Hsp 60 (Heat shock protein 60), HP-NAP, а также гептозными метаболитами *H. pylori*, что в конечном итоге приводит к запуску воспалительных реакций [159; 224; 338]. Так, уреаза способна проникать в собственную пластинку желудка, где стимулирует макрофаги к выработке NO (Nitric oxide) [51; 98], а белок теплового шока Hsp 60 в условиях слизистой может индуцировать макрофаги к высвобождению ІL-6 [158; 191]. Более того, недавно было обнаружено, что *H. pylori* при помощи T4SS доставляет в макрофаги метаболиты гептозы, которые участвуют в активации NF-кВ и экспрессии IL-8 [92]. В то же время, помимо ІL-6 и ІL-8, макрофаги секретируют ІL-1В, ІL-10, ІL-12 и ІL-23 [88].

В ответ на HP-NAP нейтрофилы активируются с высвобождением IL-8, а в ответ на FlaA — экспрессией IL-1β и активных форм кислорода ROS (Reactive oxygen species) и азота RNS (Reactive nitrogen species) [178; 337; 355]. В то же время в недавнем исследовании сообщалось, что HP-NAP способен также индуцировать образование нейтрофильных внеклеточных ловушек NETs (Neutrophil extracellular traps) [76; 178]. Основная функция нейтрофилов и макрофагов заключается в уничтожении вторгшихся патогенов путем фагоцитоза или высвобождения активных форм кислорода [265; 275]. Однако следует отметить, что *H. pylori* запускает механизмы, которые, с одной стороны, ограничивают количество активных фагоцитов, а также препятствуют фагоцитозу, а с другой стороны, защищают от пагубного воздействия продуктами окислительного стресса. *Н. pylori* ингибирует размножение макрофагов, нарушая работу генов, связанных с

клеточным циклом, а также индуцирует апоптоз макрофагов ERK-зависимым путем [163; 322]. Более того, было обнаружено, что *H. pylori* CagA-зависимым образом влияет на активацию нейтрофилов, подавляя экспрессию активатора нейтрофильной протеазы CtsC (Cathepsin C) в эпителиальных клетках желудка [36]. Кроме того, *H. pylori* нарушает полярность нейтрофилов, что приводит к нарушению хемотаксиса по отношению к ІС-8 и снижению скорости миграции [193]. Другой механизм персистенции *H. pylori* включает ингибирование фагоцитоза. Так, бактериальная уреаза способна оказывать прямое ингибирующее действие на фагоцитоз, а аммиак, образующийся в результате гидролиза мочевины под действием внеклеточной уреазы, участвует в повреждении мембраны фагоцитов и снижает их активность [195]. Кроме того, гемагглютинины, экспрессирующиеся *H. pylori*, тормозят процессы адгезии, что также препятствует фагоцитозу [297]. *H. pylori* может нарушать работу фагоцитарных механизмов уничтожения и оказывается хорошо подготовленным к выживанию в условиях высвобождения активных форм кислорода и азота. *H. pylori* нарушает работу NADPH-oxidases (Nicotinamide adenine dinucleotide phosphate-oxidases) нейтрофилах человека, в результате чего супероксид-анионы накапливаются не внутри фагосом, а во внеклеточном пространстве [154]. В то же время созревание фагосом ингибируется VacA и CGT H. pylori. [150; 365]. В обезвреживании активных форм кислорода принимают участие ферменты Н. pylori. Супероксиддисмутаза способствует расщеплению супероксида до кислорода, а каталаза преобразует перекись водорода в воду и молекулярный кислород [65; 68]. Аргиназа ингибирует выработку оксида азота, что в конечном итоге приводит к снижению бактерицидной активности макрофагов [51; 143; 144], а ферменты NOредуктаза (NoRH) и GSNO-редуктаза (FrxA) расщепляют токсичный оксид азота и химически активный азотистый промежуточный продукт **GSNO** (Snitrosoglutathione) [124; 157]. Таким образом, нейтрофилы и макрофаги, несмотря на успешную активацию, не способны эффективно справиться с H. pyloriинфекцией, однако продолжают участвовать в дальнейших иммунных реакциях, высвобождая высокие уровни провоспалительных цитокинов [38].

В ответ на *Н. руlori* желудочный эпителий экспрессирует хемокины, необходимые для привлечения в очаг инфекции DCs (Dendritic cells), последние распознают *Н. руlori* и определяют дальнейшие адаптивные иммунные реакции. Активированные DCs высвобождают IL1-β, IL-6, IL-8, IL-10, IL-12 и IL-23, которые совместно с презентацией антигена выступают в роли микроокружения и необходимы для дифференцировки в различные подмножества эффекторных клеток [88].

Врожденный иммунный ответ не всегда оказывается достаточно эффективным для устранения инфекции, поэтому важное место в борьбе с *H. pylori* занимают процессы адаптивного иммунитета [242]. Особый вклад в борьбу с патогеном вносит гуморальный иммунный ответ. Антитела, синтезируемые Влимфоцитами в ответ на *H. pylori*, играют важную роль в формировании местных защитных механизмов. У людей, инфицированных *H. pylori*, слизь желудка содержит преимущественно мономерный IgA (иммуноглобулин A) и небольшие количества sIgA (секреторный иммуноглобулина A) [93; 102]. Предполагается, что при повреждении эпителия слизистой оболочки желудка мономерный IgA обходит секреторную транспортную систему, вследствие чего возникает дефицит sIgA, который необходим для предотвращения связывания микроба с поверхностью желудочного эпителия. Ограниченная продукция sIgA в желудке не может полностью устранить персистирующую *H. pylori*-инфекцию, поэтому защитная функция IgA оказывается недостаточной [11; 24; 93; 102; 260]. Наличие IgE (синтезируется плазмоцитами собственной пластинки слизистой) также связано с иммунным ответом на *H. pylori*-инфекцию [4; 118; 206]. Микроорганизмы, которые преодолели защитный барьер, создаваемый IgA, связываются с IgE на поверхности тучных клеток с высвобождением последними медиаторов и хемотаксических факторов, обеспечивающих приток нейтрофилов и макрофагов. Таким образом, повышенный уровень IgE указывает на выраженность местной защиты слизистой оболочки от персистирующих патогенов и их секретируемых антигенов, обеспечивая противоинфекционный иммунитет [5; 13; 26].

В то же время у всех инфицированных *H. pylori* лиц развивается клеточный иммунный ответ, в ходе которого наивные CD4+ Т-лимфоциты выбирают, по какому пути пойдет их дифференцировка в ту или иную субпопуляцию Т-хелперов [89; 260]. Важная роль принадлежит ЦИТОКИНОВОМУ окружению [161]. Рекрутированные в слизистую оболочку желудка нейтрофилы и макрофаги в ответ на HP-NAP экспрессируют IL-12 и IL-23, которые необходимы для поляризации лимфоцитов в сторону Th1 ответа [359]. Активация Th1 клеток сопровождается экспрессией ключевого цитокина IFN-γ, созревание которого зависит от IL-12p70 и ядерного фактора транскрипции T-bet. [63; 90]. IFN-у является одним из сильнейших медиаторов *H. pylori*-ассоциированного воспаления, повышенная экспрессия которого приводит к атрофии слизистой оболочки желудка [338; 345; 359; 363]. Наряду с IFN-у важная роль при *H. pylori*-ассоциированных гастритах отводится интерлейкину 17A (IL-17A) – ключевому цитокину Th17-клеток. IL-17A, с одной стороны, участвует в защите организма от внеклеточных, бактериальных и грибковых инфекций, но в то же время излишняя его экспрессия ассоциирована с аутоиммунными заболеваниями [85; 111; 234; 274]. Дифференцировка СD4+лимфоцитов в популяцию Th17 зависит от IL-23, IL-1β, IL-6, которые секретируются в ответ на *H. pylori*-инфекцию. Из литературных сообщений известно, что в культурах лимфоцитов из собственной пластинки желудка лиц, инфицированных *Н. руюгі*, наблюдается повышенная экспрессия IL-17A [208]. В ответ на IL-17A желудочный эпителий и лимфоциты собственной пластинки желудка синтезируют IL-8 – важный медиатор при *H. pylori*-ассоциированном гастрите, поскольку этот цитокин активирует нейтрофилы и вызывает их хемотаксис в очаг воспаления [16; 200]. Было показано, что экспрессия IL-17A положительно коррелирует с уровнем IL-8 в биоптатах слизистой желудка H. pylori-инфицированных лиц. В то же время IL-17A стимулирует экспрессию IL-1β, IL-6 и TNF-α как иммунными, так и неиммунными клетками и индуцирует фибробласты к синтезу матриксной металлопротеиназы, последняя способна расщеплять различные компоненты экстрацеллюлярного матрикса, участвуя таким образом в повреждении слизистой [75; 356]. Нокаут гена IL-23 ведет к подавлению

продукции IL-17A в СОЖ инфицированных *Н. руlori* мышей и обильной колонизации патогена, но при этом к ослаблению воспаления [209]. Нокаут гена IL-17A и его рецептора ведет к ослаблению инфильтрации нейтрофилами слизистой оболочки желудка [207].

Th1 и Th17 способны вызывать воспаление слизистой оболочки желудка на разных стадиях. На ранней стадии инфекции индуцируется Th17 иммунный ответ, на более поздней – Th1 ответ. Поскольку популяция Th17 является гетерогенной, то при определенных условиях в ней могут встречаться Th17/Th1-клетки, которые продуцируют одновременно IL-17A и IFN-γ [44; 323]. По данным нескольких исследований было продемонстрировано, что Th17/Th1-клетки обнаруживаются в биоптатах больных с язвенной болезнью желудка, однако у лиц, не инфицированных *Н. руlori*, данные клетки отсутствуют [130].

Помимо провоспалительных Th1 и Th17 клеток H. pylori способен индуцировать Т-регуляторный ответ, который направлен на подавление чрезмерной активности со стороны Th1 и Th17 клеток [77; 161]. Для дифференцировки наивных CD4+-клеток в сторону Treg необходимы цитокины TGF-β (Transforming growth factor-β), IL-10 и IL-18, экспрессируемые DCs [100; 103]. Специфическим маркером Treg служит экспрессия гена Foxp3 (Forkhead-Box Protein 3), который отвечает за развитие Treg клеток и их супрессорную функцию. Белок Foxp3 является ключевым фактором транскрипции, который контролирует развитие и функцию Treg и экспрессируется главным образом в их ядре [111; 274]. Различают натуральные или естественные Treg (nTreg). Естественные Treg клетки подавляют активацию и экспансию аутореактивных Т-лимфоцитов, избежавших селекции в тимусе и вышедших на периферию, а также контролируют толерантность к собственным антигенам [121; 123; 266]. Содержание nTreg y человека составляет приблизительно 1–5 % от общего числа CD4 $^{\scriptscriptstyle +}$  Т-лимфоцитов периферической крови и повышается с возрастом без существенных изменений их функциональной активности [78; 339]. Повышенное содержание натуральных Трегуляторных клеток способствует развитию иммунодефицитных состояний, хронизации процессов, развитию воспалительных злокачественных

новообразований. В свою очередь, сниженная генерация nTreg-клеток может приводить к развитию патологий аутоиммунного характера [27].

Помимо nTreg, существует популяция индуцированных Т-регуляторных клеток (iTreg), возникших на периферии под влиянием антигенного стимула. Супрессорное действие iTreg опосредуется через вырабатываемые цитокины, которые способны ограничивать эффекторные функции Т-лимфоцитов и, таким образом, ослаблять воспаление в слизистой оболочке желудка [123; 251; 321]. Нарушение как количественного, так и функционального баланса Th17/Treg и смещение этого соотношения в сторону повышения Th17 или в сторону снижения Treg клеток, может свидетельствовать о развитии аутоиммунных реакций [247; 279].

Необходимо также отметить, что в последние годы несколько исследований выявили важную роль CD8+ Т-лимфоцитов в иммунном ответе на инфекцию *Н. руlori*. Значительная часть Т-клеток, которые инфильтрируют желудок мышей, инфицированных *Н. руlori*, являются CD8+ и экспрессируют высокие уровни IFN-ү [190; 231]. Косh и соавт. [73] продемонстрировали, что популяции CD8+ Т-клеток, обладающих фенотипом тканерезидентной памяти, проникают в слизистую оболочку желудка вскоре после заражения *Н. руlori* и способствуют борьбе с микробом на ранней стадии заражения, проявляя антигенспецифические эффекторные свойства. Однако по мере прогрессирования инфекции CD8+ Т-клетки памяти сменяются на CD4+ Т-лимфоциты, что указывает на изменение иммунного ответа во время фазы хронической инфекции.

# 1.3 – Helicobacter pylori и аутоиммунные заболевания

В настоящее время активно ведутся дискуссии о возможной связи между инфицированием организма агентами бактериальной и вирусной природы и развитием разнообразных аутоиммунных реакций [34; 264; 301]. В группу инфекционных агентов, которые могут служить потенциальными факторами развития аутоиммунных заболеваний, включен *Helicobacter pylori* [139; 184], который в то же время является основной причиной хронического гастрита и основным фактором риска рака желудка [96; 139]. Предположение о возможной

роли *H. pylori* в качестве триггера развития аутоиммунных заболеваний возникло в связи со способностью микроба оказывать постоянное и серьезное воздействие на иммунную систему человека [33; 140]. В литературе активно обсуждаются несколько механизмов патоген-индуцированного аутоиммунитета, большинство из них остаются гипотезами и требуют тщательного изучения [33; 137]. Одним из предполагаемых механизмов, с помощью которого *H. pylori* способен участвовать в развитии разнообразных аутоиммунных реакций, является феномен молекулярной мимикрии – способность бактерии «копировать» антигенную структуру какого-либо белка человека. Антитела, вырабатывающиеся против белков-антигенов микроорганизма, могут перекрестно реагировать с белками различных органов и тканей человека, приводя к их повреждению [271]. Так,  $\beta$ -субъединица уреазы у *H. pylori* в высокой степени имеет сходства с  $\beta$ субъединицей Н+/К+-АТФазы в париетальных клетках желудка, а плазминогенсвязывающий белок *H. pylori* (PBP-plasminogen-binding protein) имеет гомологию с компонентом фермента UBR2 (ubiquitin-protein ligase E3 component n-recognin 2) в ацинарных клетках поджелудочной железы, что в конечном итоге может приводить к аутоиммунной реакции и, как следствие, к развитию аутоиммунного гастрита и аутоиммунного панкреатита [56; 204; 256]. В то же время антитела могут вырабатываться в ответ на антигены Льюиса (Lex, Ley и Lex/y), которые обнаруживаются в структуре ЛПС многих штаммов *H. pylori*, а также экспрессируются на клетках человека [282; 353]. В свою очередь, антитела, вырабатывающиеся против белка теплового шока (Hsp B) *H. pylori*, могут вступать в перекрестную реакцию с человеческим Hsp60 [52; 86], а антитела, экспрессирующиеся против CagA микроба, могут перекрестно реагировать с GPI и GPII (Glycoprotein I и II) тромбоцитов [112; 257]. Кроме того, тромбоциты экспрессируют антигены Льюиса, которые также могут быть распознаны антителами против Le, выработка которых усиливается в ответ на H. pyloriинфекцию [316]. Спектр аутоиммунных заболеваний, в патогенезе которых определенная роль отводится *H. pylori*-инфекции, достаточно широк и пополняется данными как в плане патогенеза, так и клинических составляющих.

Далее мы рассмотрим отдельные аутоиммунные состояния, как органоспецифические, так и неорганоспецифические, которые имеют экспериментальную базу, как положительную, так и отрицательную, в отношении инфекции *H. pylori*.

# 1.3.1 – Helicobacter pylori и системная красная волчанка

Среди наиболее распространенных аутоиммунных заболеваний в группу лидеров входит системная красная волчанка (СКВ) – системное ревматическое аутоиммунное заболевание неизвестной этиологии, характеризующиеся аномальной продукцией аутоантител к различным компонентам клеточного ядраи развитием иммуновоспалительного повреждения внутренних органов [108; 239; 244]. Важное диагностическое и прогностическое значение при СКВ еще до появления клинических признаков обострения заболевания имеет определение антинуклеарных антител (AHA),аутоантител уровня a также против одноцепочечной и двуцепочечной дезоксирибонуклеиновой кислоты (ДНК), которые не только являются диагностическими маркерами заболевания, но и непосредственно вызывают повреждение органов и тканей [281]. В литературе встречаются неоднозначные и противоречивые данные, касающиеся способности H. pylori участвовать в инициации аутоиммунных реакций, ассоциированных с СКВ. В двух работах было продемонстрировано, что очищенная уреаза *H. pylori* стимулирует B1a-лимфоциты мышей к продукции аутоантител против ssДНК, которые потенциально могли бы быть вовлечены в развитие аутоиммунных реакций [211; 285]. М. Ram и соавт. [184] обнаружили у лиц с СКВ и *H. pylori*инфекцией достоверно значимое повышение аутоантител против ssДНК в сравнении с лицами с СКВ, у которых отсутствовала *H. pylori*-инфекция.

Эпидемиологические исследования распространенности *Н. руlori*-инфекции у лиц с СКВ, а также у населения в целом показали противоречивые результаты. Так, Y. Showji и соавт. [171] и L. Kalabay и соавт. [305] сообщили, что обнаружение антител против *Н. руlori* у лиц с СКВ аналогично таковому у здоровых людей. В то же время С. Меndoza-Pinto и соавт. [169] обнаружили, что частота инфицирования

H. pylori у лиц с СКВ достигает 39 % и представляется низкой в сравнении с распространенностью среди населения в целом в японском [165] и мексиканском исследованиях [29]. Связь между инфекцией *H. pylori* и аутоиммунными заболеваниями имеет множество аспектов и направлений [307]. Несмотря на имеющиеся в литературе данные, демонстрирующие потенциальную роль *H. pylori* выступать в качестве триггера в развитии аутоиммунных заболеваний, M. Versini и соавт. [354] выдвинули гигиеническую гипотезу, согласно которой *H. pylori* может также оказывать иммуномодулирующее действие на иммунную систему, что приводит к защитному эффекту от иммуноопосредованных состояний, таких как аллергия и аутоиммунные заболевания. А.Н. Sawalha и соавт. [53] провели масштабное исследование, в котором обнаружили, что частота инфицирования Н. pylori у афроамериканских женщин с СКВ была достоверно ниже (38,1 %), чем в контрольной группе условно здоровых лиц (60,2 %). Авторы пришли к выводу, что Н. оказывать инфицирование pylori может защитное воздействие на патологические процессы при СКВ.

опубликованной работе недавно при проведении масштабного популяционного когортного исследования на Тайване, M-C Wu. и соавт. [214] продемонстрировали существенную связь между *H. pylori*-инфекцией и СКВ, особенно среди пациенток в возрасте до 30 лет. Авторы обратили внимание на то, что *H. pylori*- инфекция увеличивала риск развития СКВ в 1,63 раз по сравнению с контрольной группой. В последующей своей работе исследователи сообщили, что эрадикация *H. pylori* в течение трех месяцев после постановки диагноза значительно снижала риск развития СКВ в течение трехлетнего периода наблюдения [110]. Противоположные данные были получены М. Youssefi и соавт. [166], которые обобщили существующие метаанализы и систематические обзоры и пришли к заключению, что не существует достоверно значимой связи между инфекцией *H. pylori* и восприимчивостью к СКВ. Таким образом, взаимосвязь между *H. pylori*-инфекцией и СКВ многогранна и разнонаправлена. В то же время убедительных доказательств И единого мнения, ΜΟΓΥΤ люди, инфицированные *H. pylori*, быть предрасположены к СКВ или защищены от нее.

# 1.3.2 – Helicobacter pylori и антифосфолипидный синдром

Антифосфолипидный синдром (АФС) – приобретенная аутоиммунная тромбофилия, которая характеризуется развитием рецидивирующих тромбозов сосудов любого калибра и локализации или акушерской патологией и обязательным наличием стойкой позитивности по антифосфолипидным антителам (АФА) [20]. В настоящее время для диагностики АФС ориентируются как на лабораторные клинические признаки, так И на показатели. лабораторными показателями при постановке АФС является определение антител к кардиолипину, бета-2-гликопротеину І и волчаночному антикоагулянту [228]. Также стоит отметить, что АФА определяются у 50 % пациентов с СКВ и в 5-20 % при других заболеваниях соединительной ткани [48; 50; 288; 328]. Возможным этиологическим фактором в развитии клинических проявлений АФС восприимчивых лиц может выступать как генетическая предрасположенность, так и инфекция [304]. V. Сіссопі и соавт. [106] опубликовали случай женщины с диагнозом AФC, у которой после эрадикации H. pylori клинические и лабораторные показатели нормализовались. Авторы предположили, что развитие АФС может быть ассоциировано с *H. pylori*-инфекцией. По их мнению, микроб может специфического выступать качестве индуктора образовании антифосфолипидных антител посредством хронической активации провоспалительных клеток и высвобождаемых ими цитокинов. Основой для аутоиммунной реакции, индуцированной *H. pylori*, может быть образование перекрестно реагирующих антител между структурными компонентами *H. pylori* и некоторыми фосфолипидами клеточных мембран. Было высказано предположение, что некоторые инфекционные агенты способны индуцировать выработку аутоантител против β-2-гликопротеина I, тем самым способствуя развитию AΦC. Как оказалось, некоторые бактерии содержат белки, структурно гомологичные β-2-гликопротеину I. Молекулярная мимикрия между β-2-гликопротеином I и микробными продуктами является одним из аспектов возможной инфекционной этиологии антифосфолипидного синдрома [62; 219]. По данным, полученным M.Ram и соавт. [184], распространенность антител IgG к H. pylori у европейцев с

первичным АФС достоверно значимо выше (56 %) в сравнении с контрольной группой здоровых лиц (39 %). Авторы также обнаружили, что среди европейского и латиноамериканского населения с подтвержденным АФС и *Н. руlori*-инфекцией уровень аутоантител к β-2-гликопротеину I класса IgG был достоверно ниже в сравнении с лицами, у которых *Н. руlori*-инфекция отсутствовала. В то же время уровень аутоантител к β-2-гликопротеину I класса IgM среди инфицированных и не инфицированных *Н. руlori* больных с АФС не различался, однако наблюдалась тенденция к повышению данных антител среди лиц, у которых отсутствовала *Н. руlori*-инфекция.

# 1.3.3 – Helicobacter pylori и ревматоидный артрит

Среди аутоиммунных заболеваний одним из наиболее распространенных является ревматоидный артрит (РА), который характеризуется хроническим воспалением синовиальной оболочки, повреждением суставного хряща и околосуставной кости [41]. Одним из обязательных критериев для диагностики РА является определение ревматоидного фактора (РФ) [295]. РФ – это аутоантитела, направленные против Fc-части IgG. В клинической практике чаще всего определяются РФ класса IgM. Данные антитела обнаруживаются как среди пациентов с РА (до 80 %), так и при других ревматологических состояниях (СКВ, синдром Шегрена), а также при инфекционных заболеваниях (вирус Эпштейна-Барр, вирус гепатита С) и злокачественных новообразованиях [222]. В то же время аутоантитела РФ класса IgM также можно обнаружить и у 4-5 % здоровых людей [360]. Причины и условия возникновения ревматоидного артрита до сих пор остаются не известными, а связь инфекции H. pylori с патогенезом PA является дискуссионной и спорной. Способность *H. pylori* индуцировать гуморальный иммунный ответ и развитие аутоиммунных заболеваний, в частности РА, была продемонстрирована S. Yamanishi и соавт. [211], которые обнаружили, что очищенная уреаза H. pylori стимулирует B1-лимфоциты in vitro, последние продуцируют аутоантитела в виде РФ класса IgM, и, как следствие, могут участвовать в запуске аутоиммунных реакций, ассоциированных с РА. Близкие

данные были получены F. Kobayashi и соавт. [285], которые описали механизм активации клеточного иммунного ответа под влиянием фиксированной на поверхности *H. pylori* уреазы. Выделенные из селезенки мышей CD5-позитивные B<sub>1</sub>a 2 клетки совместно культивировали фиксированными % параформальдегиде H. pylori (для сохранения поверхностной уреазы) in vitro. В супернатантах клеточных культур с помощью иммуноферментного анализа определяли продукцию аутоантител, в частности против РФ. Было показано, что бактериальная уреаза взаимодействовала с TLR2 на CD5-позитивных B-1a клетках, в результате происходила активация синтеза провоспалительных цитокинов и дальнейшая стимуляция В-лимфоцитов, последние вырабатывали аутоантитела против РФ, которые потенциально могли участвовать в запуске аутоиммунных реакций. Одним из цитокинов, участвующих в патогенезе РА, по-видимому, является IL-32. К. Sakitani и соавт. [298] на фоне *H. pylori*-ассоциированного гастрита выявили существенное повышение этого цитокина, что может быть одной из потенциальных причин развития РА. Согласно приведенным выше данным, Н. pylori теоретически может влиять на развитие PA, тем не менее, не все клинические исследования подтверждают этот факт. Так, израильские ученые М.К. Meron и соавт. [218] показали, что в плазме крови больных PA уровень антител к H. pylori был аналогичным уровню, наблюдаемому у здоровых людей. В свою очередь, когортное исследование, проведенное E. Tanaka [284],соавт. продемонстрировало, что у японских пациентов с РА уровень серопозитивности к H. pylori составил 49,3 %, что ниже по сравнению со здоровыми лицами. Датские ученые L.B. Graff и соавт. [141] оценили распространенность *H. pylori*-инфекции у лиц с РА, а также сравнили ряд лабораторных показателей. Было показано, что среди 59 пациентов с ревматоидным артритом у 18 (31 %) лиц в сыворотке крови были выявлены антитела IgG к *H. pylori*, у остальных пациентов (n=41) данные антитела отсутствовали. Что касается лабораторных показателей, то существенных различий в СОЭ (скорость оседания эритроцитов), СРБ (С реактивный белок) и РФ у лиц с РА как с инфекцией, так и без инфекции *H. pylori* выявлено не было, за исключением достоверно более высокого уровня утренней скованности у

инфицированных пациентов. В другом исследовании S. Saad и соавт. [300] продемонстрировали, что среди 100 пациентов с ревматоидным артритом у 48 % обнаруживалась *H. pylori*-инфекция, однако существенных различий лабораторных показателях между пациентами, положительными ИЛИ отрицательными по *H. pylori*, не наблюдалось. Похожие результаты были продемонстрированы Z. Shariaty и соавт. [308], которые показали, что у больных с ревматоидным артритом и подтвержденной *H. pylori*-инфекцией, лабораторные показатели (СОЭ, СРБ, РФ и антитела к циклическому цитруллинированному пептиду) достоверно не отличались от лабораторных показателей больных ревматоидным артритом, у которых отсутствовала *H. pylori*-инфекция. В то же время Н. Nakamura и соавт. [131] обнаружили у пациентов с РА и *H. pylori*инфекцией более низкие уровни РФ в сравнении с H. pylori-отрицательными пациентами с РА. Два недавних исследования также не обнаружили достоверно значимой связи между *H. pylori*-инфекцией и PA и пришли к выводу, что инфекция *H. pylori* не влияет на патогенез РА [166; 176].

Иные данные получили китайские ученые Н. Wen и соавт. [173], согласно которым инфекция *Н. руlогі* выявлялась у 88 % лиц с РА, то есть достоверно чаще в сравнении с лицами без ревматических заболеваний. Некоторые исследователи предположили, что взаимосвязь между инфекционным агентом и аутоиммунным ответом может различаться в зависимости от вирулентности инфицирующего штамма *Н. руlогі*. А. Еbrahimi и соавт. [291] также подтвердили, что среди 100 пациентов с РА у большинства (57,9 %) наблюдалась *Н. руlогі*-инфекция. В то же время у пациентов, инфицированных CagA+ *Н. руlогі*, сывороточные уровни РФ, СОЭ, СРБ и anti-MCV (Modified Citrullinated Vimentin Antibody) были достоверно выше в сравнении с лицами, у которых диагностировался РА, но отсутствовала *Н. руlогі*-инфекция. А.В. Александров и соавт. [18] среди пациентов с РА у 68,5 % обнаружили антитела к *Н. руlогі* класса ІgG. Причем 40% пациентов данной группы являлись носителями CagA+ штамма *Н. руlогі*.

По данным недавнего общенационального ретроспективного когортного исследования Т-Н. Lee и соавт. [220], частота заболеваемости РА была достоверно

выше в группе инфицированных *H. pylori* лиц в сравнении с неинфицированными пациентами в течение периода наблюдения (от первого года до пяти лет). Интересно, что частота заболеваемости РА значительно возрастала у пациентов с инфекцией *H. pylori* в возрасте до 30 лет как у мужчин, так и у женщин. Таким образом, на сегодняшний день это первая и крупнейшая когорта национального продольного популяционного набора данных, которая выявила болеевысокий риск развития РА среди пациентов, инфицированных *H. pylori*.

Необходимо также отметить, что особый интерес для понимания роли H. pylori при РА представляют работы, демонстрирующие влияние эрадикации микроба на активность заболевания. Так, Р. Zentilin и соавт. [113] оценили эффект эрадикации H. pylori у больных PA. В исследовании принимали участие 58 взрослых пациентов с РА. В основную группу вошли 28 лиц с РА и *H. pylori*инфекцией, а в группу сравнения вошли 30 лиц с РА, у которых отсутствовала инфекция *H. pylori*. В дальнейшем в течение 2 лет в обеих группах определяли показатели активности РА. Согласно полученным данным, в группе пациентов после эрадикации *H. pylori* отмечалось значительное улучшение клинических показателей РА, а также снижение СОЭ, уровня фибриногена, α-2-глобулина, антинуклеарных антител в сравнении с лицами, исходно не инфицированными H. pylori. Авторы пришли к выводу, что эрадикация H. pylori может привести к значительному улучшению активности заболевания. А. El-Hewala и соавт. [320], также оценили влияние эрадикации *H. pylori* на активность заболевания у пациентов с РА и продемонстрировали похожие результаты, описанные в предыдущей работе. В исследовании принимали участие 17 пациентов с РА и с инфекцией *H. pylori* и 23 пациента с PA, без *H. pylori*-инфекции. Через 2 месяца после успешной эрадикации микроба у лиц с РА отмечалось достоверно значимое снижение показателей воспаленных и болезненных суставов, а также наблюдалось снижение СРБ и РФ в сравнении с группой лиц, у которых был диагностирован РА, но изначально отсутствовала *H. pylori*-инфекция. Немного иные данные представлены в работе Z. Shariaty и соавт. [308], которые оценили влияние эрадикации *H. pylori* на показатели активности PA. В основную группу вошли лица (n=20) с РА и подтвержденной *Н. руlori*-инфекцией, которым была проведена стандартная схема эрадикации микроба. Контрольная группа состояла из 20 лиц с РА, исходно не инфицированных *Н. руlori*. Через год после эрадикации число болезненных и воспаленных суставов снизилось в обеих группах, однако в группе лиц с РА, исходно инфицированных *Н. руlori*, эти показатели оставались достоверно повышенными. Хотя инфицирование *Н. руlori* у пациентов с РА сопровождалось увеличением числа воспаленных и болезненных суставов, эрадикация *Н. руlori* не улучшала клинические симптомы и лабораторные показатели пациентов. Таким образом, имеются как экспериментальные, так и клинические доказательства влияния *Н. руlori* на развитие и прогрессирование РА, однако уровень доказательств относительно невысок, а связь инфекции *Н. руlori* с патогенезом РА до сих пор вызывает дискуссии среди исследователей.

# 1.3.4 – Helicobacter pylori и тиреоидные аутоиммунные заболевания

Среди патологических состояний, которые могут формироваться с участием *H. pylori*, рассматриваются аутоиммунные заболевания щитовидной железы [55; 139; 175]. К классическим органоспецифическим аутоиммунным заболеваниям щитовидной железы относятся диффузный токсический зоб (болезнь Грейвса) и (болезнь Хашимото) аутоиммунный тиреоидит [105]. Болезнь Грейвса представляет собой системное аутоиммунное заболевание, которое развивается в результате продукции аутоантител к рецептору тиреотропного гормона (рТТГ) и проявляется поражением щитовидной железы (ЩЖ), что приводит к развитию синдрома тиреотоксикоза в сочетании с экстратиреоидной патологией [317]. В свою очередь, в основе патогенеза тиреоидита Хашимото лежит выработка иммунной системой аутоантител против тиреоглобулина и тиреопероксидазы, которые направлены против клеток паренхимы ЩЖ. Воздействуя на тиреоциты, данные аутоантитела вызывают их деструктивную трансформацию и снижение выработки тиреоидных гормонов, что приводит к повышению образования тиреотропного гормона (ТТГ) и развитию гипотиреоза [47; 55].

заболеваний Этиологические причины развития ЭТИХ являются По многофакторными. мнению большинства авторов, генетическая предрасположенность играет главную роль в развитии аутоиммунных процессов, однако немаловажная роль отводится *H. pylori*-инфекции как одного из триггеров развитии реакций, предрасполагающих В аутоиммунных ассоциированных с щитовидной железой [97; 259].

Существует достаточно сложная и неоднозначная картина относительно возможной связи между инфекцией *H. pylori* и тиреоидными аутоиммунными заболеваниями. В нескольких исследованиях сообщалось о повышенной распространенности *H. pylori*-инфекции у людей с аутоиммунными заболеваниями щитовидной железы, а также о связи между инфекцией H. pylori и наличием высоких титров аутоантител против тиреоглобулина и тиреопероксидазы, направленных против щитовидной железы [54; 167; 168; 175; 290]. Напротив, другие исследования не выявили различий в сывороточных уровнях тиреоидных гормонов или аутоантител к щитовидной железе у пациентов, инфицированных и не инфицированных *Н. pylori* [172; 230]. Несмотря на имеющиеся разногласия, большинство перекрестных исследований подтверждают связь между инфекцией H. pylori и повышенным риском развития тиреоидных аутоиммунных заболеваний в западной [167; 168; 314; 364], ближневосточной [329] и азиатской популяциях [54]. V. Bassi и соавт. [60] обследовали пациентов с впервые выявленными аутоиммунными заболеваниями щитовидной железы и обнаружили выраженную корреляцию между наличием *H. pylori* и болезнью Грейвса, однако эта корреляция не была подтверждена у лиц с тиреоидитом Хашимото. Аналогичным образом в метанализе W.J. Shi и соавт. [58] с использованием данных семи исследований было продемонстрировано, что инфекция H. pylori была достоверно связана с болезнью Грейвса, но не с тиреоидитом Хашимото. В пяти из семи исследований сообщалось, что инфицирование CagA-позитивными штаммами H. pylori значительно увеличивало риск развития аутоиммунных заболеваний щитовидной железы в 2,24 раза. D. Larizza и соавт. [167] предположили, что *H. pylori*-инфекция может вызывать или усугублять болезнь Грейвса у пациентов с носительством

HLA-DRB10301, и в дальнейшем предлагают ликвидировать ее в определенных группах риска. Напротив, в недавнем исследовании M.P. Dore и соавт. [57], а также в метаанализе Ү. Нои и соавт. [254] с использованием данных пятнадцати исследований сообщалось, что ассоциация инфекции H. pylori была достоверной как для болезни Грейвса, так и для тиреоидита Хашимото. По мнению некоторых авторов,  $CagA^+$  штаммы H. pylori способны выступать в качестве индуктора при тиреоидных аутоиммунных заболеваниях [249], поскольку сообщалось о сходстве аминокислотных последовательностей между CagA H. pylori и тиреоидной пероксидазой [258; 330]. Кроме того, было продемонстрировано, что искоренение H. pylori-инфекции помогает снизить уровень аутоантител против щитовидной железы [101; 254]. А.Р. Delitala и соавт. [148] сообщили, что у лиц, инфицированных CagA+ H. pylori, наблюдалось повышение уровня аутоантител против ТПО, связанных с аутоиммунитетом щитовидной железы и ее дисфункцией. N. Figura и соавт. [168] продемонстрировали, что средние значения аутоантител против тиреоглобулина у лиц с аутоиммунными заболеваниями щитовидной железы и с CagA+H. pylori-инфекцией были значительно выше в сравнении с CagAнегативными по *H. pylori* пациентами, а также с контрольной группой добровольцев (без аутоиммунных заболеваний, но с подтвержденной CagA+ H. pylori-инфекцией). Похожие данные были продемонстрированы и другими исследователями, которые сообщили, что CagA-позитивные штаммы H. pylori повышают риск развития аутоиммунных заболеваний щитовидной железы и вовлечены в патогенез тиреоидита Хашимото [148; 240]. Напротив, M.S. Arslan и соавт. [340] отметили, что положительная связь между *H. pylori* и тиреоидными аутоиммунными заболеваниями присутствует, однако данная ассоциация строго не зависит от присутствия CagA+ штаммов H. pylori. Таким образом, большинство имеющихся данных указывает на вероятную связь между H. pylori-инфекцией и аутоиммунными заболеваниями щитовидной железы.

#### ГЛАВА 2 – МАТЕРИАЛЫ И МЕТОДЫ ИССЛЕДОВАНИЯ

#### 2.1 – Общая схема исследования

На начальном этапе работы оценивали реакцию Т-лимфоцитов человека на совместное культивирование с H. pylori в модели in vitro при отсутствии в культурах профессиональных антигенпрезентирующих клеток. От больного хроническим гастритом и положительным уреазным тестом во время проведения эзофагогастродуоденоскопии (ЭГДС) было получено 4 образца тканей желудка (два из антрального отдела и два из тела желудка). Один из биоптатов использовался для проведения быстрого уреазного теста (тест-система Хелпил<sup>R</sup>, Россия), а остальные помещались в пробирки типа «эппендорф» (Медполимер, Россия) и использовались для получения гомогенизата, необходимого для первичного посева на питательную среду, с целью выделения чистой культуры H. pylori. На 7-е сутки на чашках Петри наблюдался рост мелких, круглых, гладких, прозрачных, влажных колоний диаметром около 1 мм, по морфологии сходных с H. pylori. Для предварительной идентификации выделенной использовалась окраска по Граму с последующим микроскопическим анализом. Видовую идентификацию полученной культуры осуществляли с помощью массспектрометрического анализа с использованием MALDI-TOF-MS (Matrix-assisted laser desorption/ionization - Time of Flight) серии Autoflex Speed LRF (Bruker Daltonics, Германия). Достоверность идентификации оценивали по полученным значениям Score (коэффициент достоверности), сравнивая с данными спектров рефересной библиотеки ВіоТурег 3,0. Результат анализа показал, что значение Score для анализируемых образцов составил от 2,300 и более (идентификация до вида). Таким образом, была получена чистая культура *H. pylori*, которую использовали для сокультивирования с CD4+-лимфоцитами взрослых условно здоровых доноров in vitro. Через 18-24 часа культивирования при помощи проточной лазерной цитофлуориметрии оценивалась возможность бактерии

индуцировать лимфоциты дифференцироваться в направлении Th17 и Treg. Параллельно в супернатантах клеточных культур с использованием иммуноферментного анализа (ИФА) оценивалась концентрация IFN-у и IL-10.

На последующих этапах работы в исследование было включено 350 пациентов с впервые выявленным хроническим гастритом (186 женщин и 164 мужчины, средний возраст 47,22±12,43). Диагноз хронический гастрит устанавливался врачами-гастроэнтерологами при поступлении пациентов в стационар клиники инфекционных болезней ФБУН ННИИЭМ им. академика И.Н. Блохиной Роспотребнадзора. Пациенты с подозрением на аутоиммунный гастрит исключались из исследования.

Во время проведения ЭГДС у всех больных забирался желудочный сок, который использовался для выделения ДНК Helicobacter pylori с последующей полимеразной цепной реакцией (ПЦР) с гибридизационно-флуоресцентной детекцией продуктов ПЦР в режиме реального времени. В зависимости от результата анализа ПЦР (положительный или отрицательный), больные с хроническим гастритом были разделены на две группы (основную и группу сравнения). В основную группу вошли лица с *H. pylori*-ассоциированным хроническим гастритом (n=179), а в группу сравнения – лица с *H. pylori*неассоциированным хроническим гастритом (n=171). С целью оценки влияния H. pylori на возможность развития аутоиммунных реакций в крови больных хроническим гастритом с помощью проточной лазерной цитофлуориметрии, полимеразной цепной реакции с обратной транскрипцией в реальном времени (ОТ-ПЦР РВ) и ИФА определялось относительное количество клеток фенотипа CD4+CD161+ (Th17) и CD4+FoxP3+ (Treg), относительный уровень мРНК IL-17A, мРНК FoxP3, мРНК TNF-α, содержание IL-2, IL-23, TNF-α, уровень аутоантител против односпиральной и двухспиральной ДНК, β-2-гликопротеина I класса IgMи IgG, ревматоидного фактора, тиреоглобулина и тиреопероксидазы.

Весь биологический материал был предоставлен клиникой инфекционных болезней ФБУН ННИИЭМ им. академика И.Н. Блохиной Роспотребнадзора. Исследования проводились согласно биоэтическим и этическим принципам,

установленным Хельсинкской декларацией Всемирной медицинской ассоциации «Этические принципы проведения научных медицинских исследований с участием человека в качестве испытуемого». Все обследованные подписали информированное согласие на использование их биологического материала в научном исследовании. Проведение данного исследования было одобрено локальным этическим комитетом ФБУН ННИИЭМ им. академика И.Н. Блохиной Роспотребнадзора (протокол № 6 от 25.11.2021).

#### 2.2 – Взятие венозной крови от условно здоровых доноров и больных хроническим гастритом

Венозная кровь из локтевой вены от условно здоровых лиц (n=9) и больных хроническим гастритом (n=350) забиралась в утренние часы (натощак) младшим медицинским персоналом клиники инфекционных болезней ФБУН ННИИЭМ им. академика И.Н. Блохиной Роспотребнадзора. Взятие венозной крови от взрослых условно здоровых доноров осуществлялось однократно, в вакуумные пробирки Vacuette с гепарином натрия (Greiner Bio-One, Австрия) в объеме 18 мл. Получение венозной крови от больных хроническим гастритом осуществлялось пробирки Vacuette однократно, вакуумные калиевой этилендиаминтетраацетата (K<sub>3</sub>ЭДТА) (Greiner Bio-One, Австрия) в объеме 9 мл до начала лечения антибиотиками и антисекреторными препаратами. Пробирки с образцами венозной крови доставлялись в лабораторию иммунохимии, где хранились при +4 °C не более 2 часов, а затем использовались в работе.

#### 2.3 – Получение плазмы крови от условно здоровых доноров и больных хроническим гастритом методом центрифугирования

Образцы периферической крови с гепарином натрия от взрослых условно здоровых доноров (n=9) и образцы венозной крови с K<sub>3</sub>ЭДТА, полученные от больных хроническим гастритом (n=350), центрифугировали при комнатной температуре (18–22 °C) в течение 10 минут при 1500 g для разделения плазмы и эритроцитов. Плазму крови отбирали и аликвотировали в заранее

промаркированные пробирки типа «эппендорф» (Медполимер, Россия), а затем помещали на хранение при -80 °C (Sanyo, Япония) до выполнения исследования.

#### 2.4 — Определение суммарных антител (IgM, IgA, IgG) к CagA Helicobacter pylori в плазме крови условно здоровых доноров методом иммуноферментного анализа

Донорами венозной крови были девять добровольцев (5 женщин и 4 мужчины), у которых, по данным анамнеза, отсутствовала симптоматика, связанная с заболеваниями желудочно-кишечного тракта, сердечно-сосудистой системы, аллергические реакции, персистирующие вирусные инфекции, аутоиммунные и онкологические заболевания. В плазме крови добровольцев определяли суммарные антитела классов IgM, IgA, IgG к CagA H. pylori pylori-CagA-антитела-ИФА-БЕСТ, Россия) (Helicobacter помощью иммуноферментного анализа (ИФА), согласно протоколу производителя. Принцип выявления антител основан на твердофазном иммуноферментном анализе, в ходе которого при взаимодействии исследуемых образцов плазмы иммобилизованным рекомбинантным антигеном CagA H. pylori, происходит связывание специфических антител с образованием комплекса антиген-антитело, который выявляется с помощью иммуноферментного конъюгата. Во время инкубации с 3,3',5,5'-тетраметилбензидином (ТМБ) раствор в лунках, содержащих комплексы антиген-антитело, окрашивается в синий цвет. Реакцию останавливали внесением стоп-реагента. Оптическую плотность образцов измеряли при длине волны (450/620 нм) на микропланшетном ридере Infinite M200 Pro (TECAN, Austria). Количественную оценку концентрации суммарных антител классов IgM, IgA, IgG к CagA H. pylori в образцах определяли с помощью программного обеспечения Magellan 7.2 (TECAN, Austria). У всех добровольцев, принимавших участие в исследовании, концентрация суммарных антител не превышала верхнюю границу нормы и составила менее 0,9 Ед/мл (отрицательный анализ на суммарные антитела IgM, IgA, IgG к CagA H. pylori).

#### 2.5 — Получение фракции мононуклеарных клеток из периферической крови условно здоровых доноров, их подсчет и определение жизнеспособности

Работу с клетками крови осуществляли в стерильных условиях с использованием бокса абактериальной воздушной среды биологической безопасности II класса (Lamsystems, Россия). Для выделения мононуклеарных клеток (МНК) использовали девять образцов (по 18 мл) стабилизированной гепарином (25 Ед/мл) периферической крови взрослых условно здоровых доноров. Цельную кровь от каждого донора разбавляли RPMI-1640 (ПанЭко, Россия) в соотношении 1:1 и тщательно перемешивали. Разбавленную кровь наслаивали на градиент фиколла с удельной плотностью 1077 г/см<sup>3</sup> (ДиаЭм, Россия) в соотношении 1:3. В пробирку (V=50 мл) вносили 1 часть (12 мл) фиколла и 3 части (36 мл) разбавленной крови, затем центрифугировали (45 минут, 450g). После центрифугирования отбирали слой (интерфазное кольцо), содержащий мононуклеарные клетки, и переносили в центрифужную пробирку (V=15 мл). Суспензию с мононуклеарами трижды отмывали средой RPMI-1640 путем центрифунирования (15 минут, 450g). После третьей отмывки супернатант удаляли, а осадок с клетками ресуспендировали в 1 мл среды RPMI-1640. Далее проводили подсчет количества выделенных клеток в камере Горяева (Линза, Россия) по общепринятой методике, а также определяли их жизнеспособность с использованием 0,4 %-го раствора трипанового синего (ПанЭко, Россия). Для этого отбирали аликвоту (100 мкл) клеточной суспензии в заранее подготовленную пробирку «эппендорф» (Медполимер, Россия) и добавляли 10 мкл 0,4 %-го раствора трипанового синего, тщательно перемешивали и инкубировали в течение 3-4 минут. По окончании инкубации, отбирали 10 мкл клеточной суспензии и вносили ее под покровное стекло камеры Горяева. Жизнеспособность (V, %)выделенных мононуклеарных клеток рассчитывали по формуле:

$$V = \frac{a}{A} \cdot 100 \,, \tag{1}$$

где V – жизнеспособность клеток;

а – количество неокрашенных (жизнеспособных) клеток;

A — общее количество (окрашенных и неокрашенных) клеток.

Жизнеспособность клеток после выделения составляла более 95 %. Далее суспензию с мононуклеарами от каждого донора центрифугировали (15 минут, 450g), супернатант удаляли, а осадок с клетками ресуспендировали и разводили в 10 мл полной питательной среды (RPMI-1640 (ПанЭко, Россия) с добавлением 10 % инактивированной FCS (Fetal calf serum, Biochrome, Германия) и 300 мг/л L-глутамина (ПанЭко, Россия) до рабочей концентрации 5×106 кл/мл.

## 2.6 — Получение неадгезивной фракции лимфоцитов из мононуклеарных клеток условно здоровых доноров

Полученные мононуклеарные клетки методом адгезии на пластике разделяли на адгезивную (моноцитарную) и неадгезивную (лимфоцитарную) фракции. Для получения лимфоцитарной фракции в лунки 24-луночного культурального планшета (Costar, USA) вносили 10 аликвот от каждого донора (по 1 мл на лунку мононуклеарных клеток с концентрацией 5×10<sup>6</sup> кл/мл) и инкубировали (2 часа, 37 °C, 5 % °C, в увлажненной атмосфере). После окончания инкубации из каждой лунки планшета отбирали по 0,9 мл лимфоцитарной фракции клеток и переносили их в центрифужную пробирку. Суспензию с клетками центрифугировали (450g, 15 минут), затем супернатант удаляли, а образовавшийся осадок с клетками ресуспендировали и разводили в 1 мл полной питательной среды (ППС). Далее подсчитывали количество выделенных клеток в камере Горяева (Линза, Россия) по общепринятой жизнеспособность методике, оценивали ИХ также использованием 0,4 %-го раствора трипанового синего (ПанЭко, Россия). Жизнеспособность клеток после выделения составила 95 %. Таким образом, в дальнейшей работе использовали только неадгезивную (лимфоцитарную) фракцию мононуклеарных клеток.

#### 2.7 – Получение CD4<sup>+</sup>-клеток методом иммуномагнитной сепарации из неадгезивной фракции лимфоцитов условно здоровых доноров

Для выделения популяции CD4+-клеток использовали неприлипающую к пластику (лимфоцитарную) фракцию мононуклеарных клеток, полученную из

периферической крови взрослых условно здоровых доноров. Выделение СD4+лимфоцитов осуществляли методом иммуномагнитной сепарации (негативная селекция) с использованием коммерческого набора EasySep<sup>TM</sup> Human CD4+ T Cell Enrichment Kit (Stemcell technologies, USA), в соответствии с инструкцией производителя. Пробирки с фракцией мононуклеарных клеток от каждого донора помещали в центрифугу (450g, 15 минут), супернатант удаляли, а осадок с клетками ресуспендировали и разводили средой для сепарации (состав: Dulbecco's Phosphate Buffered Saline (HiMedia, Индия) + 2 % Fetal calf serum Германия) + 1Mm этилендиаминтетрауксусная кислота (ЭДТА) «Invitrogen», США) до концентрации 5х107 кл/мл. Клетки переносили в 5 мл полистироловые пробирки для цитометрии (Falcon<sup>TM</sup> 5 mL Polystyrene Round-Bottom Tubes BD Biosciences), к которым добавляли коктейль антител (EasySep<sup>TM</sup> Human CD4+ T Cell Enrichment Cocktail, Stemcell technologies, USA) против поверхностных антигенов (CD8, CD14, CD16, CD19, CD20, CD36, CD56, CD66b, CD123, TCR  $\gamma/\delta$ , glycophorin A) из расчета 50 мкл/мл клеточной суспензии. Суспензию с клетками и антителами перемешивали и инкубировали 10 минут при комнатной температуре (18–22 °C). После инкубации вносили магнитные частицы, покрытые декстраном (EasySep<sup>TM</sup> D Magnetic Particles, Stemcell technologies, USA) из расчета 100 мкл/мл клеточной суспензии, тщательно перемешивали и инкубировали 5 минут при комнатной температуре (18–22 °C). После инкубации объем содержимого в пробирке доводили до 2,5 мл средой для сепарации и аккуратно перемешивали. Далее пробирку с суспензией клеток помещали в магнит (Purple EasySep<sup>TM</sup> Magnet, Stemcell technologies, USA) и инкубировали 5 минут при комнатной температуре (18-22 °C). После инкубации жидкую фракцию с несвязавшимися СD4+-клетками переносили в новую 5 мл полистироловую пробирку для цитометрии и повторяли процедуру еще раз. После инкубации фракцию с CD4+-клетками переносили в чистую пробирку и проводили подсчет количества клеток в камере Горяева (Линза, Россия) по общепринятой методике и определяли их жизнеспособность с использованием 0,4 %-го растворатрипанового синего. Жизнеспособность выделенных клеток составила не менее 95 %. После подсчета пробирки с клетками помещали в центрифугу (15 минут, 450g), супернатант удаляли, а осадок с клетками ресуспендировали и разводили в полной питательной среде до рабочей концентрации 5×10<sup>5</sup> кл/мл. Чистоту полученных клеток контролировали с помощью проточной лазерной цитофлуориметрии с использованием Anti-Human CD4 Antibody, Clone OKT4, FITC (Stemcell technologies, USA). В работе использовали популяции лимфоцитов с чистотой 96%. Полученные CD4+-лимфоциты использовали для сокультивирования с *H. pylori in vitro*.

#### 2.8 — Взятие образцов ткани желудка от больного хроническим гастритом для бактериологического исследования

Биопсийный материал для выделения *H. pylori* был получен от больного хроническим гастритом до начала терапии антибиотиками и антисекреторными препаратами. Bo время проведения ЭГДС врач-эндоскопист Клиники инфекционных болезней ФБУН ННИИЭМ им. академика И.Н. Блохиной Роспотребнадзора осуществлял взятие двух биоптатов из антрального отдела и двух из тела желудка (объемом 5 мм<sup>3</sup> каждый). Один из биоптатов использовался для проведения быстрого уреазного теста, а остальные помещались в пробирки типа «эппендорф», содержащие по 1 мл стерильного физиологического раствора (Медполимер, Россия) и доставлялись в лабораторию иммунохимии, где хранились при +4 °C не более 30 минут, а затем использовались в работе.

## 2.9 – Проведение быстрого уреазного теста в образце ткани желудка, полученного от больного хроническим гастритом

Метод быстрого уреазного теста основан на способности *Н. руlori* продуцировать фермент уреазу, которая разлагает мочевину до аммиака и углекислоты. Во время проведения ЭГДС врач-эндоскопист один образец ткани желудка от больного хроническим гастритом помещал на поверхность индикаторного диска (тест-система Хелпил<sup>R</sup>, Россия), пропитанного мочевиной и кислотным индикатором, а затем инкубировал в течение 3-х минут при комнатной температуре (18–22 °C). По истечении времени инкубации индикаторный диск

окрашивался в синий цвет, что свидетельствовало о присутствии в биоптате бактерий *H. pylori*.

## 2.10 – Первичный посев биопсийного материала желудка, полученного от больного хроническим гастритом с целью выделения *H. pylori*

Основой для питательной среды был колумбийский агар (НИЦФ, Санкт-Петербург), который варили на водяной бане в течение 20–30 минут. Далее питательную основу смешивали с 10 % дефибринированной донорской кровью (не содержала антител IgA, IgM, IgG к CagA *H. pylori*) и антибиотиками (10 мкг/л ванкомицина, 5 мг/л триметоприма, 2 мг/л нистатина, Теva, Израиль) для ингибирования роста сопутствующей микрофлоры. Питательную среду разливали по чашкам Петри (Greiner Bio-One, Австрия) и использовали для первичного посева биопсийного материала желудка с целью выделения *Н. pylori*.

Образцы ткани желудка, полученные в ходе ЭГДС от больного хроническим гастритом и положительным уреазным тестом, перед посевом на питательные среды механически измельчали для получения гомогенизированного раствора. Для этого в ступку вносили 1 мл стерильного физиологического раствора, а затем при помощи микробиологической петли (из пробирок с транспортной средой) переносили образцы ткани желудка, которые тщательно растирали с помощью пестика в течение 1 минуты. Используя автоматический дозатор со стерильным наконечником из ступки отбирали 200 мкл гомогенизированного раствора, который переносили на поверхность чашек с питательной средой, а затем втирали сплошным газоном при помощи шпателя Дригальского (LAB-Medica, Китай). Чашки с посевами помещали в герметичные пакеты для инкубации, где с помощью газогенерирующих пакетов (Campy Pak, Becton Dickinson, США) создавали микроаэрофильные условия ( $O_2$  – 5 %,  $CO_2$  – 10 %,  $N_2$  – 80 %). Посевы инкубировали в термостате при температуре +37 °C и влажности 95 %. На 7-е сутки на чашках Петри наблюдали обильный рост мелких, круглых, гладких, прозрачных, влажных колоний диаметром около 1 мм, похожих на *H. pylori*.

#### 2.11 – Идентификация Helicobacter pylori методом времяпролетной массспектрометрии

При получении роста колоний на чашках Петри по морфологии сходных с Н. pylori проводили их предварительную идентификацию с помощью окраски по Граму (ООО «Агат-Мед», Россия) с последующим микроскопированием с иммерсией при увеличении 100x (Nikon Eclipse 50i, Япония). На мазках наблюдали тонкие, изогнутые, нежно-розовые палочки, похожие на *H. pylori*. Видовую идентификацию выделенной культуры осуществляли с помощью спектрометрического анализа с использованием MALDI-TOF-MS серии Autoflex Speed LRF (Bruker Daltonics, Германия). Метод времяпролетной спектрометрии с матрично-активированной лазерной десорбцией/ионизацией обусловлен воздействием импульсами твердотельного лазерного излучения на матрицу с анализируемым образцом. В качестве матрицы использовали α-циано-4гидроксикоричную кислоту. В качестве анализируемого образца (аналита) использовали изолированные колонии микроорганизмов, полученные при первичном росте на питательной среде, которые собирали при помощи стерильной микробиологической петли и переносили в пробирки типа «эппендорф», содержащие по 0,5 мл стерильного физиологического раствора (Медполимер, Россия). Бактериальные культуры не подвергали предварительной пробоподготовке, а использовали метод прямого нанесения материала по стандартному протоколу, представленному в руководстве пользователя. Для получения достоверного результата суспензию с бактериальными клетками в объеме 1 мкл равномерно наносили на лунки MSP-мишени в трех повторах. После высыхания нанесенной на чип суспензии сверху наносили по 1 мкл раствора матрицы (насыщенный раствор α-циано-4-гидроксикоричной кислоты готовили перед исследованием). Внешнюю калибровку проводили с использованием бактериального тест-стандарта (Bruker Daltonics, Германия). Анализ измерений осуществляли в линейном режиме, детектировали положительные ионы. Для накопления масс-спектров мощность лазерного излучения устанавливали на уровне минимального порогового значения, достаточного для десорбции-

ионизации образца. Параметры масс-спектрометра оптимизировали для диапазона масса/заряд от 2000 до 20 000 Да. Для получения пригодных для идентификации масс-спектров в настройках прибора устанавливали следующие параметры: суммирование 10-ти серий спектров по 50 импульсов лазера. С помощью BioTyper 3,0 RTC (Bruker Daltonics, Германия) проводили программы автоматическую идентификацию на основании сравнения собранных исходных спектров с референсными спектрами базы данных. Достоверность идентификации оценивали по полученным значениям Score (коэффициент соответствия), сравнивая с данными спектров референсной библиотеки BioTyper 3,0. Достоверной считали идентификацию на уровне рода при значении Score 1,700–1,999; на уровне вида при значении Score 2,000–3,000. Значения Score 0,000–1,699 рассматривали как недостоверные. Результат анализа показал, что значение Score для анализируемых образцов составил от 2,300 и более (идентификация до вида). Таким образом, была получена чистая культура *H. pylori*, которую использовали для приготовления суспензий и сокультивирования с CD4+-лимфоцитами условно здоровых доноров *in vitro*. Генетические характеристики штамма не изучали.

### 2.12 — Стимуляция лимфоцитов суспензиями Helicobacter pylori в присутствии или отсутствии антител к CD3 и CD28 в модели in vitro

При помощи стерильной микробиологической петли с чашек Петри снимали колонии *Н. руюгі* и помещали в пробирку «эппендорф» со стерильным физиологическим раствором (Медполимер, Россия) объемом 1 мл. Далее сравнивали мутность бактериальной суспензии со стандартами мутности МакФарланда (HiMedia Laboratories, Индия). Мутность суспензии бактериальных клеток доводили до концентрации 12×10<sup>8</sup> КОЕ/мл, что соответствовало стандарту МакФарланда равному 4 ед.

СD4+-лимфоциты (описание получения указано в п. 2.7) засевали по 150 мкл на лунку (с концентрацией  $5\times10^5$  кл/мл) в круглодонные 96-луночные планшеты (Nunclon Delta, Thermo Fisher Scientific, США). Далее в лунки с клетками вносили аликвоты живых бактерий в разных концентрациях. Использовали соотношения

СD4+-лимфоцитов к *Н. руlori*, равные 1:10 (5×10<sup>5</sup> лимфоцитов/мл : 5×10<sup>6</sup> *Н. руlori*/мл); 1:20 (5×10<sup>5</sup> лимфоцитов/мл : 10×10<sup>6</sup> *Н. руlori*/мл); 1:50 (5×10<sup>5</sup> лимфоцитов/мл : 25×10<sup>6</sup> *Н. руlori*/мл). Часть лимфоцитов сокультивировали с бактериями в присутствии моноклональных антител к CD3 и CD28 (1 мкг/мл, eBioscience, CША и 3 мкг/мл Весктап Coulter, Франция). Кроме того, засевали контрольные лунки: К (Контроль) – CD4+-лимфоциты, не стимулированные *Н. руlori*; К1 (Контроль 1) – CD4+-лимфоциты, не стимулированные *Н. руlori*, но с добавлением антител к CD3 и CD28 (1 мкг/мл, eBioscience, CША и 3 мкг/мл Весктап Coulter, Франция). Конечный объем во всех лунках доводили полной питательной средой (RPMI-1640 с добавлением 10 % инактивированной Fetal calf serum и 300 мг/л L-глутамина) до 220 мкл/лунка. Культуры инкубировали 18–24 часа в CO<sub>2</sub>-инкубаторе при 37 °C и 5 % CO<sub>2</sub>.

### 2.13 — Определение концентрации IFN-γ и IL-10 в супернатантах клеточных культур методом иммуноферментного анализа

С целью изучения иммунорегуляторной активности *H. pylori* оценивали способность бактерии влиять на продукцию IFN-ү и IL-10 после совместного культивирования с CD4+-лимфоцитами, полученными из периферической крови условно здоровых доноров.

По окончании сокультивирования *Н. pylori* с CD4+-лимфоцитами (в присутствии или отсутствии моноклональных антител к CD3 и CD28) планшет с клетками центрифугировали (15 минут, 450 g), а затем из каждой лунки отбирали по 200 мкл супернатанта и переносили в заранее промаркированные пробирки типа «эппендорф». С помощью иммуноферментных тест-наборов («Гамма-интерферон-ИФА-БЕСТ», «Интерлейкин-10-ИФА-БЕСТ», Вектор-Бест, Россия) в супернатантах клеточных культур определяли концентрацию IFN-у и IL-10, в соответствии с инструкциями производителя.

Исследуемые образцы вносили по 100 мкл на лунку, где происходило специфическое связывание цитокинов с моноклональными антителами, иммобилизованными на внутренней поверхности лунок планшета во время первой

инкубации (120 мин., 700 об/мин., 37 °C). После первой инкубации лунки планшета отмывали 5 раз однократным фосфатно-солевым буферным раствором с твином (1х ФСБТ). Далее во все лунки вносили по 100 мкл конъюгата №1 (биотинилированные поликлональные антитела к IFN-у и IL-10), с которыми во время второй инкубации (60 мин., 700 об/мин., 37 °C) взаимодействовали связавшиеся цитокины. После второй инкубации лунки планшета отмывали 5 раз 1х ФСБТ, как описано выше. На третьей стадии вносили конъюгат №2 (стрептавидин-пероксидаза хрена) по 100 мкл на лунку и инкубировали 30 минут (700 об/мин., 37 °C). После третьей инкубации лунки планшета промывали 1х ФСБТ, а затем вносили раствор 3,3',5,5'-тетраметилбензидина (ТМБ) по 100 мкл на лунку и инкубировали 25 минут при комнатной температуре (18–22 °C) в темноте. Реакцию останавливали внесением стоп-реагента (0,5 М серная кислота). Оптическую плотность образцов измеряли при длине волны (450/620 нм) на микропланшетном ридере Infinite M200 Pro (TECAN, Austria). Количественную оценку концентрации цитокинов в супернатантах клеточных культур определяли с Magellan 7.2 (Austria). помощью программного обеспечения Фирмойпроизводителем диагностических тест-систем рекомендовано считать нормальным среднюю концентрацию IFN- $\gamma$  – 2 пг/мл, а IL-10 – 5,0 пг/мл.

#### 2.14 — Иммунофенотипирование Treg и Th17 в культурах лимфоцитов методом проточной лазерной цитофлуориметрии

Для определения фенотипа CD4+CD25+FoxP3+ (Treg) и CD4+CD161+ (Th17) клеток использовали иммунофлуоресцентное окрашивание и проточную лазерную цитофлуориметрию. По окончании сокультивирования CD4+-лимфоциов с *Н. руюгі* (в присутствии или отсутствии антител к CD3 и CD28) осадки с клетками ресуспендировали в 200 мкл/лунка 0,09 %-го раствора NaN<sub>3</sub> (HiMedia, Индия). Затем из каждой лунки планшета отбирали 2 аликвоты (по 50 мкл), которые переносили в круглодонный 96-луночный планшет (Sovtech, Россия) и использовали для окрашивания Treg и Th17 клеток. На первом этапе проводили поверхностное окрашивание молекул CD4, CD25 и CD161, располагающихся на

наружной мембране лимфоцитов. Во все лунки для окрашивания Treg (содержащих 50 мкл суспензии с клетками) вносили 2 мкл/образец антител к CD4, меченных Fluorescein-5-isothiocyanate (FITC) (eBioscience, США), и 2 мкл/образец антител к CD25, меченных Allophycocyanin (APC) (eBioscience, США). В лунки для окрашивания Th17 (содержащих 50 мкл суспензии с клетками) вносили 2 мкл/образец антител к CD4, меченных FITC (eBioscience, США), и 2 мкл/образец антител к CD161, меченных Phycoerythrin (PE) (eBioscience, США). Суспензию с клетками и антителами перемешивали и инкубировали 40 минут в темном месте при +4 °C на мультишейкере (BioSan, Латвия). После инкубации планшет с клетками центрифугировали (5 минут, 450g), супернатант удаляли, а клетки отмывали в полной питательной среде 2 раза (150 мкл среды на лунку). После отмывки осадки с клетками ресуспендировали, а их поверхностные маркеры (СД4, CD25 CD161) фиксировали буфере. В заранее приготовленном Fixation/Permeabilization Concentrate (eBioscience, США) разводили Fixation/Permeabilization Diluent (eBioscience, США) в соотношении 1:3, а затем в каждую лунку планшета вносили по 150 мкл приготовленного рабочего раствора. Клетки с раствором в лунках тщательно перемешивали и инкубировали 1 час в темном месте при +4 °C на мультишейкере (BioSan, Латвия). После инкубации клетки центрифугировали (5 минут, 450g), супернатанты удаляли, а к осадкам (в лунки для окрашивания Th17) добавляли по 200 мкл/лунка 0,09 %-го раствора NaN<sub>3</sub>. Каждую лунку с суспензией клеток тщательно перемешивали, а затем переносили в пробирки для цитометрии. В то же время к осадкам клеток (в лунки для окрашивания Treg) добавляли по 90 мкл на лунку заранее приготовленного пермеабилизирующего буфера (10-кратный раствор Permeabilization Buffer (eBioscience, США) разводили деионизированной водой в соотношении 1:9), клетки инкубировали 10 минут в темном месте при +4 °C на мультишейкере (BioSan, Латвия). После инкубации в лунки вносили по 3 мкл/образец антител к FoxP3 (eBioscience, США), меченных PE, тщательно перемешивали инкубировали 30 минут в темном месте при +4 °C. После инкубации клетки центрифугировали (5 минут, 450g), супернатанты удаляли, а осадки отмывали в

пермеабилизирующем буфере 2 раза (по 150 мкл на лунку). Далее к осадкам клеток добавляли по 200 мкл на лунку 0,09 %-го раствора NaN<sub>3</sub>. Каждую лунку с суспензией клеток тщательно перемешивали, а затем переносили в пробирки для цитометрии. Определение уровня экспрессии рецепторных молекул и внутриклеточного аналита в лимфоцитах крови проводили на проточном цитофлуориметре FacsCalibur (Beckton Dickinson, США). Оценивали содержание CD4+CD161+ и CD4+FoxP3+ клеток как (%) от общего числа CD4+-лимфоцитов пробы. Результаты обрабатывали с помощью программного обеспечения BD CellQuest<sup>TM</sup> Pro (Beckton Dickinson, США).

#### 2.15 – Получение образцов желудочного сока от больных хроническим гастритом

Образцы желудочного сока для выявления ДНК *Н. руlori* были получены от больных хроническим гастритом до начала лечения антибиотиками и антисекреторными препаратами. Процедуру аспирации желудочного содержимого осуществлял врач-эндоскопист (Клиники инфекционных болезней ФБУН ННИИЭМ им. академика И.Н. Блохиной Роспотребнадзора) через биопсийный канал в одноразовый стерильный контейнер с помощью электроотсоса. Образцы желудочного сока доставлялись в Приволжский окружной центр по профилактике и борьбе со СПИД и хранились при +4 °C не более 2 часов, а затем использовались в работе.

# 2.16 — Обнаружение ДНК *Helicobacter pylori* в образцах желудочного сока больных хроническим гастритом методом полимеразной цепной реакции в реальном времени

Образцы желудочного сока, полученные от больных хроническим гастритом, использовали для экстракции ДНК *Helicobacter pylori* с помощью набора «РеалБест ДНК-экстракция 2» («Вектор-Бест», Россия), согласно инструкции производителя. Далее проводили качественную полимеразную цепную реакцию с гибридизационно-флуоресцентной детекцией продуктов ПЦР в режиме реального времени с использованием комплекта реагентов «РеалБест ДНК *Helicobacter* 

pylori» («Вектор-Бест», Россия). Данную процедуру выполняли врачи клиниколабораторной диагностики Приволжского окружного центра по профилактике и борьбе со СПИД (И.В. Кузнецова и Т.Ю. Бутина). Принцип анализа основан на регистрации процесса амплификации фрагмента ДНК, заключающегося в серии повторяющихся циклов (температурная денатурация ДНК, отжиг праймеров с комплементарными последовательностями, достройка полинуклеотидных последовательностей с этих праймеров Тад-ДНК полимеразой). В основе метода регистрации лежит измерение сигналов флуоресценции в каждом цикле ПЦР. Увеличение сигналов флуоресценции происходит благодаря использованию гибридизационных флуоресцентно-меченных ДНК-зондов, которые в ходе реакции связываются с комплементарным участком амплифицируемой ДНКмишени и разрушаются Taq-полимеразой, в результате чего разобщаются краситель и тушитель и происходит нарастание интенсивности флуоресценции. Это регистрировать накопление специфического позволяет продукта амплификации путем измерения интенсивности флуоресцентного сигнала в режиме «реального времени».

Для анализа использовали пробы выделенной ДНК. Каждая группа образцов, проходящая через процедуру выделения ДНК, содержала положительный контрольный образец (ПКО) и отрицательный контрольный образец (ОКО). Пробирки с готовой реакционной смесью для амплификации маркировали для необходимого количества проб. Далее в пробирки с маркировкой «образцы желудочного сока» вносили по 50 мкл раствора выделенной ДНК от каждого пациента, а в пробирки с маркировкой «положительный контроль (К+)» и «отрицательный контроль (К-)» вносили по 50 мкл положительного контрольного образца (ПКО) и отрицательного контрольного образца (ОКО). В пробирку с маркировкой «внутренний контрольный образец (ВКО)» вносили 50 мкл отрицательного контрольного образца, прошедшего этап выделения ДНК. Все пробы помещали в микроцентрифугу (Еррепdorf, Германия) и центрифугировали 3—5 секунд для удаления капель жидкости с внутренних поверхностей крышек и стенок пробирок. Далее пробирки устанавливали в реакционный модуль прибора

DTprime5 (ООО «ДНК-Технология, Россия). Программирование амплификатора для соответствующей программы амплификации и детекции флуоресцентного сигнала выполняли в соответствии с инструкцией к прибору. Измерение флуоресценции проводили при 60°С. Детекцию флуоресценции осуществляли по каналам «FAM» и «ROX» для ДНК ВКО и ДНК Helicobacter pylori и определяли значение порогового цикла Сt. Анализируемый образец считали положительным (ДНК Helicobacter pylori — обнаружена), если для этого образца значение Сt по каналу «ROX» было меньше или равно 40. Результат анализа образца считали отрицательным (ДНК Helicobacter pylori — не обнаружена), если для этого образца значение Сt по каналу «ROX» было больше 40 или не определялось. Температурновременной профиль реакции указан в Таблице 1.

Таблица 1 – Температурно-временной профиль реакции

Процесс		t, °C	Время,	Каналы	Количество
			мин:сек	детекции	циклов
Начальная денатурация		50	02:00	_	1
	Денатурация	95	02:00	_	
	Отжиг	94	00:10	_	50
Амплификация	Элонгация	60	00:20	FAM, ROX	

Примечание: FAM — Carboxyfluorescein (Карбоксифлуоресцеин); ROX — Carboxy-X-rhodamine (Карбокси-X-родамин); t — temperature (температура).

В зависимости от результата анализа ПЦР (положительный или отрицательный) больные с хроническим гастритом были разделены на две группы (основную и группу сравнения). В основную группу вошли лица с *H. pylori*-ассоциированным хроническим гастритом (n=179), а в группу сравнения – лица с *H. pylori*-неассоциированным хроническим гастритом (n=171).

## 2.17 — Иммунофенотипирование Th17 и Treg в крови больных хроническим гастритом методом проточной лазерной цитофлуориметрии

Для определения фенотипа CD4+ FoxP3+ (Treg) и CD4+CD161+ (Th17) клеток использовали иммунофлуоресцентное окрашивание и проточную лазерную цитофлуориметрию. Из образцов цельной периферической крови больных хроническим гастритом выделяли фракцию лейкоцитарных клеток. Для этого в

пробирки (V=15 мл) вносили периферическую кровь в объеме 0,2 мл от каждого пациента, которую смешивали с 3,8 мл однократного раствора для лизиса эритроцитов (1x RBC Lysis Buffer, eBioscience, США) и инкубировали 10 минут в темном месте при комнатной температуре (18–22 °C). После инкубации пробирки с клетками центрифугировали (5 минут, 450g), супернатанты удаляли. Осадки с клетками ресуспендировали и отмывали еще раз путем внесения 4 мл раствора для лизиса эритроцитов (5 минут, 450g). После отмывки супернатанты удаляли, а к осадкам с клетками добавляли 250 мкл/образец буфера для цитометрии (Flow Cytometry Staining Buffer, eBioscience, США) и тщательно перемешивали. Затем подсчитывали количество клеток в камере Горяева (Линза, Россия) по общепринятой методике и определяли их жизнеспособность с использованием 0,4 %-го раствора трипанового синего (ПанЭко, Россия). Жизнеспособность выделенных лейкоцитов составила не менее 95 %. В работе использовали суспензию клеток с концентрацией 5х106 кл/мл. Далее фракцию лейкоцитов, полученную от каждого пациента с хроническим гастритом, аликвотировали по 100 мкл в два эппендорфа, а затем проводили иммунофлуоресцентное окрашивание (Th17 и Treg) с использованием коктейля меченных моноклональных антител производства eBioscience (США).

Окрашивание Th17 и Treg осуществляли следующим образом. На первом этапе проводили поверхностное окрашивание молекул CD4 и CD161, располагающихся на наружной мембране лимфоцитов. Для этого в пробирки для окрашивания Th17 (содержащих 100 мкл суспензии с клетками) добавляли 25 мкл на образец заранее приготовленного коктейля антител (0,5 мкл анти-CD4, меченных FITS, и 1 мкл анти-CD161, меченных PE, разводили в 25 мкл буфера для цитометрии). В пробирки для окрашивания Treg (содержащих 100 мкл суспензии с клетками) добавляли 25 мкл на образец заранее приготовленных антител (0,5 мкл анти-CD4, меченных FITS, разводили в 25 мкл буфера для цитометрии). Суспензии с клетками и антителами тщательно перемешивали и инкубировали 30 минут в темном месте при комнатной температуре (18–22 °C). После инкубации, не удаляя супернатант, в пробирки вносили физиологический раствор до объема 1 мл, а затем

образцы помещали в центрифугу (5 минут, 450g). После центрифугирования супернатанты удаляли, а осадки с клетками ресуспендировали в 100 мкл буфера для цитометрии. Затем проводили фиксацию поверхностных молекул (CD4 и CD161). В каждую пробирку с клетками вносили по 1 мл рабочего раствора для фиксации (Fixation/Permeabilization Concentrate разводили Fixation/Permeabilization Diluent в соотношении 1:3), тщательно перемешивали и инкубировали 45 минут в темном месте при комнатной температуре (18–22 °C). После инкубации пробирки с клетками центрифугировали (5 минут, 450g), супернатанты удаляли, а осадки с клетками (пробирки для окрашивания Th17) ресуспендировали в 100 мкл буфера для цитометрии и использовали для цитофлуориметрического анализа. В то же время осадки с клетками (пробирки для окрашивания Treg) ресуспендировали в 2 мл рабочего раствора для пермеабилизации (10-кратный раствор Permeabilization Buffer (eBioscience, США) разводили деионизированной водой в соотношении 1:9) и инкубировали 10 минут в темном месте при комнатной температуре (18–22 °C), а после центрифугировали (5 минут, 450g). Супернатанты удаляли, а осадки ресуспендировали и отмывали еще раз путем добавления 2 мл рабочего раствора для пермеабилизации с повторным центрифугированием (5 минут, 450g). Далее супернатанты удаляли, а осадки с клетками ресуспендировали в 100 мкл раствора для пермеабилизации, к которым добавляли 25 мкл на образец заранее приготовленных антител к Foxp3 (1 мкл моноклональных антител к молекуле Foxp3, меченных PE (eBioscience, США), разводили в 25 мкл буфера для цитометрии). Тщательно перемешивали и инкубировали 30 минут в темном месте при комнатной температуре (18-22 °C). После инкубации во все пробирки вносили рабочий раствор для пермеабилизации (2 мл/образец), а затем образцы помещали в центрифугу (5 минут, 450g). Супернатанты удаляли, а осадки ресуспендировали и отмывали еще раз путем добавления 2 мл рабочего раствора для пермеабилизации повторным центрифугированием (5 минут, 450g). После центрифугирования супернатанты удаляли, а осадки с клетками ресуспендировали в 100 мкл буфера для цитометрии и использовали для цитофлуориметрического анализа.

Определение уровня экспрессии рецепторных молекул и внутриклеточного аналита в лимфоцитах крови проводили на проточном лазерном цитофлуориметре CytoFLEX (Beckman Coulter, CIIIA). Оценивали содержание CD4+CD161+ и CD4+FoxP3+ клеток как (%) от общего числа лимфоцитов пробы. Результаты обрабатывали с помощью программного обеспечения CytExpert 2,2 (США).

## 2.18 – Экстракция нуклеиновых кислот из образцов периферической крови больных хроническим гастритом

Для выделения нуклеиновых кислот из образцов периферической крови больных хроническим гастритом использовали коммерческий набор «Рибо-преп» (ФБУН ЦНИИ Эпидемиологии Роспотребнадзора, Москва). В пробирки вносили по 0,3 мл раствора для лизиса эритроцитов, а затем добавляли по 0,1 мл цельной периферической крови от каждого пациента. Все пробирки с образцами тщательно перемешивали на вортексе (BioSan, Латвия), затем помещали в микроцентрифугу (Eppendorf, Германия) и центрифугировали 3–5 секунд для удаления капель жидкости с внутренних поверхностей крышек и стенок пробирок. После центрифугирования пробы прогревали 5 минут в термостате при 65 °C (BioSan, Латвия). В пробирки добавляли раствор для преципитации (по 400 мкл на образец), перемешивали на вортексе и центрифугировали (5 минут, 13 тыс. об/мин). Используя вакуумный отсасыватель и отдельный наконечник для каждой пробы, отбирали надосадочную жидкость, а осадок с нуклеиновой кислотой (РНК/ДНК) отмывали два раза. Сначала вносили раствор для отмывки 3 (по 500 мкл на образец), затем раствор для отмывки 4 (по 200 мкл на образец). Пробы центрифугировали 2 минуты при 13 тыс. об/мин., супернатанты удаляли, пробирки с открытыми крышками помещали в термостат на 5 минут при 65 °C для подсушивания осадка. В пробирки вносили РНК-буфер (по 50 мкл на образец) для растворения осадка. Пробы перемешивали и помещали в термостат на 5 минут при 65 °C. После инкубации пробирки с образцами центрифугировали в течение 1 минуты при 13 тыс об/мин. Надосадочная жидкость содержала препарат очищенных РНК/ДНК.

# 2.19 — Определение экспрессии мРНК IL-17A, FoxP3, TNF-α в крови больных хроническим гастритом методом полимеразной цепной реакции с обратной транскрипцией в реальном времени

В крови больных хроническим гастритом с использованием ПЦР-ОТ-РВ определяли относительный уровень мРНК IL-17A, мРНК FoxP3 и мРНК TNF-α. Для удаления ДНК из препарата очищенных нуклеиновых кислот (РНК/ДНК) использовали набор реагентов DNase I, RNase-free (Thermo Fisher scientific), согласно инструкции производителя. Для этого отбирали аликвоту нуклеиновой кислоты и доводили ее объем до 10 мкл водой, свободной от РНКаз. Далее добавляли 1 мкл 10-кратного реакционного буфера (100 mM Tris-HCl, pH 7,5, t 25 °C; 25 mM MgCl<sub>2</sub>; 1 mM CaCl<sub>2</sub>) и 1 мкл DNase I, RNase-free (1 ед. акт.). Полученную смесь перемешивали и инкубировали при 37 °C в течение 30 минут. Далее добавляли 1 мкл 50 mM ЭДТА и инкубировали 10 мин при 65 °C. Полученный препарат очищенной РНК использовали в реакции обратной транскрипции. Для этого готовили реакционную смесь с использованием набора реагентов для синтеза первой цепи кДНК (Евроген, Россия), добавляли реагенты в стерильную, свободную от нуклеаз пробирку в следующем порядке: 2,5 мкг тотальной РНК, 2 мкл Oligo(dT)<sub>15</sub>-primer (20 $\mu$ M) и доводили до объема 11 мкл деионизированной водой, свободной от нуклеаз. Смесь прогревали 2 минуты при 70 °C, затем переносили в лед. Добавляли 9 мкл предварительно подготовленной смеси (4 мкл 5x First standard buffer, 2 мкл dNTP<sub>mix</sub> (10mM), 2 мкл DDT (DL-Dithiothreitol, 20 mM) и 1 мкл M-MLV (Moloney Murine Leukemia Virus Reverse Transcriptase 100 ед. акт., добавляли в последнюю очередь). Суммарный объем реакционной смеси для каждого образца составлял 20 мкл. Смесь перемешивали и центрифугировали 3-5 секунд для удаления капель жидкости с внутренней поверхности крышки и стенок пробирки. Пробы инкубировали 60 минут при 37°C. Реакцию останавливали нагревом реакционной смеси до 70 °C в течение 10 минут с последующим охлаждением во льду. Продукт синтеза первой цепи кДНК использовали в ПЦР в реальном времени. Для этого в пробирки объемом 200 мкл с оптически прозрачными крышками вносили 23 мкл/образец реакционной смеси,

ТаqF полимеразы 5 единиц активности (Amplysens, Россия) и 2 мкл кДНК. В состав реакционной смеси входило: 20 mM Tris-HCl pH 8,4; 50 mM KCl; 1,5 mM MgCl<sub>2</sub>; 0,4 mM dNTP; 10 пг прямого праймера, 10 пг обратного праймера, 10 пг флуоресцентно меченого зонда как для исследуемой мРНК IL-17A, мРНК FoxP3, мРНК TNF- $\alpha$ , так и для референсной мРНК YWHAZ (нуклеотидные последовательности используемых праймеров и зондов представлены в *Таблице* 2).

Таблица 2 — Нуклеотидные последовательности праймеров и зондов для определения уровней мРНК исследуемых генов

Ген	Олигонуклеотид	Последовательность (5'→3')
IL-17	Прямой праймер	TCTGTGATCTGGGAGGCAAAGT
	Обратный праймер	GGAGTTGGGGCAGTGTGGAG
	Зонд	(ROX)TGGGAACGTGGACTACCACATGAACTCT(BHQ-2)
FoxP3	Прямой праймер	GAGAAGCTGAGTGCCATGCA
	Обратный праймер	GGAGCCCTTGTCGGATGAT
	Зонд	(ROX)TGCCATTTTCCCAGCCAGGTGG(BHQ-2)
	Прямой праймер	CTCTTCTCCTGATCTGT
TNF-α	Обратный праймер	TTGAGGGTTTGCTACAACATGG
	Зонд	(ROX)AGAGTTCCCCAGGGACCTCTCTCAATC(BHQ-2)
YWHAZ	Прямой праймер	TGCAATGATGTACTGTCTCT
	Обратный праймер	ACTGATCGACAATCCCTTTC
	Зонд	(CY5)ATTACTACCGTTACTTGGCTGAGGTTGCC(BHQ-2)

Примечание: мРНК — матричная РНК; IL-17A — Interleukin-17 (Интерлейкин-17); FoxP3 — Forkhead boxP3 (Фактор транскрипции Т-регуляторных клеток); TNF-α — Tumor necrosis factor-alfa (Фактор некроза опухоли альфа); YWHAZ — Tyrosine 3-monooxygenase/tryptophan 5-monooxygenase activation protein zeta (активационный белок тирозин 3-монооксигеназы/триптофан 5-монооксигеназы зета); ROX — Carboxy-X-rhodamine (Карбокси-X-родамин); BHQ-2 — black hole quenchers-2; CY5 — Cyanine5 (Цианин 5).

Пробирки устанавливали в реакционный модуль прибора для амплификации DTprime5 (ООО «ДНК-Технология», Россия). Программирование амплификатора для соответствующей программы амплификации и детекции флуоресцентного сигнала проводили в соответствии с инструкцией к прибору. Детекцию флуоресценции осуществляли по каналам «ROX» и «CY5». Температурновременной профиль реакции указан в *Таблице 3*.

Процесс		t, °C	Время,	Каналы	Количество
			мин:сек	детекции	циклов
Начальная денатурация		94	05:00	_	1
	Денатурация	94	00:30	_	
	Отжиг	55	00:30	_	45
Амплификация	Элонгация	72	00:30	ROX, CY5	

Таблица 3 – Температурно-временной профиль реакции

Примечание: ROX — Carboxy-X-rhodamine (Карбокси-X-родамин); CY5 — Cyanine5 (Цианин 5); t — temperature (температура).

Оценка экспресии целевого гена (IL-17A, FoxP3, TNF-α) производилась относительно экспрессии гена «домашнего хозяйства» (YWHAZ).

Уровень относительной экспрессии (RE) гена-мишени измеряли в относительных единицах и рассчитывали по формуле:

$$RE=E^{-(CtN-CtX)},$$
 (2)

где Е – эффективность амплификации;

 $Ct_{N}$  — значение порогового цикла амплификации в образце для референсного гена (YWHAZ);

 $Ct_X$  — значение порогового цикла амплификации в образце для генамишени (IL-17, FoxP3, TNF-lpha).

Эффективность амплификации (Е) рассчитывали по формуле:

$$E = 10^{-(1/slope)}, (3)$$

где *slope* – разница в значениях Сt при 10-кратном разведении образца (угловой коэффициент уравнения линейной зависимости Сt от логарифма (lg) концентрации матрицы).

# 2.20 — Определение концентрации цитокинов и уровня аутоантител в плазме крови больных хроническим гастритом методом иммуноферментного анализа

Используя твердофазный иммуноферментный анализ (подобно описанию метода в 2.4), согласно инструкции по применению соответствующих коммерческих тест-наборов, в крови больных хроническим гастритом определяли

уровень IL-2 («Интерлейкин-2-ИФА-БЕСТ», Россия), фактора некроза опухоли альфа («Альфа-ФНО-ИФА-БЕСТ», Россия), IL-23 («Human IL-23 Platinum ELISA»; «eBioscience», США), аутоантител к односпиральной и двухспиральной ДНК («Векто-ssДНК-IgG», «Векто-dsДНК-IgG», Россия), ревматоидного фактора («ВектоРевматоидный фактор класса М», Россия), аутоантител β-2гликопротеину I («Anti-beta-2-Glycoprotein I IgG/IgM», Германия), аутоантител к тиреоглобулину и тиреопероксидазе («Анти-ТГ-ИФА-БЕСТ», «Анти-ТПО-ИФА-БЕСТ», Россия). Оптическую плотность образцов измеряли при длине волны (450/620 нм) на микропланшетном ридере Infinite M200 Pro (TECAN, Austria), количественную оценку концентрации цитокинов и аутоантител в образцах определяли с помощью программного обеспечения Magellan 7.2 (Austria). Фирмойпроизводителем диагностических тест-систем рекомендовано считать нормальным уровень IL-2, находящийся в диапазоне до 10 пг/мл, ФНО-альфа – до 6 пг/мл, IL-23 – до 44 пг/мл, анти-ssДНК-IgG – до 20 Ед/мл, анти-dsДНК-IgG – до 20 Ед/мл, РФ-IgM – до 20 Ед/мл, анти- $\beta$ -2-гликопротеин I класса IgG/IgM – 8 Ед/мл, анти- $T\Gamma$  – до 100 Ед/мл, анти-ТПО – до 30 Ед/мл.

#### 2.21 – Статистическая обработка данных

Статистическую обработку данных осуществляли с использованием компьютерной программы GraphPad Prism 8 (GraphPad Software Inc., США). Перед сравнением данных проводили проверку гипотез нормальности распределения количественных признаков в каждой из групп с использованием критериев Колмогорова-Смирнова, Шапиро-Уилка. Для проверки статистических гипотез применяли двусторонний U-критерий Манна-Уитни и t-тест. Статистические характеристики переменных, соответствовавших нормальному распределению, представлены в виде  $M\pm m$ , где M- средняя арифметическая, m- стандартная ошибка средней. Во всех остальных случаях – в виде M (25 %—75 %), — медианы, где M – нижний квартиль, M – верхний квартиль. При M – M соответствоверно значимыми.

#### ГЛАВА 3 – РЕЗУЛЬТАТЫ СОБСТВЕННЫХ ИССЛЕДОВАНИЙ И ИХ ОБСУЖДЕНИЕ

#### 3.1 — Реакция Т-лимфоцитов человека на сокультивирование с Helicobacter pylori в модели in vitro без участия антигенпрезентирующих клеток

Колонизируя слизистую оболочку желудка, *H. pylori* может вызывать воспаление, в которое вовлекаются клетки как с провоспалительными (Th1 и Th17), так и противовоспалительными (Treg) свойствами [142]. Из литературных источников известно, что у пациентов, инфицированных H. pylori, в слизистой оболочке желудка возрастает содержание CD4+CD25+FoxP3+ Treg клеток [125; 213; 261], а также обнаруживается повышенная экспрессия IFN-у и IL-17A – ключевых цитокинов Th1 и Th17 клеток в сравнении со здоровыми лицами [208]. Одним из факторов, влияющих на подобное положение вещей, считают способность *H. pylori* воздействовать на иммунный ответ хозяина, направляя его в сторону усиления толерогенных процессов. Дополнительным эффектом подобной стратегии может являться показанная для *H. pylori* способность влиять на протекание некоторых аутоиммунных заболеваний и патологий аллергического характера [106; 141; 184]. Однако до сих пор точно не определены механизмы, с помощью которых *H. pylori* дифференцировку Т-лимфоцитов, оказывает влияние на смещая баланс Th1/Th17/Treg в ту или иную сторону. А экспериментальные работы, в которых исследовалось влияние *H. pylori* на активацию Т-лимфоцитов с использованием дендритных клеток в модели *in vitro* приводило к тому, что в культурах отмечался смешанный иммунный ответ (Th1, Th17, Treg) без значительного доминирования какой-либо из сторон [161; 185; 200; 209; 215]. Имеющиеся данные, по-нашему мнению, наводят на мысль о наличии дополнительных механизмов, с помощью которых *H. pylori* воздействует на Т-клетки и управляет их дифференцировкой. Известно, что во время повреждения ткани желудка *H. pylori* и его метаболиты мигрируют в собственную пластинку, где взаимодействуют с клетками как

врожденного, так и адаптивного иммунитета [51; 98; 159; 224]. В то же время одним из возможных механизмов, по-нашему мнению, может служить способность *Н. руlori* или его метаболитов в условиях слизистой желудка напрямую контактировать с отвечающими Т-лимфоцитами и влиять на их активацию и дифференцировку. Гипотеза существования прямого модулирующего воздействия патогена на субпопуляционный состав Т-лимфоцитов в модели *in vitro* является наиболее легко проверяемой и имеет ограниченное экспериментальное подтверждение [162; 181].

## 3.1.1 – Влияние *Helicobacter pylori* на содержание Th17 и IFN-у в культурах лимфоцитов

Для проверки предполагаемой гипотезы на начальном этапе работы в мы исследовали реакцию Т-лимфоцитов человека в ответ на сокультивирование с *H. pylori* без участия антигенпрезентирующих клеток. В культурах CD4+лимфоцитов оценивали содержание клеток фенотипа CD4+CD161+ (Th17), последние, по данным ряда авторов, связаны с течением ряда аутоиммунных заболеваний, таких как рассеянный склероз, ревматоидный артрит, системная красная волчанка [111; 234].

Было показано, что в контрольной культуре интактных CD4+-лимфоцитов (К) относительное количество клеток фенотипа CD4+CD161+ составило 17,34±2,07 % от всех CD4+-лимфоцитов (*Рисунок 1*). При сокультивировании CD4+-лимфоцитов с различными концентрациями бактериальных суспензий *Н. руlori* (1:10, 1:20 и 1:50) относительное количество CD4+CD161+ клеток составило 16,20±3,58 %, 19,10±3,00 % и 22,55±1,43 % соответственно. Достоверно значимых различий как между группами, так и по отношению к контрольной культуре интактных CD4+-лимфоцитов (К) обнаружено не было.

Поскольку в модели данного эксперимента в культурах лимфоцитов и *H. pylori* отсутствовали профессиональные антигенпрезентирующие клетки, параллельно мы исследовали влияние *H. pylori* на реакцию CD4+-лимфоцитов в присутствии моноклональных антител к компоненту Т-клеточного рецепторного комплекса (CD3) и молекуле костимуляции (CD28). Данные антитела, связываясь

с белками на поверхности Т-лимфоцитов, способны инициировать сигналы, имитирующие стимуляцию антигенпрезентирующих клеток через Т-клеточный рецептор [351].

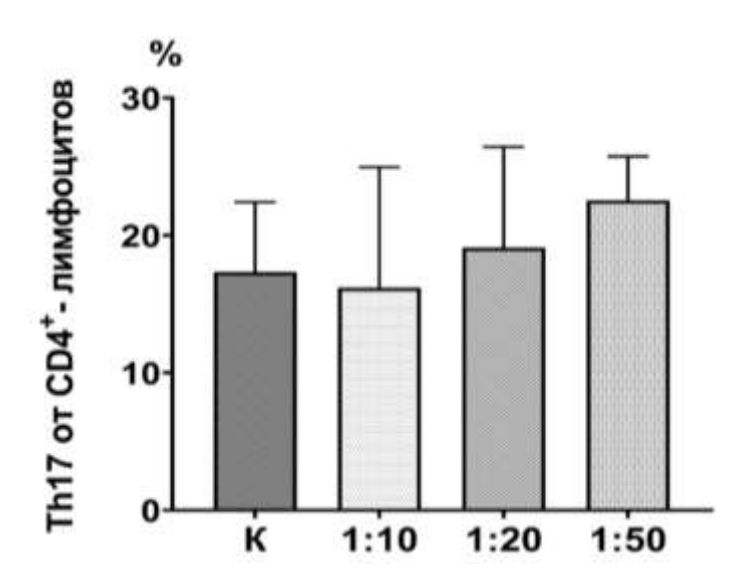


Рисунок 1 — Относительное количество клеток (%) фенотипа CD4<sup>+</sup>CD161<sup>+</sup> (Th17) в культурах CD4<sup>+</sup>-лимфоцитов после добавления *H. pylori* 

*Примечание:* К (Контроль) – CD4 $^+$ -лимфоциты, не стимулированные *H. pylori*; 1:10, 1:20, 1:50 – соотношения количества CD4 $^+$ -лимфоцитов к количеству клеток *H. pylori*.

Было продемонстрировано, что в контрольной культуре CD4+-лимфоцитов (К1), не стимулированных *Н. руlori*, но с добавлением антител к CD3 и CD28, относительное количество клеток фенотипа CD4+CD161+ составило 18,21±3,90 % от всех CD4+-лимфоцитов и достоверно значимо не отличалось от контрольной культуры интактных CD4+-лимфоцитов (К) (*Pucyнок 2*). В то же время сокультивирование CD4+-лимфоцитов с *Н. руlori* в соотношениях 1:10, 1:20 и 1:50 совместно с антителами к CD3-антигену и молекуле костимуляции CD28 также не приводило к достоверным изменениям относительного количества CD4+CD161+ клеток в сравнении с контрольными культурами лимфоцитов (К и К1). Относительное количество CD4+CD161+ клеток в культурах лимфоцитов составило 20,73±2,95 %, 20,66±2,02 % и 24,33±1,65 % для соотношений 1:10, 1:20 и 1:50 соответственно. Таким образом, было установлено, что *Н. руlori* в модели *in vitro* при отсутствии в культурах профессиональных антигенпрезентирующих клеток не индуцировал CD4+-лимфоциты, выделенные из периферической крови условно

здоровых доноров, дифференцироваться по пути CD4+CD161+ (Th17) клеток. И этот эффект не зависел от присутствия или отсутствия в культурах моноклональных антител к CD3-антигену и молекуле костимуляции CD28.

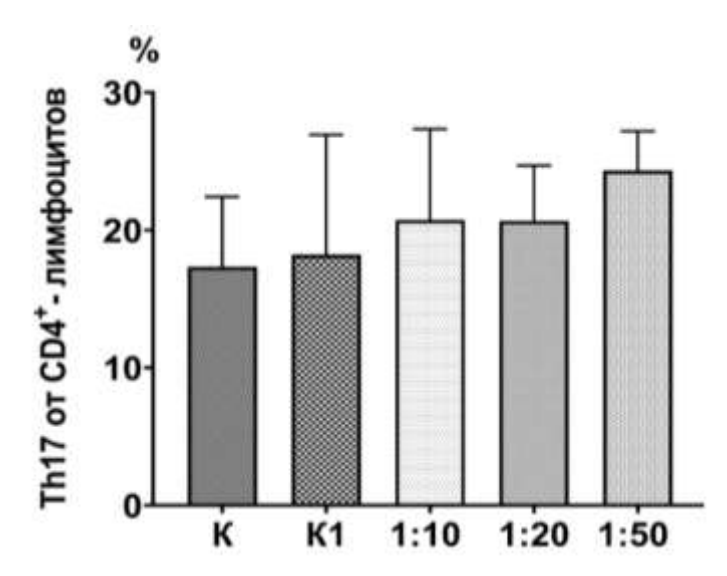


Рисунок 2 — Относительное количество клеток (%) фенотипа CD4+CD161+ (Th17) в культурах CD4+-лимфоцитов после добавления *H. pylori* и антител к CD3-антигену и молекуле костимуляции CD28

Примечание: К (Контроль) − CD4 $^+$ -лимфоциты, не стимулированные *H. pylori*; К1 (Контроль 1) − CD4 $^+$ -лимфоциты + антитела к CD3 и CD28; 1:10, 1:20, 1:50 − соотношения количества CD4 $^+$ -лимфоцитов к количеству клеток *H. pylori* + антитела к CD3 и CD28.

Субпопуляция Th17 не является единственным индуктором и участником аутоиммунных реакций, поскольку многие иммуновоспалительные процессы развиваются при участии Th1, и вопрос о значимости индивидуального вклада Th17 и Th1 в развитии конкретной патологии остается открытым. Учитывая вышеизложенное, определяли концентрацию IFN-ү (ключевого цитокина Th1) в супернатантах клеточных культур после стимуляции лимфоцитов различными концентрациями бактериальных суспензий *Н. руlогі*. Мы обнаружили, что в контрольной культуре интактных клеток (CD4+-лимфоциты, не стимулированные *Н. руlогі*) концентрация IFN-ү составила 10,00±4,08 пг/мл (*Pucyнок 3*). В то же время сокультивирование CD4+-лимфоцитов с *Н. руlогі* в соотношении (1:10 и 1:50) приводило к достоверному повышению концентрации IFN-ү в супернатантах клеточных культур и составило 1107,00±315,20 пг/мл и 660,00±198,60 пг/мл соответственно. Для соотношения количества лимфоцитов к количеству клеток *Н*.

pylori (1:50) концентрация IFN- $\gamma$  составила 180,00 $\pm$ 160,10 пг/мл и достоверно не отличалась от контрольной культуры интактных клеток (CD4+-лимфоциты, не стимулированные  $H.\ pylori$ ).

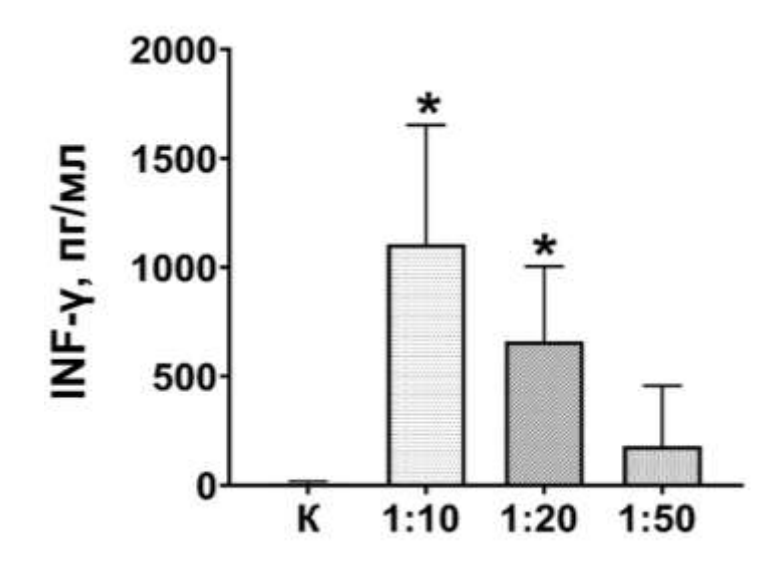


Рисунок 3 – Концентрация IFN-γ в супернатантах клеточных культур после сокультивирования CD4+-лимфоцитов с *H. pylori* 

Примечание: К (Контроль) — CD4 $^+$ -лимфоциты, не стимулированные *H. pylori*; 1:10, 1:20, 1:50 — соотношение количества CD4 $^+$ -лимфоцитов к количеству клеток *H. pylori*; \* (p < 0,05) — достоверно значимые отличия от К.

Далее мы оценили влияние сигналов, поступающих от анти-CD3 и анти-CD28 при их добавлении к культурам клеток. Было показано, что добавление антител к компоненту Т-клеточного рецепторного комплекса (CD3) и молекуле костимуляции (CD28) к контрольной культуре лимфоцитов без *H. pylori* (K1) приводило к достоверному повышению концентрации IFN-у в супернатантах клеточных культур до 270,00±106,29 пг/мл в сравнении с контрольной культурой интактных CD4+-лимфоцитов (K) (*Рисунок 4*). В то же время добавление к (CD4+-лимфоциты сокультивированные культурам клеток различными концентрациями бактериальных суспензий *H. pylori*) антител к CD3 и CD28 приводило к достоверному повышению концентрации IFN-у в супернатантах клеточных культур и составило 897,49±306,10 пг/мл, 987,45±247,10 пг/мл и 502,50±180,00 пг/мл для соотношений количества лимфоцитов к количеству клеток H. pylori (1:10, 1:20 и 1:50). Все CD4+-лимфоциты, сокультивированные с

различными концентрациями бактерий в присутствии антител к CD3 и CD28, достоверно значимо отличались от контрольной культуры интактных CD4+лимфоцитов (К) и не отличались от контрольной культуры лимфоцитов, стимулированных антителами к CD3 и CD28 (К1).

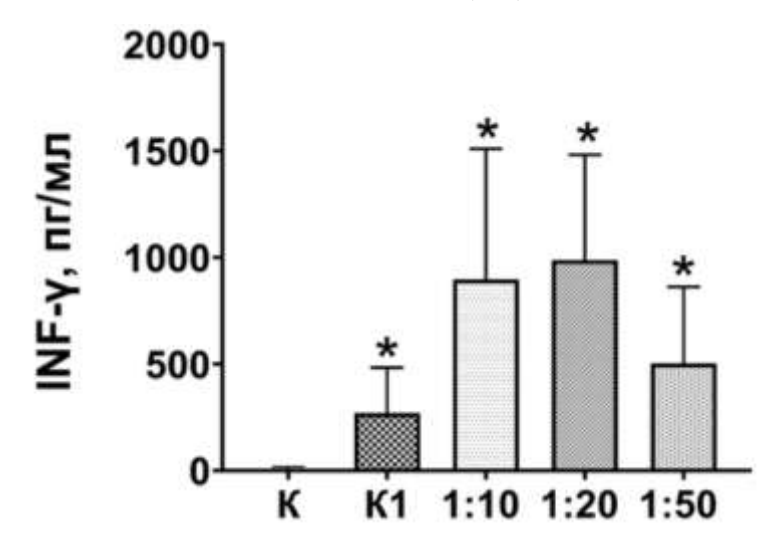


Рисунок 4 – Концентрация IFN-γ в супернатантах клеточных культур после сокультивирования CD4+-лимфоцитов с *H. pylori* и антителами к CD3-антигену и молекуле костимуляции CD28

Примечание: К (Контроль) − CD4<sup>+</sup>-лимфоциты, не стимулированные *H. pylori*; K1 (Контроль 1) − CD4<sup>+</sup>-лимфоциты + антитела к CD3 и CD28; 1:10, 1:20, 1:50 − соотношение количества CD4<sup>+</sup>-лимфоцитов к количеству клеток *H. pylori* + антитела к CD3 и CD28; \* (p < 0.05) − достоверно значимые отличия от К.

Таким образом, в условиях данного эксперимента мы продемонстрировали, что популяция CD4+CD161+ (Th17) клеток периферической крови условно здоровых доноров, по-видимому, не восприимчива к воздействию *H. pylori*, поскольку содержание Th17 клеток в культурах лимфоцитов, стимулированных различными концентрациями бактериальных суспензий, не отличалось от содержания Th17 клеток, обнаруживаемых в контрольной культуре интактных CD4+-лимфоцитов. Вероятно, Т-хелперов что ответная реакция на сокультивирование с *H. pylori* при ее провоспалительном течении проходит по Th1 типу, без существенного вовлечения Th17 клеток. Было обнаружено, что стимуляция CD4<sup>+</sup>-лимфоцитов разными концентрациями бактерий приводила к достоверному повышению концентрации IFN-у в супернатантах клеточных культур в сравнении с концентрацией IFN-у в контрольной культуре интактных CD4+-лимфоцитов, что свидетельствует о функциональной активации Th1 клеток в ответ на *H. pylori*.

Полученные данные соотносятся с описанными в литературе сообщениями, согласно которым протекание *H. pylori*-ассоциированных гастритов приводит к Th1-доминантному ответу, и воспаление слизистой оболочки желудка связано с повышенной продукцией IFN-γ [21; 63; 225; 327].

## 3.1.2 – Влияние *Helicobacter pylori* на содержание Treg и IL-10 в культурах лимфоцитов

Известно, что Т-регуляторные клетки, продуцирующие IL-10, считаются одним из ключевых факторов, регулирующих индуцированное воспаление и позволяющее *H. pylori* персистировать в слизистой оболочке желудка. Мы оценили содержание клеток фенотипа CD4+CD25+FoxP3+ (Treg) в культурах CD4+лимфоцитов в ответ на сокультивирование с *H. pylori*.

В контрольной культуре интактных СD4+-лимфоцитов (К) относительное количество Treg составило  $5.30\pm1.60$  % от всех CD4+-клеток (Рисунок 5). При сокультивировании CD4+-лимфоцитов c различными концентрациями бактериальных суспензий наблюдалось достоверное повышение относительного количества Treg (для всех соотношений лимфоцитов к H. pylori) в сравнении с контрольной культурой интактных клеток (К). При соотношении СD4+лимфоцитов к *H. pylori* (1:10) относительное количество CD4+CD25+FoxP3+ было максимальным и составило 10,56±5,59 %. Как можно видеть, в ряду соотношений наблюдалась тенденция к обратной дозовой зависимости. Соотношение количества лимфоцитов к *H. pylori* (1:10) показало наибольший прирост содержания Treg, который понижался при увеличении концентрации бактерий в культурах лимфоцитов. Однако данная тенденция осталась статистически недостоверной. Относительное количество Treg клеток в культурах лимфоцитов для соотношений (1:20 и 1:50) составило 9,28±4,69 % и 8,19±4,06 % соответственно.

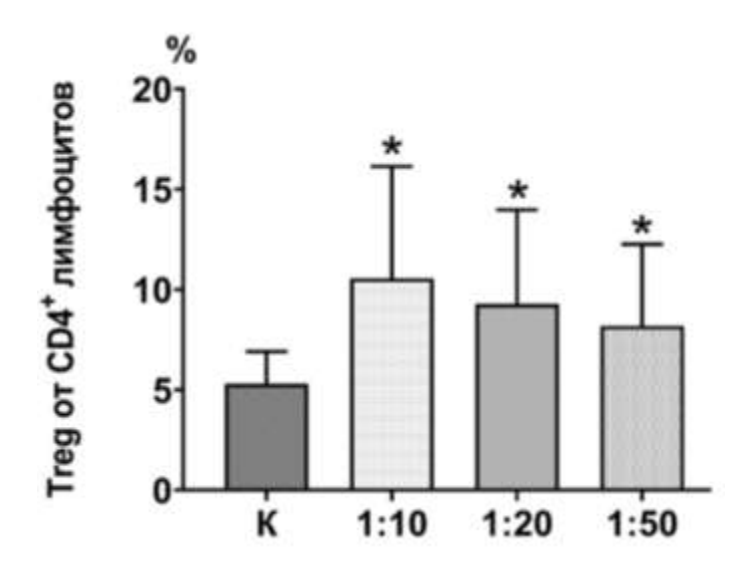


Рисунок 5 — Относительное количество клеток (%) фенотипа  $CD4^+CD25^+FoxP3^+$  (Treg) в культурах  $CD4^+$ -лимфоцитов после добавления  $H.\ pylori$ 

Примечание: К (Контроль) — CD4<sup>+</sup>-лимфоциты, не стимулированные *H. pylori*; 1:10, 1:20, 1:50 — соотношения количества CD4<sup>+</sup>-лимфоцитов к количеству клеток *H. pylori*; \* (p < 0,05) — достоверно значимые отличия от K.

По-видимому, соотношение количества CD4+-лимфоцитов к количеству клеток *H. pylori* (1:10) в условиях данного эксперимента явилось оптимальным для активации CD4+CD25+FoxP3+ (Treg) клеток.

Аналогично экспериментам с Th17 клетками к культурам CD4+-лимфоцитов добавляли антитела к CD3-антигену и молекуле костимуляции CD28. Было продемонстрировано, что относительное количество Treg в контрольной культуре лимфоцитов без *H. pylori*, но с добавлением анти-CD3 и анти-CD28 (К1) достоверно значимо повышалось до 12,93±2,04 % в сравнении с контрольной культурой интактных клеток (К) (*Pucyнок 6*). В то же время введение в культуры лимфоцитов *H. pylori* в разных концентрациях совместно с антителами к CD3 и CD28 не приводило к дополнительному достоверному повышению относительного количества Treg в сравнении с К1 и составило 12,98±2,50 %, 12,39±1,71 %, 12,35±1,10 % для соотношений 1:10, 1:20 и 1:50 соответственно. Вероятно, воздействие *H. pylori* затрагивало клетки, исходно коммитированные к развитию в сторону Treg, так как стимуляция антителами к CD3 и CD28 антигену «поглощала» эффект от введения бактерий – культуры, стимулированные только антителами, а

также антителами одновременно с *H. pylori* достоверно не отличались по содержанию Treg.

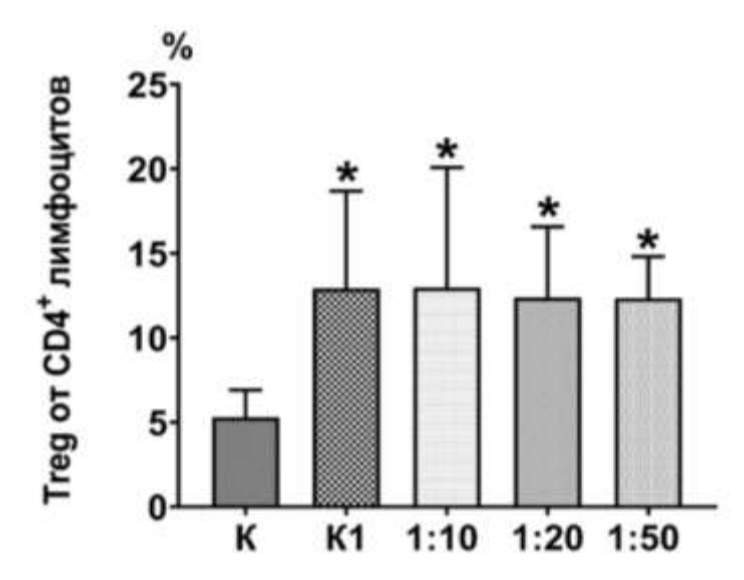


Рисунок 6 – Относительное количество клеток (%) фенотипа CD4+CD25+FoxP3+ (Treg) в культурах CD4+-лимфоцитов после добавления *H. pylori* и антител к CD3-антигену и молекуле костимуляции CD28

Примечание: К (Контроль) — CD4<sup>+</sup>-лимфоциты, не стимулированные *H. pylori*; K1 (Контроль 1) — CD4<sup>+</sup>-лимфоциты + антитела к CD3 и CD28; 1:10, 1:20, 1:50 — соотношения количества CD4<sup>+</sup>-лимфоцитов к количеству клеток *H. pylori* + антитела к CD3 и CD28; \* (p < 0,05) — достоверно значимые отличия от К.

Параллельно в супернатантах клеточных культур оценивали продукцию IL-10 — важного супрессорного цитокина Treg клеток. Было показано, что в контрольной культуре интактных клеток (К) медиана концентрации IL-10 составила 0,00 [0,00–16,50] пг/мл (Рисунок 7). В то же время, сокультивирование CD4+-лимфоцитов с различными концентрациями бактериальных суспензий H. pylori приводило к достоверному повышению концентрации IL-10 в супернатантах клеточных культур и составило 230,00 [103,50–306,50] пг/мл, 135,00 [68,50–720,00] пг/мл и 75,00 [35,00–526,50] пг/мл для соотношений количества лимфоцитов к количеству клеток H. pylori (1:10, 1:20 и 1:50) соответственно. Как можно видеть, в ряду соотношений наблюдалась тенденция к обратной дозовой зависимости. Соотношение количества лимфоцитов к H. pylori (1:10) показало наибольшую концентрацию IL-10 в супернатантах клеточных культур, которая

понижалась при увеличении концентрации бактерий в культурах лимфоцитов. Однако данная тенденция осталась статистически недостоверной.

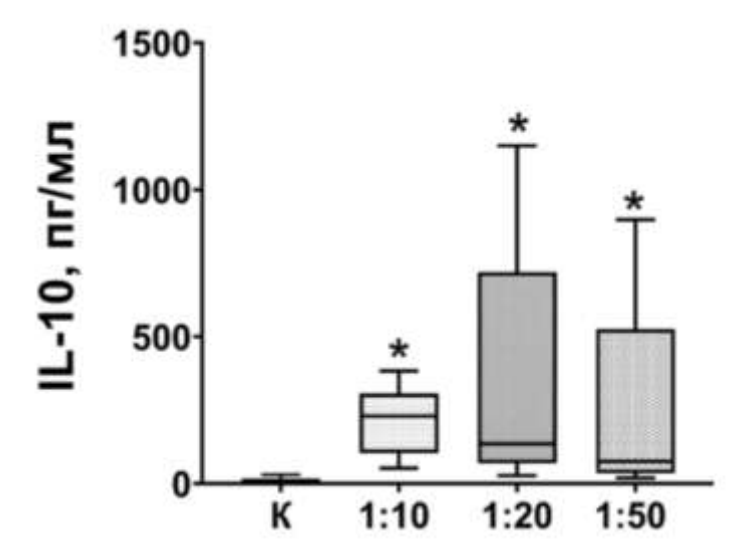


Рисунок 7 — Концентрация IL-10 в супернатантах клеточных культур после сокультивирования CD4+-лимфоцитов с *H. pylori* 

Примечание: К (Контроль) — CD4<sup>+</sup>-лимфоциты, не стимулированные *H. pylori*; 1:10, 1:20, 1:50 — соотношение количества CD4<sup>+</sup>-лимфоцитов к количеству клеток *H. pylori*; \* (p < 0,05) — достоверно значимые отличия от K.

В то же время в контрольной культуре лимфоцитов (К1) без *Н. руlori*, но с добавлением антител к CD3 и CD28, медиана концентрации IL-10 составила 60,00 [34,00–120,00] пг/мл (*Рисунок 8*). При добавлении к CD4+-лимфоцитам *Н. руlori* в разных соотношениях (1:10, 1:20 и 1:50) совместно с антителами к CD3-антигену и молекуле костимуляции CD28 медиана концентрации IL-10 в супернатантах клеточных культур достоверно повышалась как по отношению к К1, так и по отношению к контрольной культуре интактных клеток (К) и составила 345,00 [147,50–464,00], 430,00 [96,00–471,50] и 210,00 [94,00–333,50] пг/мл соответственно.

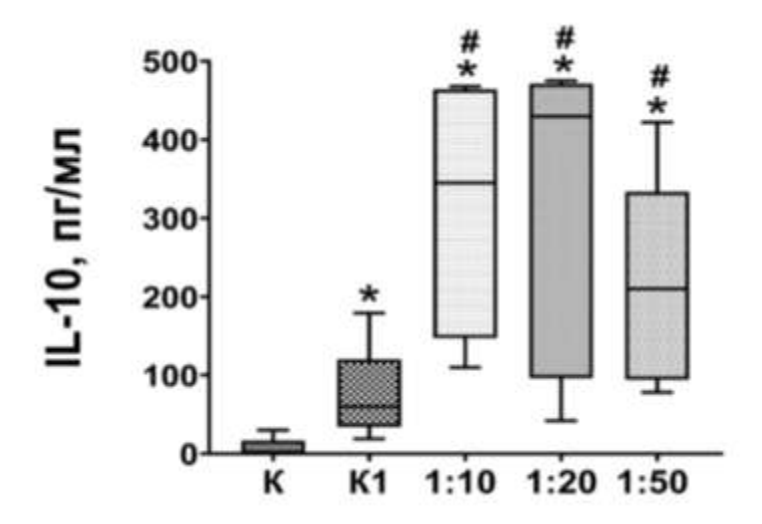


Рисунок 8 — Концентрация IL-10 в супернатантах клеточных культур после сокультивирования CD4+-лимфоцитов с *H. pylori* и антителами к CD3-антигену и молекуле костимуляции CD28

Примечание: К (Контроль) — CD4<sup>+</sup>-лимфоциты, не стимулированные *H. pylori*; K1 (Контроль 1) — CD4<sup>+</sup>-лимфоциты + антитела к CD3 и CD28; 1:10, 1:20, 1:50 — соотношение количества CD4<sup>+</sup>-лимфоцитов к количеству клеток *H. pylori* + антитела к CD3 и CD28; \* (p < 0,05) — достоверно значимые отличия от K; # (p < 0,05) — достоверные отличия от K1.

В условиях данного эксперимента было показано, что воздействие различных концентраций бактериальных суспензий *H. pylori* на CD4<sup>+</sup> Т-лимфоциты периферической крови условно здоровых доноров приводило к активации в культурах лимфоцитов CD4+CD25+FoxP3+ (Treg) клеток и повышенной экспрессии IL-10. Данный эффект не зависел от присутствия в культурах лимфоцитов профессиональных антигенпрезентирующих клеток. По-видимому, воздействие Н. pylori затрагивало клетки, исходно коммитированные к развитию в сторону Treg. В то же время известно, что естественные Treg клетки экспрессируют на своей мембране Toll-подобные рецепторы и, следовательно, могут быть активированы непосредственно возбудителем инфекции, несущим соответствующий лиганд на своей поверхности. Эксперименты *in vitro* указывают на то, что естественные Treg приобретают способность к пролиферации после стимуляции их TLR лигандами микроорганизмов [27]. Мы предположили, что *H. pylori* может выступать в роли активатора Treg клеток посредством взаимодействия паттернов микроба или продуктов его метаболизма с Toll-подобными рецепторами на мембране Tлимфоцитов. Таким образом, индуцированные *H. pylori* Treg клетки ограничивают развитие антимикробного ответа и способствуют персистенции возбудителя в организме хозяина.

## 3.1.3 – Влияние Escherichia coli на содержание Treg в культурах лимфоцитов

Для проверки специфичности действия *H. pylori* индуцировать повышение Treg клеток в культурах лимфоцитов мы провели дополнительные эксперименты с использованием другого микроорганизма, имеющего кишечную локализацию – Escherichia coli (E. coli). В работе использовали штамм Е. coli M-17 (получен из коллекции маточных культур ФГУП НПО «Микроген» Минздрава России, г. Нижний Новгород, Нижегородское предприятие по производству бактерийных препаратов «ИмБио»). Восстановление лиофильно высушенного штамма E. coli M-17 проводили с использованием мясо-пептонного бульона (Nutrient Broth, HiMedia). Суспензию с бактериями высевали по 0,05 мл на питательную среду для выделения энтеробактерий (Эндо-ГРМ, Оболенск) и инкубировали в термостате при 37 °C в течение 1 суток. Видовую идентификацию суточных культур бактерий подтверждали с использованием времяпролетного MALDI масс-спектрометра Autoflex (Bruker Daltonics, Германия) по полученным значениям Score, сравнивая с данными спектров референсной библиотеки BioTyper 3,0. Результат анализа показал, что значение Score для анализируемых микроорганизмов составил 2,56 (идентификация до вида). Колонии с выросшей культурой *E. coli* использовали для сокультивирования *in vitro* с CD4+-лимфоцитами, полученными от условно здоровых доноров. В эксперименте использовали соотношение CD4+-лимфоцитов к  $E.\ coli$  равное 1:50 (5×10<sup>5</sup> лимфоцитов/мл : 25×10<sup>6</sup>  $E.\ coli$ /мл). Часть лимфоцитов сокультивировали с бактериями в присутствии моноклональных антител к СD3 и CD28 (1 мкг/мл, eBioscience, США и 3 мкг/мл Beckman Coulter, Франция). Результат влияния *E. coli* на CD4+-лимфоциты оценивали по изменению содержания относительного количества клеток фенотипа CD4+CD25+FoxP3+ (Treg) в культурах лимфоцитов.

Было показано, что в контрольной культуре интактных CD4+-лимфоцитов (Контроль) относительное количество Treg составило  $5,30\pm1,60$  % от всех CD4+-клеток (*Рисунок 9*). При сокультивировании CD4+-лимфоцитов с *E. coli* в соотношении (1:50), а также с добавлением антител к CD3 и CD28 наблюдалось достоверное снижение относительного количества Treg в сравнении с контрольной культурой интактных CD4+-лимфоцитов (Контроль). Для соотношения CD4+-лимфоцитов к *E. coli* (1:50) относительное количество CD4+CD25+FoxP3+ клеток в культурах составило  $0,59\pm0,07$  %, а для соотношения CD4+-лимфоцитов к *E. coli* (1:50) совместно с антителами к CD3 и CD28 относительное количество CD4+CD25+FoxP3+ клеток в культурах составило  $0,22\pm0,12$  % от всех CD4+-лимфоцитов.

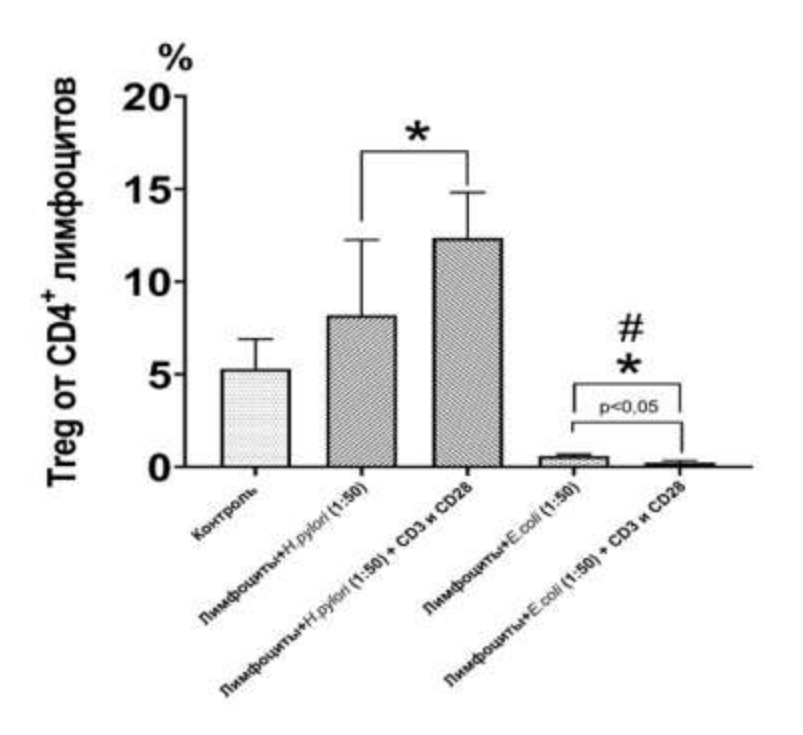


Рисунок 9 — Относительное количество клеток (%) фенотипа  $CD4^+CD25^+FoxP3^+$  (Treg) в культурах  $CD4^+$ -лимфоцитов после добавления  $H.\ pylori\ u\ E.\ coli$ 

Примечание: Контроль − CD4+-лимфоциты; 1:50 − соотношение количества CD4+-лимфоцитов к количеству клеток *H. pylori* или *E. coli* + антитела к CD3 и CD28; \* (p < 0.05) − достоверно значимые отличия от Контроль; # − достоверно значимые отличия от Лимфоциты+ *H. pylori* (1:50) и Лимфоциты+ *H. pylori* (1:50) + CD3 и CD28.

Мы получили результаты, согласно которым *E. coli*, в отличие от *H. pylori*, не индуцировала активацию T-reg клеток в культурах лимфоцитов, а также препятствовала стимулирующему действию антител. Таким образом, полученные данные свидетельствуют о том, что стимулирующее дифференцировку T-reg клеток влияние является свойством именно *H. pylori* и, по всей видимости, не опосредуется паттернами патогенов, сходными у *H. pylori* и *E. coli* – подвижных грамотрицательных микроорганизмов.

Полученные в целом результаты свидетельствуют о том, что совместное культивирование H. pylori с CD4+ Т-лимфоцитами в модели in vitro вызывало популяционные изменения, которые можно обозначить как поляризацию в сторону супрессорных и провоспалительных клеток с повышенной продукцией соответствующих цитокинов без проявлений возможных аутоиммунных сдвигов в сторону Th17 клеток. При этом в супернатантах клеточных культур наблюдалось повышение IFN-γ, который достоверное является маркером развития провоспалительного Th1 иммунного ответа, а содержание CD4+CD161+ (Th17) клеток не менялось на фоне достоверного повышения в культурах количества CD4+CD25+FoxP3 лимфоцитов и повышенной концентрации в супернатантах клеточных культур супрессорного цитокина IL-10. По всей видимости, в условиях данного эксперимента воздействие *H. pylori* затрагивало клетки, исходно коммитированные к развитию в сторону Treg, так как поликлональная стимуляция антителами к CD28 и CD3 «поглощала» эффект от введения бактерий: культуры, стимулированные только антителами, а также антителами одновременно с H. pylori, достоверно не отличались по содержанию Treg клеток. В то же время полученные данные об увеличении содержания клеток, содержащих транскрипционный фактор, характерный для регуляторных Т-хелперов, и концентрации анализируемых цитокинов в условиях данного эксперимента не исключают тот факт, что выделенная культура лимфоцитов могла содержать эффекторные Т-клетки памяти, для активации которых и синтеза указанных цитокинов достаточно краткосрочной 18–24 часовой инкубации.

3.2 – Сравнительный анализ клеточного и гуморального иммунитета у больных хроническим гастритом, инфицированных и не инфицированных *Helicobacter pylori* 

# 3.2.1 – Содержание Th17 и экспрессия мРНК IL-17A в крови больных хроническим гастритом

Как следует из материалов предыдущего раздела, эксперименты по совместному культивированию *H. pylori* с Т-клетками человека в условиях *in vitro* продемонстрировали достоверный прирост популяции Treg клеток и достоверное повышение характерного для Th1 клеток IFN- $\gamma$ , но не позволили обнаружить популяционных сдвигов в сторону Th17 клеток. Это свидетельствует о поляризации популяционного состава клеток под влиянием *H. pylori*, с одной стороны, в направлении Treg и, с другой стороны, в направлении Th1, и является реакцией, характерной для развития хронического воспаления.

На последующем этапе работы мы провели сравнительный анализ состояния клеточного и гуморального иммунитета у пациентов с хроническим гастритом, инфицированных и не инфицированных *H. pylori*.

Для решения цели и задач работы в крови больных хроническим гастритом определяли относительное количество клеток фенотипа CD4+CD161+ (Th17), а также уровень мРНК ІС-17А. Было показано, что медиана относительного количества CD4+CD161+-клеток в крови лиц с *H. pylori*-ассоциированным хроническим гастритом (основная группа) составила 9,94 [8,52–12,06] % от всех  $CD4^+$ -лимфоцитов (*Pucyнoк 10A*). В то же время в крови лиц с *H. pylori*-не ассоциированным хроническим гастритом (группа сравнения) медиана относительного количества CD4+CD161+-клеток составила 9,38 [7,46-11,25] %. Достоверно значимых различий в количестве Th17 клеток в крови больных хроническим гастритом, инфицированных и не инфицированных *H. pylori*, выявлено не было (р=0,495).

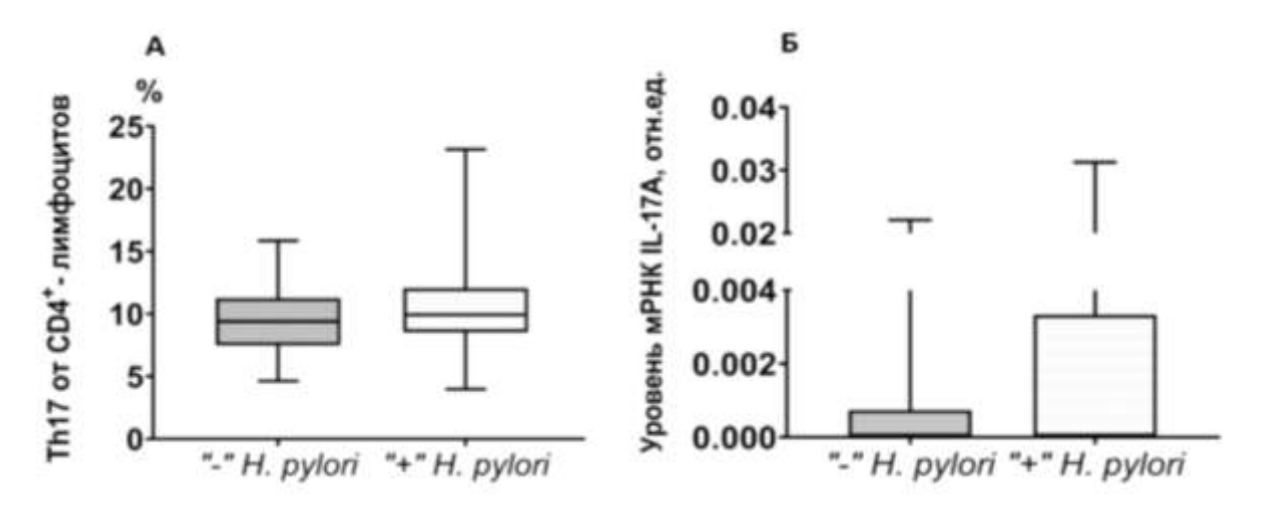


Рисунок 10 – (A) Относительное количество клеток фенотипа CD4<sup>+</sup>CD161<sup>+</sup> (Th17) и (Б) относительный уровень мРНК IL-17A в периферической крови больных хроническим гастритом

*Примечание: «-» Н. руюті* – группа сравнения; *«+» Н. руюті* – основная группа.

Наряду с цитофлуориметрическим анализом содержания CD4+CD161+клеток в крови больных хроническим гастритом определяли относительный уровень мРНК IL-17A по отношению к референсному гену «домашнего хозяйства» YWHAZ и не обнаружили достоверных различий (p=0,492) между инфицированными и неинфицированными *H. pylori* больными (*Pucyнок* 10*Б*).

Согласно полученным результатам, относительное количество CD4+CD161+клеток у больных хроническим гастритом вне зависимости от H. pylori-статуса было практически одинаковым и не превышало 12 % от всех CD4+-лимфоцитов периферической крови. В то же время коллектив авторов под руководством А.П. Топтыгиной Th17 продемонстрировал, что содержание (CD3+CD4+CD161+CD45R0+) клеток в крови здоровых доноров находится в пределах 10-21 % от всех CD3+CD4+-лимфоцитов [6]. То есть *H. pylori*-инфекция, согласно полученным нами данным, не индуцировала чрезмерный провоспалительный Th17 ответ, который мог бы привести к развитию аутоиммунных реакций, поскольку содержание CD4+CD161+-клеток у лиц с *H. pylori*-хроническим гастритом не превышало представленные в литературе контрольные показатели. Не было обнаружено также различий в уровне мРНК

гена, кодирующего IL-17A, среди *H. pylori*-инфицированных и *H. pylori*-не инфицированных больных хроническим гастритом.

Стоит отметить, что встречающиеся в литературе результаты исследований носят противоречивый характер. Поскольку одни авторы продемонстрировали, что уровни Th17 и мРНК IL-17A в слизистой оболочке желудка больных как с *H. pylori*инфекцией, так и без нее не различались между собой [226]. Другие исследователи, наоборот, обнаружили, что уровень мРНК ІС-17А в слизистой оболочке желудка и экспрессия IL-17A в сыворотке крови пациентов с хроническим *H. pylori*ассоциированным гастритом достоверно выше в сравнении с лицами, у которых диагностировался гастрит, но отсутствовала *H. pylori*-инфекция [227; 331]. Вполне вероятно, что *H. pylori* может индуцировать повышение как Th17 клеток, так и мРНК IL-17A, как в желудке, так и в периферической крови пациентов с различными желудочными заболеваниями. По всей видимости, это может быть связано с присутствием у лиц, инфицированных *H. pylori*, наиболее вирулентных штаммов возбудителя, поскольку из литературы известно, что специфические белки *H. pylori*, включая несколько факторов вирулентности (UreB, CagA), оказывают влияние на Т-клеточный ответ, смещая его в сторону повышения Th17клеток как *in vivo*, так и *in vitro* [192]. Однако в настоящей работе мы не изучали характеристики штаммов *H. pylori*, циркулирующих среди пациентов с диагнозом «хронический гастрит». Подобное исследование может служить развитием настоящей работы и предполагается к проведению в дальнейшем.

Таким образом, можно предположить, что большинство больных хроническим гастритом в нашем исследовании являлись носителями менее агрессивных штаммов *H. pylori*, что может объяснять отсутствие повышения содержания в периферической крови клеток фенотипа CD4+CD161+ (Th17).

# 3.2.2 — Содержание Treg и экспрессия мРНК FoxP3 в крови больных хроническим гастритом

В экспериментах *in vitro* нами было обнаружено, что сокультивирование CD4+ Т-лимфоцитов периферической крови условно здоровых доноров с

различными концентрациями бактериальных суспензий *H. pylori* приводило к увеличению популяции Treg. В то же время, согласно данным литературы, несколько групп исследователей обнаружили повышенное содержание Treg клеток и мРНК FoxP3 в слизистой оболочке желудка лиц, инфицированных *H. pylori*. Авторы также отметили, что эрадикационная терапия приводила к значительному снижению количества Treg клеток в слизистой оболочке желудка [122; 194; 232]. По-видимому, местный Treg-ответ участвует в защите от чрезмерного воспаления и повреждения тканей.

Для оценки изменений в содержании Treg и мРНК FoxP3 на системном провели сравнительное определение данных показателей периферической крови больных хроническим гастритом, инфицированных и не инфицированных *H. pylori*. Наше исследование показало, что *H. pylori*-инфекция среди больных хроническим гастритом не увеличивала количество Treg клеток и мРНК FoxP3 выше исходного уровня, наблюдаемого у пациентов группы сравнения. Медиана относительного количества клеток фенотипа CD4+FoxP3+ (Treg) в крови больных основной группы и группы сравнения составила 2,36[1,34— 4,69] % и 2,31 [1,87–4,74] % от всех CD4+-лимфоцитов (*Рисунок 11 A*). Достоверных различий между группами обнаружено не было (p=0,706). В то же время относительный уровень мРНК гена, кодирующего FoxP3, для основной группы и сравнения составил 0,017 [0,010-0,024]И 0,025 [0,012-0,046]группы относительных единиц по отношению к референсному гену «домашнего хозяйства» YWHAZ (Рисунок 11Б). Достоверных различий в экспрессии мРНК FoxP3 между группами также обнаружено не было (р=0,207), что соответствует результатам цитофлуориметрического анализа.

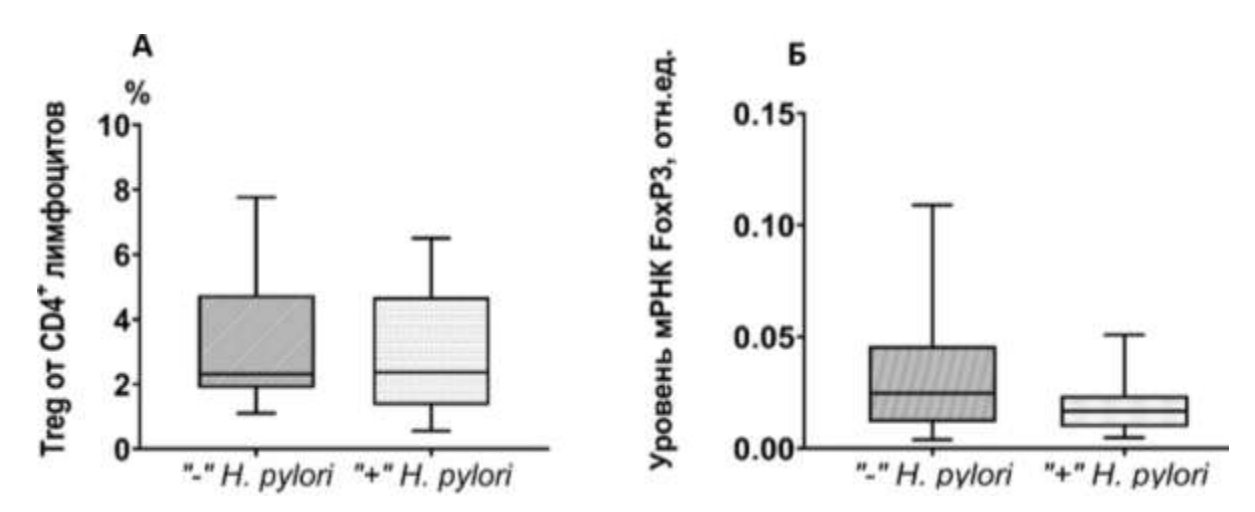


Рисунок 11 – (A) Относительное количество клеток фенотипа CD4<sup>+</sup>FoxP3<sup>+</sup> (Treg) и (Б) относительный уровень мРНК FoxP3 в периферической крови лиц с хроническим гастритом

Примечание: «-» H. pylori – группа сравнения; «+» H. pylori – основная группа.

Таким образом, мы получили данные, согласно которым содержание Treg y больных хроническим гастритом, вне зависимости от *H. pylori*-статуса, было практически одинаковым и не превышало 5 % от всех СD4+-лимфоцитов периферической крови, что соответствует нормальному содержанию Treg в крови условно здоровых доноров [12]. Заметим, что результаты, полученные нами ранее о повышенном уровне Treg в условиях in vitro, возможно являются следствием пластичности фенотипических И функциональных свойств проявления лимфоцитов при воздействии таких инфекционных агентов как *H. pylori*. Однако *in* vivo эти изменения в наших исследованиях не проявлялись. Системный иммунитет обычно является отдаленным результатом событий, происходящих в тканях, и имеет собственный алгоритм проявления реакций на нарушения гомеостаза инфекционного, аутоиммунного или какого-либо иного характера [232; 235].

# 3.2.3 – Содержание IL-2 и IL-23 в плазме крови больных хроническим гастритом

Развитие и течение хронического воспаления в слизистой оболочке желудка связывают с провоспалительными цитокинами, продукция которых индуцируется в ответ на *H. pylori*-инфекцию. Повышение содержания провоспалительных цитокинов в периферической крови и других биологических средах при

хронических заболеваниях желудка имеет важное прогностическое значение, так как позволяет судить об активности иммунных и воспалительных процессов, а также прогрессировании заболевания [2]. К основным провоспалительным цитокинам Th1 клеток относят IFN-у и IL-2. В предыдущей части работы мы обнаружили повышение концентрации IFN-у в супернатантах клеточных культур при совместном культивировании CD4+-лимфоцитов человека с *H. pylori* в условиях *in vitro*. В то же время в литературе имеются данные, подтверждающие, что в сыворотке крови больных хроническим *H. pylori*-ассоциированным гастритом обнаруживалось повышение IFN-у в 1,5 раза в сравнении с лицами, у которых диагностировался гастрит, но отсутствовала *H. pylori*-инфекция, а также в сравнении с группой условно здоровых доноров [22]. Другой цитокин Th1 клеток - IL-2 играет центральную роль в регуляции клеточного иммунитета, поскольку является важнейшим фактором роста для всех субпопуляций Т-лимфоцитов и необходим для их пролиферации и дифференцировки [246]. Важная роль IL-2 связана с формированием пула Treg, регулирующих функцию Т-хелперов. IL-2 необходим для активации Treg и поддержания их количества [6]. В то же время при отсутствии IL-2 наблюдается глубокий дефицит Т-регуляторных приводящий к развитию аутоиммунных заболеваний [243; 278].

В крови больных хроническим гастритом мы определяли концентрацию IL-2 и обнаружили, что у всех лиц вне зависимости от *H. pylori*-статуса концентрация данного цитокина была выше нормы (до 10 пг/мл). В то же время у лиц основной группы (с *H. pylori*-инфекцией) медиана содержания IL-2 составила 18,11 [17,67—19,34] пг/мл и была достоверно выше относительно группы сравнения (без *H. pylori*-инфекции) 16,86 [16,21–17,28] пг/мл (*Pucyнок 12*).

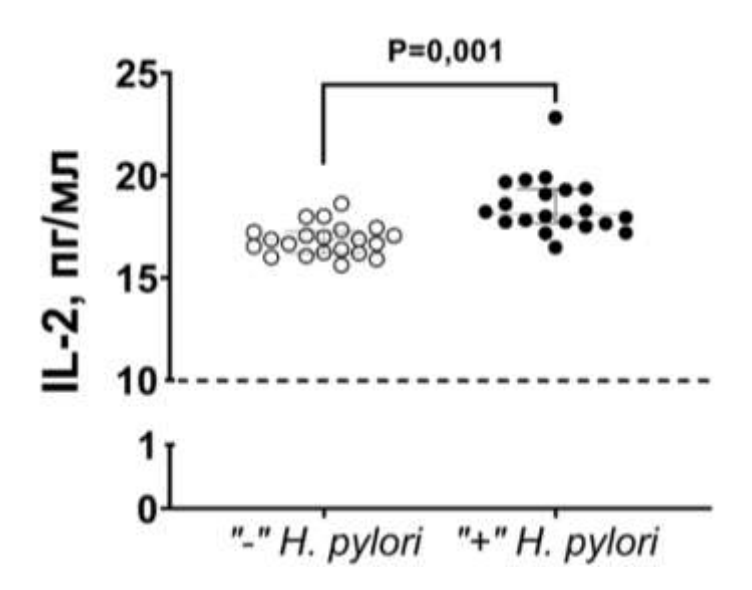


Рисунок 12 – Концентрация IL-2 в плазме крови больных хроническим гастритом

*Примечание: «-» Н. руlori* – группа сравнения; *«+» Н. руlori* – основная группа; р = 0,001 – достоверно значимые отличия; ----- граница нормы.

Результаты наших исследований хорошо согласуются с результатами, представленными в работах разных авторов, исследовавших уровень IL-2 в крови больных хроническим гастритом. В исследовании Л.В. Матвеевой и соавт. [14] показано, что у всех больных с обострением хронического гастрита в сыворотке крови отмечается повышение уровня IL-2 в сравнении с группой здоровых лиц. А.А. Синяков и соавт. [21] продемонстрировали, что у больных хроническим гастритом на фоне *H. pylori*-инфекции наблюдалось повышение содержания IL-2 больше, чем в 10 раз по сравнению с группой здоровых лиц.

Необходимо отметить, что в нашем исследовании обнаружена повышенная экспрессия IL-2 у всех пациентов с хроническим гастритом, однако концентрация этого цитокина была достоверно выше у больных, инфицированных *H. pylori* в сравнении с неинфицированными пациентами. Увеличение концентрации IL-2 у всех лиц с хроническим гастритом, по-видимому, связано с активным воспалительным процессом, происходящим в слизистой оболочке желудка.

В литературе имеются данные, свидетельствующие о том, что дендритные клетки в ответ на *H. pylori*-инфекцию способны продуцировать повышенные уровни провоспалительного цитокина IL-23 [83; 185; 209]. Ранее считалось, что IL-

23 инициирует образование Th17 [31], однако результаты последних исследований показали, что данный цитокин участвует в поддержании функциональной активности уже дифференцированных Th17, так как рецепторы к нему (IL-23R) экспрессируются только на активированных клетках [202; 225]. В то же время сверхэкспрессия IL-23 может рассматриваться в качестве потенциального маркера для диагностики заболеваний, ассоциированных как с желудочно-кишечным трактом, так и с аутоиммунитетом [306; 362].

В рамках настоящей работы в крови больных хроническим гастритом определяли концентрацию IL-23 и обнаружили, что у всех лиц вне зависимости от *H. pylori*-статуса концентрация данного цитокина была выше нормы (до 44 пг/мл). В то же время у больных основной группы (с *H. pylori*-инфекцией) медиана содержания IL-23 составила 208,9 [164,4–12,3] пг/мл и была достоверно выше относительно группы сравнения (без *H. pylori*-инфекции) 146,2 [128,3–179,9] пг/мл (*Рисунок 13*).

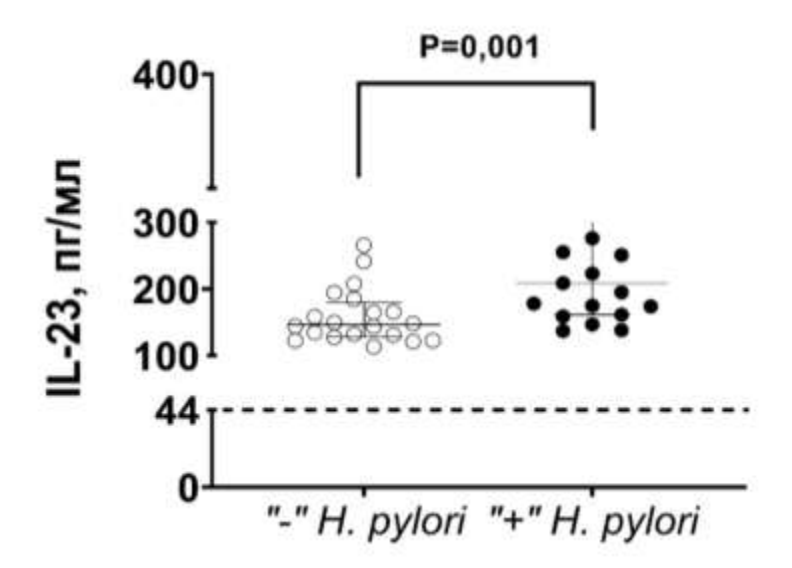


Рисунок 13 – Концентрация IL-23 в плазме крови больных хроническим гастритом

Примечание: «-» H. pylori – группа сравнения; <math>«+» H. pylori – основная группа; p = 0.001 – достоверно значимые отличия; ----- – граница нормы.

Необходимо отметить, что V. Koussoulas и соавт. [210], изучая роль слизистой оболочки желудка в секреции IL-23 при хроническом гастрите, продемонстрировали, что уровень данного цитокина в образцах тканей *H. pylori*-

положительных больных был выше, чем у *H. pylori*-отрицательных пациентов, что согласуется с результатами, полученными нами. В то же время в соответствии с нашими результатами повышенный уровень IL-23 наблюдался на фоне нормального содержания в крови больных Th17 клеток и мРНК IL-17A.

То есть, несмотря на повышение концентрации IL-23 в крови больных хроническим гастритом, мы не выявили изменений в количественном и функциональном состоянии популяции Th17 клеток, ассоциированных с аутоиммунными процессами. Тем не менее, вероятное участие IL-23 в регуляции хронического воспаления слизистой оболочки желудка при разбалансированности иммунных процессов и изменении статуса Th17 звена потенциально может привести к аутоиммунным реакциям.

# 3.2.4 — Содержание TNF-а и экспрессия мРНК TNF-а в крови больных хроническим гастритом

В крови больных хроническим гастритом, инфицированных и не инфицированных H. pylori, мы определяли содержание фактора некроза опухолиальфа (TNF- $\alpha$ ) и экспрессию мРНК TNF- $\alpha$ .

Фактор некроза опухоли альфа представляет собой плейотропный провоспалительный цитокин, ответственный за активацию иммунной системы при инфекционных процессах [299; 312]. Вырабатывается ТNF-α моноцитами, макрофагами, лимфоцитами и эндотелиальной выстилкой сосудов [349]. В очаге воспаления TNF-α запускает цитокиновый каскад, увеличивая выработку IL-1, IL-2, IL-6, IL-8, IFN-γ и хемокинов разными типами клеток [1]. Показано, что чрезмерная продукция этого цитокина связана с хроническим воспалением и в конечном итоге может привести к развитию аутоиммунных заболеваний [49; 341].

В крови больных хроническим гастритом мы определяли концентрацию TNF-α и уровень мРНК TNF-α. Было показано, что у всех лиц вне зависимости от *H. pylori*-статуса концентрация TNF-α была выше нормы (до 6 пг/мл). У лиц основной группы (с *H. pylori*-инфекцией) медиана содержания TNF-α составила

15,04 [7,64–114,00] пг/мл и достоверно не отличалась от таковой (11,34 [7,59–86,67]) пг/мл в группе сравнения (без *H. pylori*-инфекции) (р=0,734) (*Pucyнок 14*).

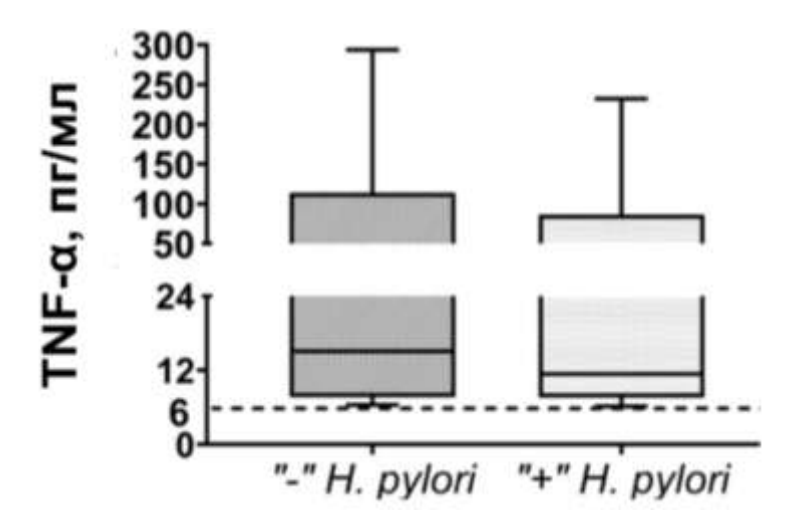


Рисунок 14 – Концентрация TNF-α в периферической крови больных хроническим гастритом

*Примечание: «-» Н. руlori* – группа сравнения; *«+» Н. руlori* – основная группа; ----- граница нормы.

Наряду с иммуноферментным анализом содержания фактора некроза опухоли-альфа с помощью ОТ-ПЦР в реальном времени был определен относительный уровень мРНК гена, кодирующего ТNF-α. Для больных основной группы он составил 0,082 [0,036–0,144], а для группы сравнения 0,058 [0,022–0,117] относительных единиц. Достоверных различий в экспрессии мРНК TNF-α между группами не наблюдалось (p=0,415), что согласуется с результатами иммуноферментного анализа (*Рисунок 15*).

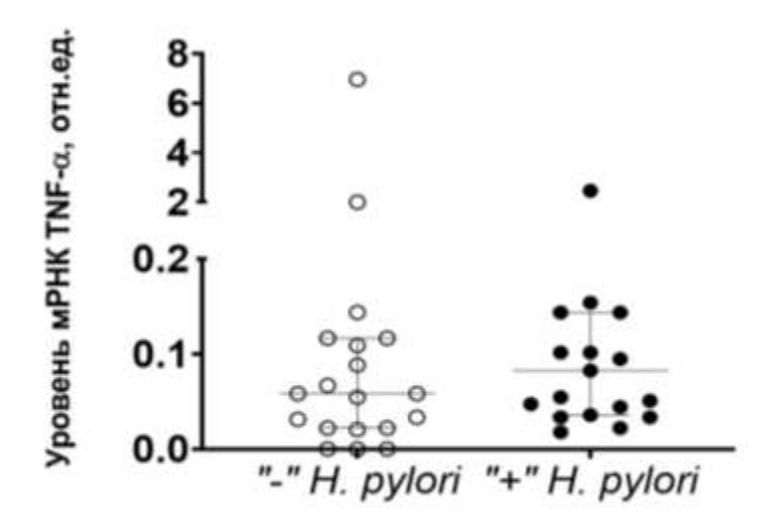


Рисунок 15 – Уровень мРНК TNF-α относительно мРНК YWHAZ в крови больных хроническим гастритом

Примечание: «-» H. pylori – группа сравнения; «+» H. pylori – основная группа; YWHAZ – Tyrosine 3-monooxygenase/tryptophan 5-monooxygenase activation protein zeta (активационный белок тирозин 3-монооксигеназы/триптофан 5-монооксигеназы зета).

Л.В. Матвеева и соавт. [15], также продемонстрировали, что у больных хроническим гастритом содержание TNF-α в сыворотке крови было значительно выше в сравнении с группой условно здоровых лиц. В то же время авторы обнаружили, что уровень TNF-α коррелировал со стадией атрофии, степенью воспаления, обсемененности слизистой оболочки желудка *Н. руlori*. Мы, в свою очередь, обнаружили повышенную экспрессию TNF-α у всех лиц с хроническим гастритом вне зависимости от *Н. руlori*-статуса. Отсутствие различий в содержании TNF-α и кодирующей его мРНК между инфицированными и неинфицированными *Н. руlori* больными хроническим гастритом на фоне повышенной концентрации IL-23 указывает, с одной стороны, на участие этого цитокина в развитии воспалительных процессов у больных хроническим гастритом независимо от инфицирования *Н. руlori*, а с другой стороны, позволяет предположить возможную связь между его уровнем и скрытыми механизмами развития аутоиммунных процессов, в том числе механизмами продукции аутоантител.

# 3.2.5 – Уровень аутоантител к ssДНК и dsДНК класса IgG в крови больных хроническим гастритом

Заключительный раздел диссертационной работы был направлен на анализ содержания маркеров наиболее распространенных сравнительный хроническим аутоиммунных заболеваний в крови больных инфицированных и не инфицированных *H. pylori*. Для этого были выбраны используемые в здравоохранении маркеры системной красной волчанки, антифосфолипидного синдрома, ревматоидного артрита тиреоидных аутоиммунных заболеваний. Среди наиболее распространенных аутоиммунных патологий в группу лидеров входит системная красная волчанка (СКВ) – заболевание, характеризующееся аномальной активностью иммунной системы и приводящее к поражению множества систем и органов [108]. Важное диагностическое и прогностическое значение при СКВ еще до появления клинических признаков обострения заболевания имеет определение уровня аутоантител против одноцепочечной и двухцепочечной ДНК (анти-ssДНК и антиdsДНК). В литературе приводятся неоднозначные и противоречивые данные, касающиеся способности *H. pylori* выступать в качестве триггера в развитии аутоиммунных заболеваний, ассоциированных с СКВ. Есть популяционные исследования, результаты которых указывают на повышенную частоту встречаемости *H. pylori* у больных системной красной волчанкой, но есть и исследования, представляющие прямо противоположные результаты [174; 184; 211; 214; 285]. Работы, в которых исследовался уровень анти-ssДНК и анти-dsДНК в крови больных хроническим гастритом, в доступной литературе мы не встретили. В связи с этим мы исследовали уровень и частоту встречаемости данных аутоантител в крови больных хроническим гастритом. Было обнаружено, что медиана содержания анти-ssДНК и анти-dsДНК была вдвое ниже показателя верхней границы нормы (до 20 Ед/мл). Для лиц основной группы (с H. pyloriинфекцией) она составила 8,87 [7,57–12,71] и 6,34 [5,38–7,20] Ед/мл, а для лиц из группы сравнения (без *H. pylori*-инфекции) – 9,82 [7,25–15,95] и 6,73 [5,83–

9,26] Ед/мл (*Рисунок 16*). Достоверных различий в содержании анти-ssДНК и анти-dsДНК между группами выявлено не было.

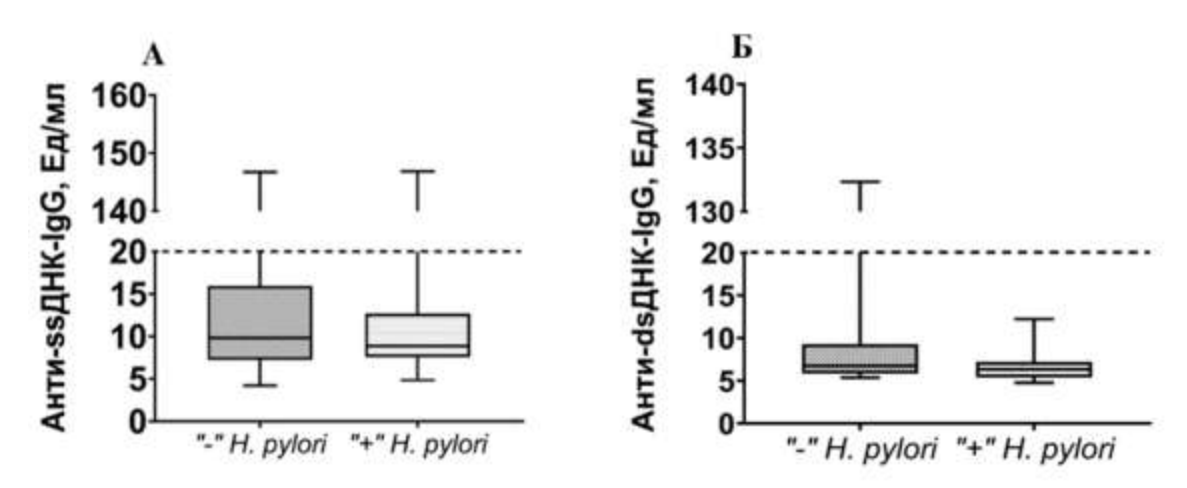


Рисунок 16 – Уровень (A) анти-ssДНК-IgG и (Б) анти-dsДНК-IgG в крови больных хроническим гастритом

*Примечание: «-» Н. руюті* – группа сравнения; *«+» Н. руюті* – основная группа; ----- – граница нормы.

У больных с *Н. руlori*-инфекцией (n=90) и без *Н. руlori*-инфекции (n=90) уровень анти-ssДНК превышал показатели нормы у 12 (13,3 %) и 15 (16,6 %) человек соответственно. В то же время уровень анти-dsДНК у всех больных с хроническим гастритом и *Н. руlori*-инфекцией был в пределах нормы, и только у одного больного без *Н. руlori*-инфекции был выше показателя нормы.

Таким образом, мы получили результаты, согласно которым штаммы *H. pylori*, инфицировавшие тестированных нами пациентов с хроническим гастритом, не вызывали повышенную продукцию аутоантител против ssДНК и dsДНК, и, как следствие, не участвовали в инициации аутоиммунных реакций, ассоциированных с системной красной волчанкой.

Несмотря на имеющиеся в литературе сообщения, демонстрирующие потенциальную роль *H. pylori* выступать в качестве триггера в развитии аутоиммунных заболеваний, необходимо также отметить, что М. Versini и соавт. [354] выдвинули гигиеническую гипотезу, согласно которой инфекция *H. pylori* может также оказывать иммуномодулирующее действие на иммунную систему, что приводит к защитному эффекту от иммуноопосредованных состояний. В то же

время А.Н. Sawalha и соавт. [53] провели масштабное исследование, в котором обнаружили, что частота инфицирования *H. pylori* у афроамериканских женщин с СКВ была достоверно ниже (38,1 %), чем в контрольной группе условно здоровых лиц (60,2 %). Авторы пришли к выводу, что инфицирование *H. pylori* может оказывать протективное действие в отношении патологических процессов, связанных с СКВ.

# 3.2.6 – Уровень аутоантител к β-2-гликопротеину I класса IgM и IgG в крови больных хроническим гастритом

Системная красная волчанка может быть ассоциирована c антифосфолипидным синдромом (АФС), при котором происходит поражение мембран клеток антифосфолипидными антителами (АФА), что приводит к образованию венозных и артериальных тромбозов. АФА определяются у 50 % больных с СКВ и в 5-20 % случаев при других заболеваниях соединительной ткани [50; 237; 288; 328]. Важным лабораторным показателем при постановке АФС I (anti-beta-2является определение аутоантител К β-2-гликопротеину Glycoprotein I) [228]. Было высказано предположение, что некоторые инфекционные агенты способны индуцировать выработку аутоантител против β-2гликопротеина I, тем самым способствуя развитию АФС [62; 219]. Cicconi V. с соавт. [106] предположили, что АФС может быть ассоциирован с хеликобактерной инфекцией. По их мнению, *H. pylori* может выступать в качестве специфического индуктора в образовании антифосфолипидных антител путем хронической активации провоспалительных клеток и высвобождаемых ими цитокинов. Основой для аутоиммунной реакции, индуцированной *H. pylori*, может быть образование перекрестно реагирующих антител между структурными компонентами *H. pylori* и некоторыми фосфолипидами клеточных мембран. В своей работе мы исследовали уровень и частоту встречаемости anti-β-2-Glycoprotein I IgM и anti-β-2-Glycoprotein I IgG в крови больных хроническим гастритом. Было показано, что вне зависимости от *H. pylori*-статуса медиана уровня данных антител сохранялась в пределах нормы (до 8 Ед/мл). У больных основной группы (с *H. pylori*-инфекцией) медиана уровня anti-β-2-Glycoprotein I IgM и anti-β-2-Glycoprotein I IgG составила 3,98 [3,77–5,05]

и 5,18 [4,98–5,57] Ед/мл, а для группы сравнения (без *H. pylori*-инфекции) – 4,92 [4,03–6,16] и 5,92 [5,44–6,16] Ед/мл соответственно (*Рисунок 17*).

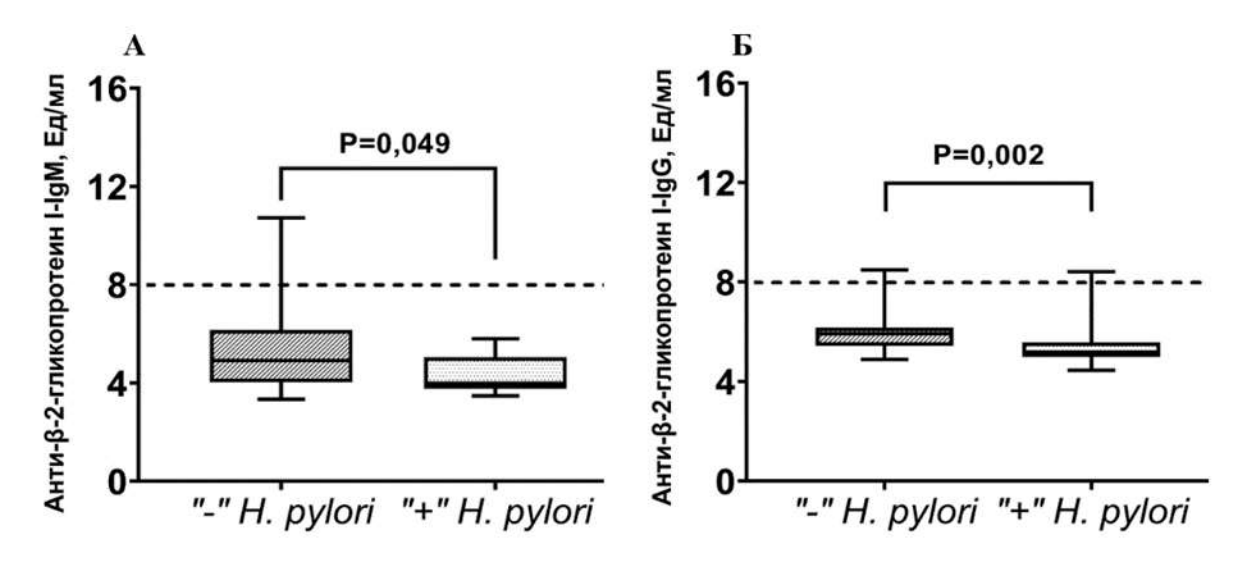


Рисунок 17 — Уровень (A) анти-β-2-гликопротеин I-IgM и (Б) анти-β-2-гликопротеин I-IgG в крови больных хроническим гастритом

*Примечание: «-» Н. руюті* – группа сравнения; *«+» Н. руюті* – основная группа; ----- – граница нормы.

При этом неожиданным фактом явилось то, что у пациентов основной группы (*H. pylori*-положительные) уровень anti-β-2-Glycoprotein I IgM/IgG был достоверно ниже, чем у пациентов группы сравнения (p=0,049 и p=0,002) соответственно. Ни у одного из 20 тестированных *H. pylori*-положительных больных не регистрировался уровень аутоантител к β-2-гликопротеину I класса IgM выше нормы. В группе сравнения (без *H. pylori*-инфекции) было двое таких больных. Повышенный уровень аутоантител к β-2-гликопротеину I класса IgG обнаруживался у одного из 20 *H. pylori*-положительных больных и у одного из *H. pylori*-отрицательных больных. То есть различий в частоте выявления больных с повышенным уровнем anti-β-2-Glycoprotein I IgM и anti-β-2-Glycoprotein I gG антител не выявлено.

Наши данные согласуются с результатами, полученными М. Ram и соавт. [184], которые определяли широкий спектр аутоантител в крови больных с различными аутоиммунными заболеваниями, включая и антифосфолипидный синдром, и продемонстрировали, что уровень аутоантител к β-2-гликопротеину I

класса IgG у лиц с *H. pylori*-инфекцией был достоверно ниже по сравнению с лицами, у которых *H. pylori*-инфекция отсутствовала. В то же время уровень аутоантител к β-2-гликопротеину I класса IgM среди инфицированных и не инфицированных *H. pylori* больных не различался. М. Ram и соавт. [184] рассматривают полученные результаты как свидетельство того, что *H. pylori*-инфекция может выступать не в качестве инициатора, а в качестве защитного фактора в развитии АФС, ассоциированного с СКВ. Таким образом, полученные нами данные об уровне в крови больных хроническим гастритом основной группы ассоциированных с АФС аутоиммунных маркеров (аутоантител к β-2-гликопротеину I класса IgG и IgM) также не подтверждают роли *H. pylori* в развитии у больных системной красной волчанкой и других аутоиммунных заболеваний соединительной ткани.

# 3.2.7 – Уровень ревматоидного фактора в крови больных хроническим гастритом

К аутоиммунному заболеванию, которое характеризуется хроническим воспалением синовиальной оболочки, повреждением суставного хряща и околосуставной кости, относят ревматоидный артрит (РА) [41]. Причины и условия возникновения ревматоидного артрита до сих пор остаются неизвестными, а связь инфекции *H. pylori* с патогенезом PA является дискуссионной и спорной [220; 233; 284; 285; 291]. Одним из обязательных тестов для диагностики РА, согласно rheumatism/American College European league against of Rheumatology (EULAR/ACR), является определение ревматоидного фактора (РФ) [28]. Результаты популяционных исследований по оценке уровня ревматоидного фактора, проведенных на разных территориях, не позволили получить однозначные результаты о связи *H. pylori* с ревматоидным артритом. Для больных хроническим гастритом данных о частоте встречаемости и уровне РФ в зависимости от инфицированности *H. pylori* в доступной литературе мы не обнаружили. В связи с этим одной из задач явилось определение уровня ревматоидного фактора В крови больных хроническим гастритом, инфицированных и не инфицированных *H. pylori*.

Обнаружено, что у лиц с хроническим гастритом вне зависимости от *H. pylori*-статуса медиана уровня РФ находилась в пределах нормы (до 20 Ед/мл). У лиц основной группы (с *H. pylori*-инфекцией) она составила 4,83 [2,53–6,52] Ед/мл, а для лиц из группы сравнения (без *H. pylori*-инфекции) – 4,33 [2,10–6,20] Ед/мл соответственно (*Рисунок 18*).

Среди пациентов основной группы (90 лиц, инфицированных *H. pylori*) только у 5 больных уровень ревматоидного фактора был выше нормы. Из тестированных больных группы сравнения (90 лиц, не инфицированных *H. pylori*) уровень ревматоидного фактора в крови был повышен у 2 человек. Достоверно значимых различий в значениях медианы уровня РФ и в частоте выявления повышенных уровней РФ между группами выявлено не было (p=0,538).

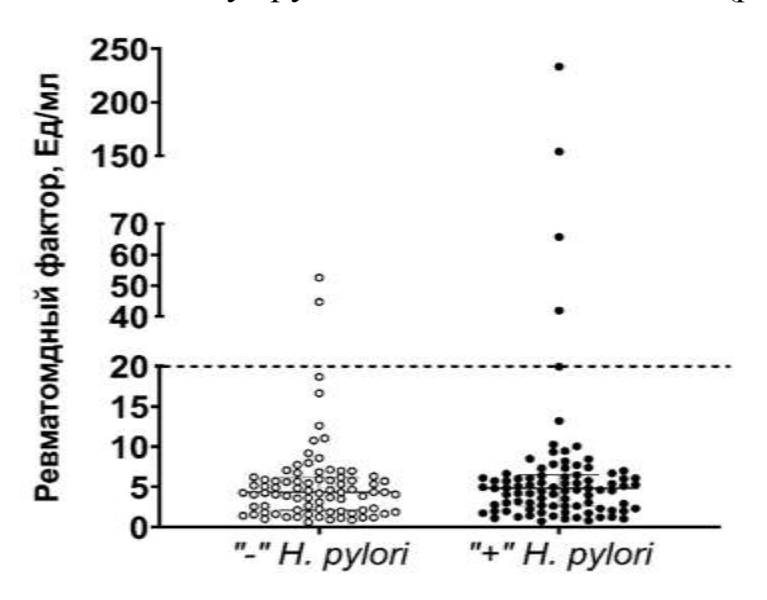


Рисунок 18 — Уровень ревматоидного фактора в крови больных хроническим гастритом

*Примечание: «-» Н. руюті* — группа сравнения; *«+» Н. руюті* — основная группа; ----- – граница нормы.

Ранее Z. Shariaty и соавт. [308] также продемонстрировали, что уровень аутоантител против РФ у лиц с ревматоидным артритом и *H. pylori*-инфекцией достоверно значимо не отличался от уровня вышеуказанных аутоантител у больных ревматоидным артритом, у которых отсутствовала *H. pylori*-инфекция. Наши данные соответствуют этим результатам.

Отдельными авторами высказываются предположения, что штаммы *H. pylori*, несущие фактор патогенности CagA, наиболее эффективно могут быть вовлечены в развитие воспаления, которое, в свою очередь, при определенных обстоятельствах способно привести к аутоиммунным реакциям [18; 220]. Наши данные не противоречат такому предположению. Из литературы известно, что в среднем около 50 % всех штаммов *H. pylori* являются CagA-положительными. Мы не определяли CagA статус штаммов *H. pylori*, инфицировавших тестированных больных хроническим гастритом. Однако, исходя из литературных данных о распространенности этого фактора вирулентности, следует, что часть нашей когорты больных хроническим гастритом также могла быть инфицирована CagA-положительными штаммами *H. pylori*.

# 3.2.8 – Уровень аутоантител к тиреоглобулину и тиреопероксидазе в крови больных хроническим гастритом

Существует достаточно сложная и неоднозначная картина относительно возможной связи между инфекцией *H. pylori* и аутоиммунными заболеваниями щитовидной железы. В литературе встречаются сообщения, которые, также как и для ряда других заболеваний, с одной стороны, подтверждают эту связь, ас другой стороны, ее отрицают [59; 167; 168; 172; 175; 230; 329; 336]. Поскольку H. pyloriинфекция широко распространена среди лиц с хроническим гастритом, а ее роль в развитии аутоиммунных заболеваний, ассоциированных с щитовидной железой, неоднозначна, мы исследовали способность данного инфектанта индуцировать у больных хроническим гастритом выработку аутоантител, реагирующих с некоторыми компонентами щитовидной железы. Для диагностики тиреоидных аутоиммунных заболеваний использовали определение уровня аутоантител к тиреоглобулину (анти-ТГ) и тиреопероксидазе (анти-ТПО), которые, по данным литературы, участвуют в патогенезе тиреоидита Хашимото [55]. Воздействуя на тиреоциты, данные аутоантитела вызывают деструктивную трансформацию в клетках щитовидной железы, в результате чего происходит снижение выработки тиреоидных гормонов, повышение образования тиреотропного гормона (ТТГ) и

развитие гипотиреоза [47].

Было показано, что у большинства лиц с хроническим гастритом вне зависимости от *H. pylori*-статуса уровень аутоантител против тиреоглобулина и тиреопероксидазы был в пределах нормы (до 100 Ед/мл для анти-ТГ и до 30 Ед/мл для анти-ТПО). Медиана содержания анти-ТГ и анти-ТПО у лиц основной группы (с *H. pylori*-инфекцией) составила 51,15 [42,41–64,12] и 18,41 [16,14–23,54] Ед/мл, а для группы сравнения (без *H. pylori*-инфекции) – 38,80 [36,53–43,18] и 16,50 [14,68–20,36] Ед/мл соответственно (*Pucyнок 19*). Вполне вероятно, что как в основной группе, так и в группе сравнения есть пациенты с тиреоидитом Хашимото и повышенным уровнем соответствующих антител, однако у больных хроническим гастритом и *H. pylori*-инфекцией аутоиммунный тиреоидит (по крайней мере, по лабораторным маркерам) встречается чаще, а у остальных пациентов уровень антитиреоидных аутоантител в среднем достоверно значимо выше (р=0,001) в сравнении с больными хроническим гастритом, у которых *H. pylori*-инфекция отсутствует.

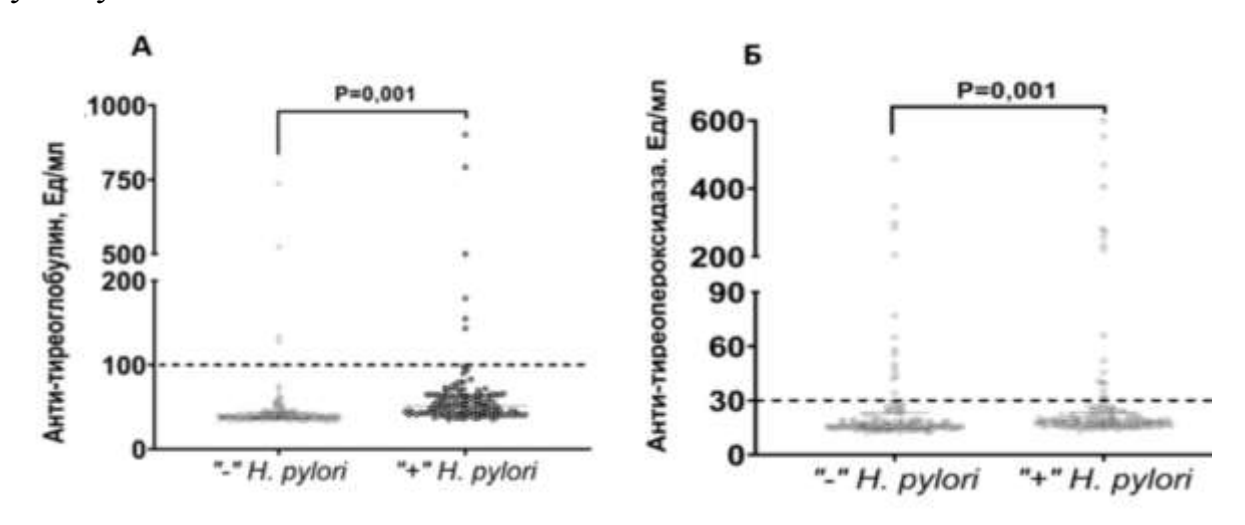


Рисунок 19 — Уровень аутоантител (А) к тиреоглобулину и (Б) к тиреопероксидазе в крови больных хроническим гастритом Примечание: «-» Н. руlori — группа сравнения; «+» Н. руlori — основная группа; ------ — граница нормы; p=0,001 — достоверно значимые отличия.

Следует отметить, что несколько коллективов авторов продемонстрировали, что *H. pylori*-инфекция чаще обнаруживается у лиц с аутоиммунными тиреоидными заболеваниями в сравнении с лицами без аутоиммунных заболеваний

щитовидной железы [54; 60; 101]. В то же время в литературе встречаются данные, согласно которым инфицирование CagA-позитивными штаммами *Н. руlori* повышает риск развития аутоиммунных заболеваний щитовидной железы в 2,24 раза [58] и вовлечено в патогенез тиреоидита Хашимото [148; 240; 254; 336], а эрадикация *Н. руlori* приводит к снижению уровня аутоантител, направленных против тиреоглобулина и тиреопероксидазы щитовидной железы [54; 60; 101; 168; 254; 340].

Таким образом, в отличие от аутоантител, являющихся маркерами системной красной волчанки, антифосфолипидного синдрома и ревматоидного артрита, у больных хроническим гастритом выявлены изменения в уровне аутоантител против щитовидной железы. Можно предположить, что они отражают начальные этапы инициации аутоиммунных реакций, поскольку не выходят за пределы нормы, но обладают статистической значимостью и соответствуют литературным данным о возможной роли *H. pylori* в патогенезе аутоиммунных нарушений щитовидной железы.

### СПИСОК РАБОТ, ОПУБЛИКОВАННЫХ ПО МАТЕРИАЛАМ, ИЗЛОЖЕННЫМ В ГЛАВЕ 3

Публикации в рецензируемых научных изданиях, рекомендованных ВАК Минобрнауки РФ (по специальности 3.2.7. Иммунология) и/или индексируемых в международных базах данных WoS, Scopus, RSCI:

- 1. Уровень аутоантител в крови инфицированных *Н. руlori* больных хроническим гастритом / *Е.В. Мохонова*, В.А. Лапин, Д.А. Мелентьев, Д.В. Новиков, Н.В. Неумоина, К.М. Перфилова, М.В. Неумоина, Т.А. Трошина, И.В. Шутова, В.В. Новиков // Медицинская иммунология. 2023. Т. 25 (2). С. 339-348. (*IF Scopus* 0,14, O4; *RSCI*; *BAK*, *K1*; *ИФ РИНЦ* 0,719).
- 2. Анализ состояния иммунитета у инфицированных *Helicobacter pylori* больных хроническим гастритом / *Е.В. Мохонова*, В.А. Лапин, Д.А. Мелентьев, Д.В. Новиков, Н.В. Неумоина, К.М. Перфилова, М.В. Неумоина, Т.А. Трошина, И.В. Шутова, В.В. Новиков // Инфекция и иммунитет. 2022. Т.12 (2). С. 306-314. (*IF Scopus* 0,17, Q4; RSCI; WoS; BAK, K1; ИФ РИНЦ 1,687).

- 3. Влияние *HELICOBACTER PYLORI* на содержание провоспалительных Т-клеточных цитокинов и продуцирующих их субпопуляций / М.И. Цыганова, М.В. Талаева, В.Ю. Талаев, Н.В. Неумоина, К.М. Перфилова, *Е.В. Мохонова*, В.А. Лапин, Д.А. Мелентьев // Анализ риска здоровью. − 2018. − № 3. − С. 120-127. (*IF Scopus*; *BAK*; *ИФ РИНЦ* − 1.101).
- 4. Влияние *Helicobacter pylori* на дифференцировку Т-регуляторных клеток / А.В. Матвеичев, М.В. Талаева, В.Ю. Талаев, Н.В. Неумоина, К.М. Перфилова, Д.Г. Лапаев, *Е.В. Мохонова*, М.И. Цыганова, В.Н. Коптелова, З.И. Никитина, В.А. Лапин, Д.А. Мелентьев // Анализ риска здоровью. 2017. № 1. С. 21-28. (*ВАК*, *ИФ РИНЦ* 1.068).

#### Публикации в других изданиях

- 5. Изменение профиля экспрессии генов адаптивного ответа при *Helicobacter pylori / Е.В. Мохонова*, В.А. Лапин, Д.А. Мелентьев, Д.В. Новиков, В.В. Новиков // Материалы VIII Национального конгресса бактериологов (Москва, 27–28 сентября 2023 г.). Москва, 2023. С. 87-88.
- 6. Helicobacter pylori и маркеры аутоиммунных заболеваний у больных хроническим гастритом / Е.В. Мохонова, Н.В. Неумоина, К.М. Перфилова, Д.А. Мелентьев, В.А. Лапин, Д.В. Новиков, В.В. Новиков // Инфекционные болезни в современном мире: эволюция, текущие и будущие угрозы: сборник трудов XV Ежегодного Всероссийского Конгресса по инфекционным болезням имени академика В.И. Покровского (Москва, 27–29 марта 2023 г.). Москва, 2023. С. 153-154.
- 7. Содержание Т-регуляторов и аутоантител к DNA в крови больных хроническим гастритом / *Е.В. Мохонова*, В.А. Лапин, Д.А. Мелентьев, Н.В. Неумоина, К.М. Перфилова // Биосистемы: организация, поведение, управление: тезисы докладов 76-й Всероссийской с международным участием школы-конференции молодых ученых (Нижний Новгород, 11–14 апреля 2023 г.). Нижний Новгород, 2023. С. 224.
- 8. Связь *Helicobacter pylori*-инфекции с аутоиммунными заболеваниями щитовидной железы у больных хроническим гастритом в стадии обострения / *Е.В. Мохонова*, Д.В. Новиков, В.А. Лапин, Д.А. Мелентьев, Н.В. Неумоина, К.М. Перфилова, М.В. Неумоина, Т.А. Трошина, И.В. Шутова, В.В. Новиков // Актуальные вопросы профилактической медицины и санитарно-эпидемиологического благополучия населения: факторы, технологии, управление

- и оценка рисков: сборник научных трудов. Нижний Новгород, 2022. Специальный выпуск: по материалам межрегиональной научно-практической конференции. С. 394-398.
- 9. Уровень фактора некроза опухоли-альфа в крови больных хроническим гастритом, положительных по *Helicobacter pylori / Е.В. Мохонова*, Д.В. Новиков, В.А. Лапин, Д.А. Мелентьев, Н.В. Неумоина, К.М. Перфилова, М.В. Неумоина, Т.А. Трошина, И.В. Шутова, В.В. Новиков // Эпидемиологический надзор за актуальными инфекциями: новые угрозы и вызовы: сборник научных трудов Всероссийской научно-практической конференции с международным участием, посвященной 100-летию академика И.Н. Блохиной. Нижний Новгород, 2021. С. 386-390.
- 10. Лапин, В.А. Оценка влияния *Helicobacter pylori* на дифференцировку клеток иммунной системы в сторону Т-регуляторов / В.А. Лапин, Д.А. Мелентьев, *Е.В. Мохонова*, Д.В. Новиков, Н.В. Неумоина, К.М. Перфилова, В.В. Новиков // Биосистемы: организация, поведение, управление: тезисы докладов 73-й Всероссийской с международным участием школы-конференции молодых ученых (Нижний Новгород, 28–30 октября 2020 г.). Нижний Новгород, 2020. С. 121.
- 11. Мелентьев, Д.А. Состояние ТН17 звена иммунитета и аутоиммунный статус у больных с гастритом // Д.А. Мелентьев, В.А. Лапин, *Е.В. Мохонова*, Д.В. Новиков, Н.В. Неумоина, К.М. Перфилова, В.В. Новиков // Биосистемы: организация, поведение, управление: тезисы докладов 73-й Всероссийской с международным участием школы-конференции молодых ученых (Нижний Новгород, 28–30 октября 2020 г.). Нижний Новгород, 2020. С. 138.
- 12. Новиков, В.В. Особенности иммунного ответа человека на инфицирование *Helicobacter pylori* / В.В. Новиков, В.А. Лапин, Д.А. Мелентьев, *Е.В. Мохонова* // Медиаль. -2019. -№ 2 (24). C. 55-69. (ИФ РИНЦ 0.169).
- 13. Оценка про- и противовоспалительной активности CD4<sup>+</sup> лимфоцитов при прямом контакте с *Н. руlori / Е.В. Мохонова*, Д.А. Мелентьев, В.А. Лапин, М.В. Талаева, Н.В. Неумоина, К.М. Перфилова // Научное обеспечение противоэпидемической защиты населения: актуальные проблемы и решения: сборник научных трудов Всероссийской научно-практической конференции с международным участием, посвященной 100-летию ФБУН ННИИЭМ им. академика И.Н. Блохиной Роспотребнадзора. Нижний Новгород, 2019. С. 237-240.

- 14. Влияние *Helicobacter pylori* на дифференцировку Т-клеток человека в условиях прямого контакта *in vitro* / Е.В. Мохонова, В.А. Лапин, Д.А. Мелентьев, М.В. Талаева, Н.В. Неумоина, К.М. Перфилова, М.И. Цыганова // Микробиология: от микроскопа до геномного анализа: материалы Всероссийской научнопрактической конференции, посвященной 95-летию кафедры микробиологии ФГБВОУ ВО «Военно-медицинская академия имени С.М. Кирова» Министерства обороны Российской Федерации (Санкт-Петербург, 17-18 мая 2018 г.). Санкт-Петербург, 2018. С. 141-143.
- 15. Влияние *Helicobacter pylori* на субпопуляцию Т-хелперных клеток человека / Д.А. Мелентьев, В.А. Лапин, *Е.В. Мохонова*, М.В. Талаева, М.И. Цыганова // Инфекционные болезни в современном мире: эволюция, текущие и будущие угрозы: материалы X Ежегодного Всероссийского конгресса по инфекционным болезням с международным участием (Москва, 26-28 февраля 2018 г.). Москва, 2018. С. 143.
- 16. Оценка влияния *Helicobacter pylori* на дифференцировку Т-гед клеток и продукцию ими IL-10 / В.А. Лапин, Д.А. Мелентьев, *Е.В. Мохонова*, М.В. Талаева, М.И. Цыганова // Биосистемы: организация, поведение, управление: тезисы докладов 71-й Всероссийской с международным участием школы-конференции молодых ученых (Нижний Новгород, 17–20 апреля 2018 г.). Нижний Новгород, 2018. С. 130.
- 17. Оценка способности *Helicobacter pylori* стимулировать образование ТН17 и индуцировать продукцию IFN- $\gamma$  / Д.А. Мелентьев, В.А. Лапин, *Е.В. Мохонова*, М.В. Талаева, М.И. Цыганова // Биосистемы: организация, поведение, управление: тезисы докладов 71-й Всероссийской с международным участием школыконференции молодых ученых (Нижний Новгород, 17–20 апреля 2018 г.). Нижний Новгород, 2018. С. 152.

#### **ЗАКЛЮЧЕНИЕ**

В настоящей работе мы провели анализ иммунологических параметров при инфицировании Helicobacter pylori в модели in vitro и у больных хроническим гастритом. Такая постановка цели была связана с неоднозначностью ответа на вопрос о способности Helicobacter pylori вызывать аутоиммунные реакции в организме-хозяине. Чтобы внести свой посильный вклад в его решение, мы провели исследование, построенное как на экспериментах in vitro, так и на оценке иммунологических параметров у больных хроническим гастритом. В первом случае использовали СD4+-лимфоциты, выделенные из периферической крови условно здоровых доноров, и сокультивировали их с бактериальными суспензиями *H. pylori*. Во втором случае проводили сравнительный анализ состояния клеточного и гуморального иммунитета у больных хроническим гастритом, инфицированных и не инфицированных *H. pylori*, находящихся на лечении в Клинике инфекционных болезней ФБУН ННИИЭМ им. академика И.Н. Блохиной Роспотребнадзора. Задачи были построены таким образом, чтобы провести анализ наличия отклонений в сторону аутоиммунных проявлений как на клеточном, так и на гуморальном уровне. Поскольку в настоящее время известно множество аутоиммунных нарушений, на заключительном этапе работы мы поставили задачу по оценке антительных маркеров наиболее распространенных аутоиммунных заболеваний, включая системную красную волчанку, антифосфолипидный синдром, ревматоидный артрит и аутоиммунные заболевания щитовидной железы, с сопутствующим анализом возможности инициации этих патологий *H. pylori* на примере больных хроническим гастритом.

В литературе активно обсуждается вопрос о способности *Н. руlori* воздействовать на иммунный ответ хозяина, направляя его в сторону усиления толерогенных процессов. Дополнительным эффектом подобной стратегии может являться показанная для *Н. руlori* способность влиять на протекание некоторых аутоиммунных заболеваний и патологий аллергического характера [106; 141; 184].

В более ранних экспериментальных работах, направленных на попытки воспроизвести генерацию Treg в условиях in vitro с использованием классической модели активации Т-лимфоцитов с помощью дендритных клеток и *H. pylori*, исследователи наблюдали смешанный иммунный ответ. Было показано, что дендритные клетки, стимулированные живым *H. pylori*, продуцируют цитокины с разнонаправленным действием и стимулируют созревание CD4+ T-лимфоцитов в сторону как провоспалительных (Th1, Th17), так и противовоспалительных (Treg) субпопуляций клеток без значительного доминирования какой-либо из сторон [161; 185; 200; 209; 215]. Механизмы, с помощью которых *H. pylori* оказывает влияние на дифференцировку Т-лимфоцитов, смещая баланс Th1/Th17/Treg в ту или иную сторону, до сих пор точно не определены. Мы, в свою очередь, предположили, что во время повреждения желудочного барьера H. pylori и его метаболиты способны мигрировать в собственную пластинку, где напрямую взаимодействуют с Т-лимфоцитами и влияют на их активацию и дифференцировку. В связи с этим мы поставили задачу оценить реакцию Т-лимфоцитов человека при сокультививировании с H. pylori в модели in vitro без участия профессиональных антигенпрезентирующих Оказалось, добавление клеток. что различных концентраций бактериальных суспензий Н. pylori  $CD4^{+}$ Т-клеткам периферической крови условно здоровых доноров приводило к достоверному повышению CD4+CD25+FoxP3+ Treg клеток и IL-10 в культурах лимфоцитов. Данный эффект зависел присутствия профессиональных не OT антигенпрезентирующих клеток, поскольку добавление к Т-лимфоцитам бактерий совместно с моноклональными антителами к СD3-рецептору и молекуле костимуляции CD28 в качестве дополнительных стимулов, имитирующих сигнал антигенпрезентирующих клеток, не приводило дополнительному OTдостоверному повышению Treg и IL-10 в культурах лимфоцитов. При этом CD4+CD161+ (Th17) культурах лимфоцитов, содержание клеток стимулированных различными концентрациями бактериальных суспензий, не отличалось от содержания Th17, обнаруживаемых в контрольной культуре интактных CD4+-лимфоцитов. В то же время в супернатантах клеточных культур

было обнаружено многократное достоверное повышение IFN- $\gamma$ . Можно заключить, что сокультивирование *H. pylori* с CD4<sup>+</sup> T-лимфоцитами в модели *in vitro* вызывало популяционные изменения, которые можно обозначить как поляризацию в сторону супрессорных (Treg) и провоспалительных (Th1) клеток с повышенной продукцией соответствующих цитокинов (IL-10 и IFN- $\gamma$ ) без проявлений возможных аутоиммунных сдвигов в сторону (Th17) клеток.

На следующем этапе работы мы провели сравнительный анализ содержания Th17 и Treg клеток, а также уровня цитокинов в крови больных хроническим гастритом, инфицированных и не инфицированных *Н. руlori*. Согласно полученным результатам, в крови пациентов с хроническим гастритом вне зависимости от *Н. руlori*-статуса не было выявлено достоверных различий в содержании CD4+CD161+ (Th17) и CD4+FoxP3+ (Treg) клеток, а также в относительном уровне мРНК гена, кодирующего IL-17A и FoxP3, в уровне TNF-α и мРНК TNF-α. При этом концентрация IL-2 и IL-23 в крови всех больных хроническим гастритом была выше нормы, что указывает на наличие воспалительных процессов. В то же время у больных хроническим гастритом, инфицированных *Н. руlori*, концентрация IL-2 и IL-23 была достоверно выше в сравнении с больными хроническим гастритом, у которых *Н. руlori*-инфекция отсутствовала.

На заключительном этапе работы мы провели сравнительный анализ содержания маркеров наиболее распространенных аутоиммунных заболеваний в крови больных хроническим гастритом, инфицированных и не инфицированных H. pylori. Для этого были выбраны используемые в здравоохранении маркеры системной красной волчанки (анти-ssДНК-IgG И анти-dsДHK-IgG), антифосфолипидного (анти-β-2-гликопротеин I-IgM/IgG), синдрома ревматоидного артрита (ревматоидный фактор) и тиреоидных аутоиммунных заболеваний (анти-ТГ и анти ТПО). Показано, что больные с H. pyloriассоциированным хроническим гастритом по содержанию в крови аутоантител против односпиральной ДНК, двухспиральной ДНК и ревматоидного фактора достоверно значимо не отличались от больных, у которых диагностировался

хронический гастрит, но отсутствовала *H. pylori*-инфекция. В то же время уровень аутоантител против β-2-гликопротеина I у больных хроническим гастритом, инфицированных *H. pylori*, был достоверно ниже, а уровень аутоантител против тиреоглобулина и тиреопероксидазы достоверно выше в сравнении с не инфицированными *H. pylori* больными хроническим гастритом. При этом медиана уровня вышеуказанных аутоантител у пациентов обеих групп сохранялась в пределах нормы.

Таким образом, использованные при выполнении настоящей работы различные подходы к оценке влияния H. pylori на возможность развития аутоиммунных реакций показали неоднозначную роль этого инфекционного агента в создании сложной картины изменений иммунитета. Формирующееся при H. pylori-инфекции хроническое воспаление служит основой для инициации аутоиммунных проявлений, возникающих под воздействием сложного набора факторов, среди которых можно назвать антигенную мимикрию, состояние иммунной системы и генетические особенности. Наличие у щитовидной железы антигенов, имеющих, видимо, наиболее выраженное сходство с факторами патогенности *H. pylori*, приводит на фоне других факторов к формированию перекрестно-реагирующих антител с высокой аффинностью, достаточной для осуществления деструктивного воздействия на данный орган. При других заболеваниях, в том числе исследованных в настоящей работе, указанные механизмы могут не развиваться или развиваются при наличии дополнительных условий, например, определенных популяционно-генетических особенностей, приводящих с более высокой вероятностью к развитию аутоиммунной патологии. Противоречивость литературных данных о связи инфицирования *H. pylori* и развитием аутоиммунных заболеваний, вероятно, обусловлена указанными причинами и отражает наличие сложных и неоднозначных механизмов аутоиммунной патологии.

#### **ВЫВОДЫ**

- 1. Совместное культивирование *H. pylori* и CD4<sup>+</sup>T-лимфоцитов доноров вызывает изменение их популяционного состава с поляризацией в сторону супрессорных (Treg) и провоспалительных (Th1) клеток с повышенной продукцией соответствующих цитокинов (IL-10 и IFN-γ) без проявлений возможных аутоиммунных сдвигов в сторону CD4<sup>+</sup>CD161<sup>+</sup> (Th17) клеток.
- 2. В крови больных хроническим гастритом, инфицированных *H. pylori*, обнаружены более высокие уровни IL-2 и IL-23, чем в крови *H. pylori*-отрицательных пациентов при отсутствии различий в содержании CD4+FoxP3+- и CD4+CD161+-клеток, в уровне мРНК FoxP3 и мРНК IL-17A и в содержании TNF-α и мРНК TNF-α.
- 3. Содержание аутоантител против односпиральной и двухспиральной ДНК, бета-2-гликопротеина I класса IgM и IgG и ревматоидного фактора у больных хроническим гастритом находится в пределах нормы; при этом уровень аутоантител против бета-2-гликопротеина I классов IgM и IgG достоверно выше у больных хроническим гастритом, не инфицированных *H. pylori* в сравнении с инфицированными больными.
- 4. В крови инфицированных *Н. руlori* больных хроническим гастритом обнаружено не выходящее за пределы нормальных значений достоверное повышение аутоантител против тиреоглобулина и тиреопероксидазы в сравнении с больными, у которых *Н. руlori*-инфекция отсутствует.

### ПРАКТИЧЕСКИЕ РЕКОМЕНДАЦИИ

H. pylori-инфицированных пациентов с хроническим гастритом целесообразно выделять в группу риска по развитию тиреоидных аутоиммунных заболеваний.

### СПИСОК СОКРАЩЕНИЙ И УСЛОВНЫХ ОБОЗНАЧЕНИЙ

АМП – Антимикробные пептиды

АНА – Антинуклеарные антитела

Анти-dsДНК – Антитела к двуспиральной ДНК

Анти-ssДНК – Антитела к односпиральной ДНК

Анти-КЛ – Антитела к кардиолипину

Анти-ТГ – Антитела к тиреоглобулину

Анти-ТПО – Антитела к тиреопероксидазе

АПК – Антигенпрезентирующие клетки

АТФ – аденозинтрифосфорная кислота

АФА – Антифосфолипидные антитела

АФС – Антифосфолипидный синдром

ВКО – Внутренний контрольный образец

ДНК – Дезоксирибонуклеиновая кислота

ДПК – двенадцатиперстная кишка

ЖКТ – желудочно-кишечный тракт

ИФА – Иммуноферментный анализ

кДНК – кодирующая ДНК

КОЕ – Колониеобразующие единицы

ЛПС – липополисахарид

МНПК – Мононуклеарные клетки периферической крови

мРНК – матричная РНК

ОТ-ПЦР РВ – Полимеразная цепная реакция с обратной транскрипцией в реальном времени

ОКО – Отрицательный контрольный образец

ПКО – Положительный контрольный образец

ППС – Полная питательная среда

ПЦР – Полимеразная цепная реакция

РА – Ревматоидный артрит

РНК – Рибонуклеиновая кислота

рТТГ – рецептор тиреотропного гормона

РФ – Ревматоидного фактора

СКВ – Системная красная волчанка

СОЖ – слизистая оболочка желудка

СОЭ – Скорость оседания эритроцитов

СРБ – С реактивный белок

TME - 3,3',5,5'- тетраметилбензидин

ТТГ – Тиреотропный гормон

ФСБТ – Фосфатно-солевой буферный раствором с твином

ЩЖ – Щитовидная железа

ЭГДС – Эзофагогастродуоденоскопия

ЭДТА – Этилендиаминтетрауксусная кислота

AARDA – American Autoimmune Related Diseases Association (Американская ассоциация по борьбе с аутоиммунными заболеваниями)

Abl – Abelson kinase (Тирозинкиназа Абельсона)

AlpA – Adherence-associated lipoprotein A (Липопротеин A, ассоциированный с адгезией)

AlpB – Adherence-associated lipoprotein B (Липопротеин B, ассоциированный с адгезией)

ALPK1 – Alpha Kinase 1 (Альфа киназа 1)

Anti- $\beta$ -2-GP I – Anti-beta-2-Glycoprotein I (Антитела к  $\beta$ -2-гликопротеину 1)

Anti-MCV – Modified Citrullinated Vimentin Antibody (Антитела к модифицированному цитруллинированному виментину

APC – Allophycocyanin (Аллофикоцианин)

BabA – Lewis blood group antigen-binding adhesion (Адгезин, связывающий антигены группы крови)

CagA – Cytotoxin-associated gene A (Белок, кодируемый цитотоксинассоциированным геном A) CagH – Cytotoxin-associated gene H (Белок, кодируемый цитотоксинассоциированным геном H)

CagL – Cytotoxin-associated gene L (Белок, кодируемый цитотоксинассоциированным геном L)

Cag-PAI – Cytotoxin-associated gene Pathogenicity Island

CagY – Cytotoxin-associated gene Y (Белок, кодируемый цитотоксинассоциированным геном Y)

CD – Cluster of differentiation (Кластер дифференцировки)

CEACAMs – Carcinoembryonic antigen-related cell adhesion molecules (Молекулы клеточной адгезии, связанные с карциноэмбриональным антигеном человека)

CGT – Cholesterol-α-glucosyltransferase (Холестерол-альфа-гдюкозилтрансфераза)

CLRs – C-type lectin receptors (Лектиновые рецепторы С-типа)

Ct – Threshold cycle (Пороговый цикл)

CtsC – Cathepsin C (Катепсин C)

DAMPs – Damage-associated molecular pattern (Молекулярные паттерны, связанные с повреждением)

DCs – Dendritic cells (Дендритные клетки)

dNTP – Deoxynucleotide Triphosphates (Дезоксинуклеотидтрифосфат)

DPBS – Dulbecco's Phosphate Buffered Saline (Фосфатный забуференный солевой раствор Дульбекко)

ERK1/2 – Extracellular signal-regulated kinase1/2 (Внеклеточная киназа, регулируемая сигналом)

FCS – Fetal calf serum (Эмбриональная телячья сыворотка)

FITC – Fluorescein isothyocyanate (Флуоресцеин-5-изотиоцианат)

Fla – Flagellin (Флагеллин)

Foxp3 – Forkhead-Box Protein 3(Фактор транскрипции Т-регуляторных клеток)

FSC – Forward scatter (Прямое светорассеивание)

GGT – Gamma-Glutamyl Transpeptidas (Гамма-глутамилтранспептидаза)

GP I – Glycoprotein I (Гликопротеин)

GPCRs – G-protein-coupled receptor (Рецепторы, сопряженные с G-белком)

HBD – Human β-defensin (β-дефензины человека)

HopQ – *H. pylori* outer protein Q (Внешний белок А *H. pylori*)

HopZ-*H. pylori* outer protein Z (Внешний белок Z *H. pylori*)

HP-NAP – *H. pylori*-neutrophil-activating protein (*Helicobacter pylori*-активирующий нейтрофилы белок)

Hsp – Heat shock protein-(Белок теплового шока)

HtrA – High-temperature requirement A (Протеаза, обеспечивающая устойчивость к высокой температуре)

IceA – Induced by contact with epithelium (Белок, индуцируемый при контакте с эпителием)

IFN-у – Interferon-gamma (Интерферон-гамма)

Ig – Immunoglobulin (Иммуноглобулин)

IL – Interleukin (Интерлейкин)

iNOS – Inducible Nitric Oxide Synthase (Индуцируемая синтаза оксида азота)

iTreg – Induced regulatory T-cells (Индуцированные Т-регуляторные клетки)

JAM – Junction adhesion molecule (Молекула адгезии)

LeB – Fucose residues of Lewis-like antigens type B (Остатки фукозы Льюисподобных антигенов типа B)

MALDI-TOF-MS — Matrix-assisted laser desorption/ionization —Time of Flight (Матрично-активированная лазерная десорбция/ионизация)

MALT – Mucosa Associated Lymphoid Tissue (Лимфоидная ткань, ассоциированная со слизистыми оболочками)

M-MLV – Moloney Murine Leukemia Virus Reverse Transcriptase (Обратная транскриптаза вируса лейкемии мышей)

MHC II – Major histocompatibility complex II class (Главный комплекс гистосовместимости II класса)

M-MLV RT – Moloney Murine Leukemia Virus Reverse Transcriptase (Ревертаза вируса мышиного лейкоза Молони)

NADPH-oxidases – Nicotinamide adenine dinucleotide phosphate-oxidases (Никотинамид аденин динуклеотид фосфат-оксидаза)

NETs – Neutrophil extracellular traps (Внеклеточные нейтрофильные ловушки)

NF-кВ – Nuclear factor kappa В (Ядерный фактор каппа-би)

NLRs – NOD-like receptors (NOD-подобные рецепторы)

NO – Nitric oxide (Оксид азота)

NOD1 – Nucleotide-binding oligomerization domain 1 (Нуклеотид-связывающий домен олигомеризации 1)

nTreg – Natural T regulatory cells (Натуральные Т-регуляторные клетки)

OipA – Outer inflammatory protein A (Внешний воспалительный белок А)

OMPs – Outer membrane proteins (Белки наружной мембраны)

OMVs – Outer Membrane Vesicle (Везикулы внешней мембраны)

PAMPs – Pathogen-associated molecular patterns (Патоген-ассоциированными молекулярными паттернами)

PBP – plasminogen-binding protein (Плазминоген-связывающий белок)

PE – Phycoerythrin (Фикоэритрин)

PRRs – Pattern-recognition receptors (Рецепторы распознавания образов)

RBC Lysis Buffer – Red Blood Cell Lysis Buffer (Раствор для лизиса эритроцитов)

RLRs – RIG-I-like receptors (RIG-подобные рецепторы)

RNS – Reactive nitrogen species (Активные формы азота)

ROS – Reactive oxygen species (Активные формы кислорода)

SabA – sialic Lewis X antigen-binding adhesion (Адгезин, связывающий sLeX антиген)

sIgA – Secretory Immunoglobulin A (Секреторный иммуноглобулин A)

sLeX – Sialo-Lewis X-sphingolipid (Сиало-Льюис X-сфинголипид)

Src – Sarcoma virus kinase (Киназа из вируса Саркомы)

SSC – Side scatter (Боковое светорассеивание)

T4SS – Type four secretion system (Система секреции IV типа)

TGF-β – Transforming growth factor-β (Трансформирующего фактора роста-β)

Th – T-help (Т-хелперы)

TLRs – Toll-like receptors (Толл-подобные рецепторы)

TNF-α – Tumor necrosis factor alpha (Фактор некроза опухоли-альфа)

Treg – Regulatory T cells (Т-регуляторные клетки)

UBR2 – Ubiquitin-protein ligase E3 component n-recognin 2 (Ген, кодирующий убиквитин-протетновую лигазу E3)

Ure B – Urease subunit B (Субъединица уреазы А)

UreA – Urease subunit A (Субъединица уреазы В)

VacA – Vacuolating cytotoxins (Вакуолизирующий цитотоксин А)

YWHAZ – Tryptophan 5-Monooxygenase Activation Protein Zeta (Триптофан 5-монооксигеназа активационного протеина зета)

ZO-1 – Zona occludens protein (Каркасный белок-1)

CagPAI – Cytotoxin-associated gene Pathogenicity Island (Остров патогенности цитотоксин-ассоциированных генов)

## СПИСОК ЛИТЕРАТУРЫ

- Агеева, Е.С. Эффекты цитокинов в патогенезе *H. pylori*-ассоциированных хронического гастрита и язвенной болезни / Е.С. Агеева // Сибирский Медицинский журнал. 2014. №2. С.5-8.
- 2. Акбиева, Д.С. Роль цитокинов в развитии заболеваний гастродуоденальной зоны / Д.С. Акбиева // Современные проблемы науки и образования. 2017. №2.
- 3. Алгоритм определения генотипов и аллельных вариантов *Helicobacter pylori* с использованием полимеразной цепной реакции: инструкция по применению / А.В. Воропаева, Е.В. Воропаев, О.Ю. Баранов [и др.]; ГомГМУ. Гомель: ГомГМУ, 2009. 31 с.
- 4. Антихеликобактерные IgE антитела у детей с заболеваниями гастродуоденальной зоны и сопутствующей аллергопатологией / С.А. Мазурина, Н.В. Ильинцева, В.Е. Агафонов, В.Б. Гервазиева // Экспериментальная и клиническая гастроэнтерология. − 2013. − № 9. − С. 21-25.
- 5. Дубцова, Е.А. Некоторые иммунологические аспекты язвообразования / Е.А. Дубцова // Экспериментальная и клиническая гастроэнтерология. 2002. Т. 4. С. 9-14.
- 6. Изменение уровня субпопуляций Т-регуляторных клеток и Т-хелперов 17 в периферической крови здоровых людей в зависимости от возраста / А.П. Топтыгина, Е.Л. Семикина, С.В. Петричук [и др.] // Медицинская иммунология. 2017. Т. 19, № 4. С. 409-420.
- 7. Иммунный ответ на *Helicobacter pylori* / В.Ю. Талаев, Е.В. Воронина, И.Е. Заиченко, О.Н. Бабайкина // Иммунология. 2021. Т. 42, № 6. С. 697-705.
- 8. Иммунологические изменения при инвазии *Helicobacter pylori:* перспективы создания вакцин / Ю. П. Успенский, И.А. Горбачева, А.Н. Суворов [и др.] // Трансляционная медицина. 2018. Т. 5, № 6. С. 31-40.

- 9. Исаева, Г.Ш. Биологические свойства и вирулентность *Helicobacter pylori* / Г.Ш. Исаева, Р.И. Валиева // Клиническая микробиология и антимикробная химиотерапия. 2018. Т. 20, №1. С. 14-20.
- 10. Исаков, В.А. Хеликобактериоз / В.А. Исаков, И.В. Домрадский. Москва: Медпрактика-М, 2003. 412 с. ISBN 5-901654-47-1.
- 11. Кононов, А.В. Местный иммунный ответ на инфекцию *Helicobacter pylori* / А.В. Кононов // Российский журнал гастроэнтерологии, гепатологии, колопроктологии. 1999. № 2. С. 15-22.
- 12. Кравченко, П.Н. Система регуляторных Т-клеток и аутоиммунные процессы / П.Н. Кравченко, Е.К. Олейник // Труды Карельского научного центра РАН. 2013. № 3. С. 18-30.
- 13. Мазурина, С.А. Иммунный ответ слизистой оболочки желудка на инфицирование *Helicobacter pylori* у детей, страдающих гастродуоденальной патологией и аллергией / С.А. Мазурина, Н.В. Ильинцева, В.Б. Гервазиева // Экспериментальная и клиническая гастроэнтерология. − 2014. − Т. 109, № 9. −С. 30-34.
- 14. Матвеева, Л.В. Интерлейкиновый профиль крови в сопоставлении с выраженностью воспалительного, атрофического и ульцерозного процессов в слизистой оболочке желудка // Л.В. Матвеева, Л.М. Мосина, Е.А. Митина // Фундаментальные исследования. 2013. № 7-1. С. 133-137.
- 15. Матвеева, Л.В. Изменение сывороточного уровня туморнекротизирующего фактора-а при заболеваниях желудка / Л.В. Матвеева, Р.Х. Капкаева, А.Н. Чудайкин, Л.С. Мишанина // Экспериментальная и клиническая гастроэнтерология. 2018. № 3. С. 53-57.
- 16. Матвеичев, А.В. Физиология и функционирование Т-хелперов 17-го типа / А.В. Матвеичев, В.Ю. Талаев, И.А. Евплова // Успехи современной биологии. 2016. Т. 136, № 3. С. 285-300.
- 17. Механизмы взаимодействия *Helicobacter pylori* с эпителием слизистой оболочки желудка. Факторы патогенности, способствующие успешной

- колонизации / О.К. Поздеев, А.О. Поздеева, Ю.В. Валеева, П.Е. Гуляев // Инфекция и иммунитет. 2018. Т. 8, № 3. С. 273-283.
- 18. Особенности иммунологических проявлений у пациентов с ревматоидным артритом при наличии хронического инфицирования штаммом *Helicobacter pylori*, кодирующим ассоциированный с цитотоксином ген А / А.В. Александров, Л.Н. Шилова, В.А. Александров [и др] // Медицинская иммунология. 2023. Т. 25, №4. С. 927-932.
- 19. Пиманов, С.И. Эзофагит, гастрит и язвенная болезнь: руководство для врачей / С.И. Пиманов. Москва: Мед. кн.; Н. Новгород: НГМА, 2000. 377 с. ISBN 5-86093-051-8.
- 20. Решетняк, Т.М. Антифосфолипидный синдром: диагностика и клинические проявления (лекция) / Т.М. Решетняк // Научно-практическая ревматология. 2014. Т.52, №1. С. 56-71.
- 21. Синяков, А.А. Показатели некоторых цитокинов у больных хроническим, хроническим атрофическим гастритом на фоне *Helicobacter pylori*-инфекции / А.А. Синяков, О.В. Смирнова, Э.В. Каспаров // Siberian Journal of Life Sciences and Agriculture. 2019. Т. 11,  $\mathbb{N}$  5-2. С. 124-128.
- 22. Смирнова, О.В. Влияние *Helicobacter pylori* на особенности цитокиновой регуляции при хроническом атрофическом гастрите / О.В. Смирнова, А.А. Синяков // Инфекция и иммунитет. 2020. Т. 10, № 1. С. 187-192.
- 23. Хомерики, С.Г. *Helicobacter pylori* индуктор и эффектор окислительного стресса в слизистой оболочке желудка: традиционные представления и новые данные / С.Г. Хомерики // Экспериментальная и клиническая гастроэнтерология. 2006. № 1. С. 37-46.
- 24. Чернуцкая, С.П. Роль иммунной системы в персистенции *Helicobacter pylori* / С.П. Чернуцкая, В.Б. Гервазиева // Инфекционные болезни. -2008. Т. 6, № 2. С. 69-77.
- 25. Шкитин, В.А. Роль *Helicobacter pylori* в патологии человека / В.А. Шкитин, Г.Н. Шпирна, Г.Н. Старовойтов // Клиническая микробиология и антимикробная химиотерапия. 2002. Т. 4, № 2. С. 128-145.

- 26. Язвенная болезнь, хронический гастрит и эзофагит в аспекте дисбактериоза эзофагогастродуоденальной зоны / В.В. Чернин, В.М. Червинец, В.М. Бондаренко, С.Н. Базлов // Верхневолжский медицинский журнал. − 2005. − № 3-4. − С. 24-25.
- 27. Ярилин, А. А. Естественные регуляторные Т-клетки и фактор FOXP3 / А.А. Ярилин, А. Д. Донецкова // Иммунология. 2006. Т. 37, № 3. С. 176-188.
- 28. 2010 Rheumatoid arthritis classification criteria: an American College of Rheumatology/European League Against Rheumatism collaborative initiative / D. Aletaha, T. Neogi, A.J. Silman [et al.] // Arthritis & Rheumatology. 2010. Vol. 62 (9). P. 2569-2581.
- 29. A community-based seroepidemiologic study of *Helicobacter pylori* infection in Mexico / J. Torres, Y. Leal-Herrera, G. Perez-Perez [et al.] // Journal ofInfectious Diseases. 2005. Vol. 178 (4). P. 1089-1094.
- 30. A conserved TLR5 binding and activation hot spot on flagellin / W.S. Song, Y.J. Jeon, B. Namgung [et al.] // Scientific Reports. 2017. Vol. 7. P. 40878.
- 31. A distinct lineage of CD4 T cells regulates tissue inflammation by producing interleukin 17 / H. Park, Z. Li, X.O. Yang [et al.] // Nature Immunology. 2005. Vol. 6 (11). P. 1133-1141.
- 32. A novel sheathed surface organelle of the *Helicobacter pylori* cag type IV secretion system / M. Rohde, J. Püls, R. Buhrdorf [et al.] // Molecular Microbiology. 2003. Vol. 49 (1). P. 219-234.
- 33. A population-based epidemiologic study of *Helicobacter pylori* infection and its association with systemic inflammation / L. Jackson, J. Britton, S.A. Lewis [et al.] // *Helicobacter*. 2009. Vol. 14 (5). P. 108-113.
- 34. A possible link between the Epstein-Barr virus infection and autoimmune thyroid disorders / A. Dittfeld, K. Gwizdek, M. Michalski, R. Wojnicz // Central European Journal of Immunology. 2016. Vol. 41 (3). P. 297-301.
- 35. A review of signal pathway induced by virulent protein CagA of *Helicobacter pylori* / H. Wang, M. Zhao, F. Shi [et al.] // Frontiers in Cellular and Infection Microbiology. 2023. Vol. 13. P. 1062803.

- 36. Abrogation of cathepsin C by *Helicobacter pylori* impairs neutrophil activation to promote gastric infection / Y.G. Liu, Y.S. Teng, P. Cheng [et al.] // FASEB. 2019. Vol. 33 (4). P. 5018-5033.
- 37. Activation of Abl by *Helicobacter pylori:* a novel kinase for CagA and crucial mediator of host cell scattering / I. Tammer, S. Brandt, R. Hartig [et al.] // Gastroenterology. 2007. Vol. 132 (4). P. 1309-1319.
- 38. Activation of human neutrophils with *Helicobacter pylori* and the role of Toll-like receptors 2 and 4 in the response / L. Alvarez-Arellano, M. Camorlinga-Ponce, C. Maldonado-Bernal, J. Torres // FEMS Immunology and Medical Microbiology. 2007. Vol. 51(3). P. 473-479.
- 39. Adhesion and Invasion of Gastric Mucosa Epithelial Cells by *Helicobacter pylori* / Y. Huang, Q.L. Wang, D.D. Cheng [et al.] // Frontiers in Cellular and Infection Microbiology. 2016. Vol. 22 (6). P. 159.
- 40. ADP heptose, a novel pathogen-associated molecular pattern identified in *Helicobacter pylori* / L. Pfannkuch, R. Hurwitz, J. Traulsen [et al.] // FASEB. 2019. Vol. 33 (8). P. 9087-9099.
- 41. Aletaha, D. Diagnosis and Management of Rheumatoid Arthritis: A Review / D. Aletaha, J.S. Smolen // Journal of the American Medical Association. 2018. Vol. 320 (13). P. 1360-1372.
- 42. Alpha-kinase 1 is a cytosolic innate immune receptor for bacterial ADP-heptose / P. Zhou, Y. She, N. Dong [et al.] // Nature. 2018. Vol. 561 (7721). P. 122-126.
- 43. Amino-Terminal Processing of *Helicobacter pylori* Serine Protease HtrA: Role in Oligomerization and Activity Regulation / N. Albrecht, N. Tegtmeyer, H. Sticht [et al.] // Frontiers in Microbiology. 2018. Vol. 9. P. 642.
- 44. Annunziato, F. The transient nature of the Th17 phenotype / F. Annunziato, S. Romagnani // European Journal of Immunology. 2010. Vol. 40 (12). P. 3312- 3316.

- 45. Ansari, S. *Helicobacter pylori* virulence factor cytotoxin-associated gene A (CagA)-mediated gastric pathogenicity / S. Ansari, Y. Yamaoka // International Journal of Molecular Sciences. 2020. Vol. 21 (19). P. 7430.
- 46. Ansari, S. Role of vacuolating cytotoxin A in *Helicobacter pylori* infection and its impact on gastric pathogenesis / S. Ansari, Y. Yamaoka // Expert Review of Anti-infective Therapy. 2020. Vol. 18 (10). P. 987-996.
- 47. Antigenic mimicry between *Helicobacter pylori* and gastric mucosa in the pathogenesis of body atrophic gastritis / R. Negrini, A. Savio, C. Poiesi [et al.] // Gastroenterology. 1996. Vol. 111 (3). P. 655-665.
- 48. Antiphospholipid syndrome / M. Khamashta, M. Taraborelli, S. Sciascia, A. Tincani // Best Practice & Research: Clinical Rheumatology. –2016. Vol. 30 (1). P. 133-148.
- 49. Anti-TNF Therapy in Crohn's Disease / S.O. Adegbola, K. Sahnan, J. Warusavitarne [et al.] // Int. J. Mol. Sci. 2010. Vol. 49 (7). P. 1215-1228.
- 50. Arachchillage, D.R.J. Pathogenesis and management of antiphospholipid syndrome / D.R.J. Arachchillage, M. Laffan // British Journal of Haematology. 2017. Vol. 178 (2). P. 181-195.
- 51. Arginase II restricts host defense to *Helicobacter pylori* by attenuating inducible nitric oxide synthase translation in macrophages / N.D. Lewis, M. Asim, D.P. Barry [et. al.] // Immunology. 2010. Vol. 184 (5). P. 2572-2582.
- 52. Association between antibodies to heat shock protein 65 and coronary atherosclerosis. Possible mechanism of action of *Helicobacter pylori* and other bacterial infections in increasing cardiovascular risk / D.H. Birnie, E.R. Holme, I.C. McKay [et al.] // European Heart Journal. 1998. Vol. 19 (3). P. 387-394.
- 53. Association between systemic lupus erythematosus and *Helicobacter pylori* seronegativity / A.H. Sawalha, W.R. Schmid, S.R. Binder [et al.] // Journal of Rheumatology. 2004. Vol. 31 (4). P. 1546-1550.
- 54. Association between Thyroid Autoimmunity and *Helicobacter pylori* Infection / Y.M. Choi, T.Y. Kim, E.Y. Kim [et al.] // Korean Journal of Internal Medicine. 2017. Vol. 32 (2). P. 309-313.

- 55. Association of established thyroid peroxidase autoantibody (TPOAb) genetic variants with Hashimoto's thyroiditis / L. Brčić, A. Barić, S. Gračan [et al.] // Autoimmunity. 2016. Vol. 49 (7). P. 480-485.
- 56. Association of *Helicobacter pylori* and gastric autoimmunity: a population-based study / R. Uibo, T. Vorobjova, K. Metsküla [et al.] // FEMS Immunology and Medical Microbiology. 1995. Vol. 11 (1). P. 65-68.
- 57. Association of *Helicobacter pylori* Infection with Autoimmune Thyroid Disease in the Female Sex / M.P. Dore, G. Fanciulli, A. Manca, G.M. Pes // Journal of Clinical Medicine. 2023. Vol. 12 (15). P. 5150.
- 58. Associations of *Helicobacter pylori* infection and cytotoxin-associated gene A status with autoimmune thyroid diseases: A meta-analysis / W-J. Shi, W. Liu, X-Y. Zhou [et al.] // Thyroid. 2013. Vol. 23 (10). P. 1294-1300.
- 59. Astl, J. Activation of *Helicobacter pylori* causes either autoimmune thyroid diseases or carcinogenesis in the digestive tract / J. Astl, I. Sterzl // Physiological Research. 2015. Vol. 64 (2). P. 291-301.
- 60. Autoimmune thyroid diseases and *Helicobacter pylori*: the correlation is present only in Graves' disease / V. Bassi , G. Marino, A. Iengo [et al.] // World Journal of Gastroenterology . 2012. Vol. 18 (10). P. 1093-1097.
- 61. Backert, S. Composition, structure and function of the *Helicobacter pylori* cag pathogenicity island encoded type IV secretion system / S. Backert, N. Tegtmeyer, W. Fischer // Future Microbiology. 2015. Vol. 10 (6). P. 20343-955-965.
- 62. Bacterial induction of autoantibodies to  $\beta$ -2-glycoprotein-I accounts for the infectious etiology of antiphospholipid syndrome / M. Blank, I. Krause, M. Fridkin [et al.] // Journal of Clinical Investigation. -2002. Vol. 109 (6). P. 797-804.
- 63. Bagheri, N. The role of T helper 1-cell response in *Helicobacter pylori*-infection / N. Bagheri, L. Salimzadeh, H. Shirzad // Microbial Pathogenesis. 2018. Vol. 123. P. 1-8.
- 64. Barrera, C. Differential glycosylation of MHC class II molecules on gastric epithelial cells: implications in local immune responses / C. Barrera, R. Espejo, V.E. Reyes // Human Immunology. 2002. Vol. 63 (5). P. 384-393.

- 65. Basu, M. Absence of catalase reduces long-term survival of *Helicobacter pylori* in macrophage phagosomes / M. Basu, S.J. Czinn, T.G. Blanchard // *Helicobacter*. 2004. Vol. 9 (3). P. 211-216.
- 66. Beissert, S. Regulatory T-cells / S. Beissert, A. Schwarz, T. Schwarz //
  Journal of Investigative Dermatology. 2006. Vol. 126 (1). P. 15-24.
- 67. Bell, G.D. Clinical practice breath tests / G.D. Bell // World Journal of Gastroenterology. 1998. Vol. 54 (1). P. 187-193.
- 68. Benoit, S.L. Maier RJ. *Helicobacter* Catalase Devoid of Catalytic Activity Protects the Bacterium against Oxidative Stress / S.L. Benoit, R.J. Maier // Journal of Biological Chemistry. 2016. Vol. 291 (45). P. 23366-23373.
- 69. Bernard, M. The immune modulating activity of the *Helicobacter pylori* HP-NAP: Friend or foe? / M. Bernard, M.M. D'Elios // Toxicon. 2010. Vol. 56 (7). P. 1186-1192.
- 70. Beta-defensins and analogs in *Helicobacter pylori* infections: mRNA expression levels, DNA methylation, and antibacterial activity / R. Pero, T. Angrisano, M. Brancaccio [et al.] // PLoS One. 2019. Vol. 14 (9). P. e0222295.
- 71. Biochemical and functional characterization of *Helicobacter pylori* vesicles / A. Olofsson, A. Vallström, K. Petzold [et al.] // Molecular Microbiology. 2010. Vol. 77 (6). P. 1539-1555.
- 72. Bodger, K. Gastric mucosal secretion of interleukin-10: relations to histopathology, *Helicobacter pylori* status, and tumour necrosis factor-alpha secretion / K. Bodger, J.I. Wyatt, R.V. Heatley // Gut. 1997. Vol. 40 (6). P. 739-744.
- 73. CagA-specific Gastric CD8<sup>+</sup> Tissue-Resident T Cells Control *Helicobacter pylori* During the Early Infection Phase / M.R. Koch, R. Gong, V. Friedrich [et. al.] // Gastroenterology. 2023. Vol. 164 (4). P. 550-566.
- 74. Cancer-related inflammation, the seventh hallmark of cancer: links to genetic instability / F. Colotta, P. Allavena, A. Sica [et al.] // Carcinogenesis. -2009. Vol. 30, N0 7. P. 1073-1081.

- 75. Caruso, R. Emerging role of IL-23/IL-17 axis in *H. pylori*-associated pathology / R. Caruso, F. Pallone, G. Monteleone // World Journal of Gastroenterology. 2007. Vol. 13 (42). P. 5547-5551.
- 76. Castanheira, FVS. Neutrophils and NETs in modulating acute and chronic inflammation / F.V.S. Castanheira, P. Kubes // Blood. 2019. Vol. 133 (20). P. 2178-2185.
- 77. CCL20/CCR6-mediated migration of regulatory T cells to the *Helicobacter pylori*-infected human gastric mucosa / K.W. Cook, D.P. Letley, R.J.M. Ingram [et al.] // Gut. 2014. Vol. 63 (10). P. 1550-1559.
- 78. CD4+CD25high regulatory cells in human peripheral blood / C. Baecher-Allan, J.A. Brown, G.J. Freeman, D.A. Hafler // Journal Immunology. 2001. Vol. 167 (3). P. 1245-1253.
- 79. Cellular evasion strategies of *Helicobacter pylori* in regulating its intracellular fate / W.Y. Sit, Y.A. Chen, Y.L. Chen [et al.] // Seminars in Cell and Developmental Biology. 2020. Vol. 101. P. 59-67.
- 80. Cendron, L. Structural and functional aspects of unique type IV secretory components in the *Helicobacter pylori* cag-pathogenicity island / L. Cendron, G. Zanotti // FEBS Journal. 2011. Vol. 278 (8). P. 1223-1231.
- 81. Chang, W-L. The impacts of *H. pylori* virulence factors on the development of gastroduodenal diseases / W-L. Chang, Y-C. Yeh, B-S. Sheu // Journal of Biomedical Science. 2018. Vol. 25 (1). P. 68.
- 82. Characterisation of worldwide *Helicobacter pylori* strains reveals genetic conservation and essentiality of serine protease HtrA / N. Tegtmeyer, Y. Moodley, Y. Yamaoka [et al.] // Molecular Microbiology. 2016. Vol. 99 (5). P. 925-944.
- 83. Chronic exposure to *Helicobacter pylori* impairs dendritic cell function and inhibits Th1 development / P. Mitchell, C. Germain, P.L. Fiori [et al.] // Infection and Immunity. 2007. Vol. 75 (2). P. 810-819.
- 84. Chronic inflammation in the etiology of disease across the life span // D. Furman, J. Campisi, E. Verdin [et al.] // Nature Medicine. 2019. Vol. 25 (12). P. 1822-1832.

- 85. Chung, Y. Don't leave home without it: the IL-23 visa to TH-17 cells / Y. Chung, C. Dong // Nature Immunology. 2009. Vol. 10 (3). P. 236-238.
- 86. Circulating heat shock protein and heat shock protein antibody levels in established hypertension / A.G. Pockley, U. De Faire, R. Kiessling [et al.] // Hypertens. 2002. Vol. 20 (9). P. 1815-1820.
- 87. Colonization of gnotobiotic piglets by *Helicobacter pylori* deficient in two flagellin genes / K.A. Eaton, S. Suerbaum, C. Josenhans, S. Krakowka // Infection and Immunity. 1996. Vol. 64 (7). P. 2445-2448.
- 88. Comparative analysis of the interaction of *Helicobacter pylori* with human dendritic cells, macrophages, and monocytes / M. Fehlings, L. Drobbe, V. Moos [et al.] // Infection and Immunity. 2012. Vol. 80 (8). P. 2724-2734.
- 89. Comparative Immune Response in Children and Adults with *H. pylori* Infection / A. Razavi, N. Bagheri, F. Azadegan-Dehkordi [et al.] // Journal of Immunology Research. 2015. P. 315957.
- 90. Complex T cell interactions contribute to *Helicobacter pylori* gastritis in mice / B.M. Gray, C.A. Fontaine, S.A. Poe, K.A Eaton // Infection and Immunity. 2013. Vol. 81 (3). P. 740-752.
- 91. Conservation, localization and expression of HopZ, a protein involved in adhesion of *Helicobacter pylori* / B. Peck, M. Ortkamp, K.D. Diehl [et al.] // Nucleic Acids Research. 1999. Vol. 27 (16). P. 3325-3333.
- 92. Contribution of Heptose Metabolites and the *cag* Pathogenicity Island to the Activation of Monocytes/Macrophages by *Helicobacter pylori* / L. Faass, S.C. Stein, M. Hauke [et al.] // Frontiers in Immunology. 2021. Vol. 12. P. e632154.
- 93. Contribution of secretory antibodies to intestinal mucosal immunity against *Helicobacter pylori* / R.J. Gorrell, O.L.C Wijburg, J.S. Pedersen [et al.] // Infection and Immunity. 2013. Vol. 81 (10). P. 3880-3893.
- 94. Cover, T.L. *Helicobacter pylori* VacA, a paradigm for toxin multifunctionality / T.L. Cover, S.R. Blanke // Nature Reviews Microbiology. 2005. Vol. 3 (4). P. 320-332.

- 95. Critical Role of Innate Immunity to Flagellin in the Absence of Adaptive Immunity / J. Zou, X. Zhao, Z. Shi // Infectious Diseases. 2021. Vol. 223 (8). P. 1478-1487.
- 96. Crowe, S.E. *Helicobacter pylori* Infection / S.E. Crowe // The New England Journal of Medicine. 2019. Vol. 380 (12). P. 1158-1165.
- 97. Cuan-Baltazar, Y. Microorganisms associated to thyroid autoimmunity / Y. Cuan-Baltazar, E. Soto-Vega // Autoimmunity Reviews. 2020. Vol. 19 (9). P. 102614.
- 98. Cutting edge: urease release by *Helicobacter pylori* stimulates macrophage inducible nitric oxide synthase / Gobert AP, Mersey BD, Cheng Y [et al.] // Journal of Immunology. 2002. Vol. 168 (12). P. 6002-6006.
- 99. Da Costa, D.M. What exists beyond cagA and vacA? *Helicobacter pylori* genes in gastric diseases / D.M. da Costa, E. dos S. Pereira, S.H.B. Rabenhorst // World Journal of Gastroenterology. 2015. Vol. 21 (37). P. 10563-10572.
- 100. DC-derived IL-18 drives Treg differentiation, murine *Helicobacter pylori*-specific immune tolerance, and asthma protection / M. Oertli, M. Sundquist, I. Hitzler [et al.] // Journal of Clinical Investigation. 2012. Vol. 122 (3). P. 1082-1096.
- 101. Decrease in thyroid autoantibodies after eradication of *Helicobacter pylori* infection / G. Bertalot, G. Montresor, M. Tampieri [et al.] // Clinical Endocrinology. 2004. Vol. 61 (5). P. 650-652.
- 102. Decreased *Helicobacter pylori*-specifi c gastric secretory IgA antibodies in infected patients / S. Birkholz, T. Schneider, U. Knipp [et al.] // Digestion. 1998. Vol. 59 (6). P. 638-645.
- 103. Dendritic cell-derived TGF-β mediates the induction of mucosal regulatory T-cell response to *Helicobacter* infection essential for maintenance of immune tolerance in mice / S.Y. Owyang, M. Zhang, M. El-Zaatari [et al.] // *Helicobacter*. 2020. Vol. 25 (6). P. e12763. 2020. Vol. 25 (6). P. e12763.
- 104. Detection of *Helicobacterpylori*oipA and dupA genes among dyspeptic patients with chronic gastritis / M.S. El-Sayed, N. Musa, M. Eltabbakh [et al.] // Alexandria Journal of Medicine. 2020. Vol. 56 (1). P. 105-110.

- 105. Dharmasena, A. Selenium supplementation in thyroid associated ophthalmopathy: an update / A. Dharmasena // Journal of Ophthalmology. 2014. Vol. 7 (2). P. 365-375.
- 106. Disappearance of antiphospholipid antibodies syndrome after *Helicobacter pylori* eradication / V. Cicconi, E. Carloni, F. Franceschi [et al.] // American Journal of Medicine. 2001. Vol. 111 (2). P. 163-164.
- 107. Diversity of *Helicobacter pylori* isolates in expression of antigens and induction of antibodies / R.X. Tang, D.J. Luo, A.H. Sun, J. Yan // World Journal of Gastroenterology. 2008. Vol. 14 (30). P. 4816-4822.
- 108. Dörner, T. Novel paradigms in systemic lupus erythematosus / T. Dörner, R. Furie // Lancet. 2019. Vol. 393 (10188). P. 2344-2358.
- 109. Dunne, C. Factors that mediate colonization of the human stomach by *Helicobacter pylori* / C. Dunne, B. Dolan, M. Clyne //World Journal of Gastroenterology. 2014. Vol. 20 (19). P. 5610-5624.
- 110. Effect of early eradication therapy on systemic lupus erythematosus risk in patients with *Helicobacter pylori* infection: a nationwide population-based cohort study / M-C. Wu, J-Y. Huang, H-H. Chen, J.C-C. Wei // Lupus. 2006. Vol. 29 (7). P. 751-760.
- 111. Effect of IL-21 on the balance of Th17 cells/Treg cells in the pathogenesis of Graves' disease / Y. Tan, W. Chen, C. Liu [et al.] // Endocrine Research. 2019. Vol. 44 (4). P. 138-147.
- 112. Effects of cytotoxin-associated gene A (CagA) positive *Helicobacter pylori* infection on anti-platelet glycoprotein antibody producing B cells in patients with primary idiopathic thrombocytopenic purpura (ITP) / Y.S. Cheng, L.P. Kuang, C.L. Zhuang [et al.] // Pakistan Journal of Medical Sciences. 2015. Vol. 31 (1). P. 121-126.
- 113. Eradication of *Helicobacter pylori* may reduce disease severity in rheumatoid arthritis / P. Zentilin, B. Seriolo, P. Dulbecco [et al.] // Alimentary Pharmacology & Therapeutics. 2002. Vol. 16 (7). P. 1291-1299.

- 114. Epidemiology of *Helicobacter pylori* infection in the Russian Federation from 1990 to 2023: a systematic review / D.S. Bordin, E.S. Kuznetsova, E.E. Stauver [et al.] // Russian Medical Inquiry. 2024. Vol. 8 (5). P. 260-267.
- 115. Evaluation of Th17-related cytokines and receptors in multiple sclerosis patients under interferon  $\beta$ -1 therapy / G. Esendagli, A.T. Kurne, G. Sayat [et al.] // Journal of Neuroimmunology. -2013. Vol. 255 (1-2). P. 81-84.
- 116. Evasion of Toll-like receptor 5 by flagellated bacteria / E. Andersen-Nissen, K.D. Smith, K.L. Strobe [et al.] // Proceedings of the National Academy of Sciences. 2005. Vol. 102 (26). P. 9247-9252.
- 117. Expression of LL-37 by human gastric epithelial cells as a potential host defense mechanism against *Helicobacter pylori* / K. Hase, M. Murakami, M. Iimura [et al.] // Gastroenterology. 2003. Vol. 125 (6). P. 1613-1625.
- 118. Extraction of IgE-bindingcomponents of *Helicobacter pylori* by immunoblotting analysis in chronic urticarial patients / M. Liutu, K. Kalimo, J. Uksila, J. Savolainen // International Archives of Allergy and Immunology. 2001. Vol. 126 (3). P. 213-217.
- 119. Four Chromosomal Type IV Secretion Systems in *Helicobacter pylori:* Composition, Structure and Function / W. Fischer, N. Tegtmeyer, K. Stingl, S. Backert // Frontiers in Immunology. 2020. Vol. 11. P. 1592.
- 120. Four modes of adhesion are used during *Helicobacter pylori* binding to human mucins in the oral and gastric niches / S.K. Lindén, C. Wickström, G. Lindell [et. al.] // *Helicobacter*. 2008. Vol. 13 (2). P. 81-93.
- 121. FOXP3+ regulatory T cells in the human immune system / S. Sakaguchi, M. Miyara, C.M. Costantino, D.A. Hafler // Nature Reviews Immunology. 2010. Vol. 10 (57). P. 490-500.
- 122. FOXP3-expressing CD4(+) T-cell numbers increase in areas of duodenal gastric metaplasia and are associated to CD4(+) T-cell aggregates in the duodenum of *Helicobacter pylori*-infected duodenal ulcer patients / B. Kindlund, A. Sjöling, M. Hansson [et al.] // *Helicobacter*. 2009. Vol. 14 (3). P. 192-201.

- 123. Freydlin, I.S. Regulatory T-cells: origin and function / I.S. Freydlin // Medical Immunology. 2005. Vol. 7 (4). P. 347-354.
- 124. FrxA is an S-nitrosoglutathione reductase enzyme that contributes to *Helicobacter pylori* pathogenicity / M.C. Justino, M.R. Parente, I.G. Boneca, L.M. Saraiva // FEBS. 2014. Vol. 281 (19). P. 4495-4505.
- 125. Function and recruitment of mucosal regulatory T cells in human chronic *Helicobacter pylori* infection and gastric adenocarcinoma // K. Enarsson, A. Lundgren, B. Kindlund, M. Hermansson [et al.] // Clinical Immunology. 2006. Vol. 121 (3). P. 358-368.
- 126. Functional and intracellular signaling differences associated with the *Helicobacter pylori* AlpAB adhesin from Western and East Asian strains / H. Lu, J.Y. Wu, E.J. Beswick [et al.] // Journal of Biological Chemistry. 2007. Vol. 282 (9). P. 6242-6254.
- 127. Functional Properties of Oligomeric and Monomeric Forms of *Helicobacter pylori* VacA Toxin / G.C. Caso, M.S. McClain, A.L. Erwin [et al.] // Infection and Immunity. 2021. Vol. 89 (12). P. e0034821.
- 128. Gastric antimicrobial peptides fail to eradicate *Helicobacter pylori* infection due to selective induction and resistance / S. Nuding, M. Gersemann, Y. Hosaka [et al.] // PLoS One. 2013. Vol. 8 (9). P. e73867.
- 129. Gastric epithelial cell death caused by *Helicobacter* suis and *Helicobacter* pylori γ-glutamyl transpeptidase is mainly glutathione degradation-dependent / B. Flahou, F. Haesebrouck, K. Chiers [et al.] // Cellular Microbiology. 2011. Vol. 13 (12). P. 1933-1955.
- 130. Gastric expression of IL-17A and IFN-γ in *Helicobacter pylori* infected individuals is related to symptoms / J. Adamsson, L.S. Ottsjo, S.B. Lundin [et al.] // Cytokine. 2017. Vol. 99. P. 30-34.
- 131. Gastrointestinal disorder and *Helicobacter pylori* infection in patients with rheumatoid arthritis / H. Nakamura, E. Mukai, D. Hirano // Modern Rheumatology. 1996. Vol. 11(1). P. 23-27.

- 132. Genetic and functional characterization of the alpAB gene locus essential for the adhesion of *Helicobacter pylori* to human gastric tissue / S. Odenbreit, M. Till, D. Hofreuter [et al.] // Molecular Microbiology. 1999. Vol. 31 (5). P. 1537-1548.
- 133. Genetic polymorphisms in the toll-like receptor signalling pathway in *Helicobacter pylori* infection and related gastric cancer / N. Castaño-Rodríguez, N. Kaakoush, A.L. Pardo [et al.] // Human Immunology. 2014. Vol. 75 (8). P. 808-815.
- 134. Global prevalence of *Helicobacter pylori* infection between 1980 and 2022: a systematic review and meta-analysis / Y. Li, H. Choi, K. Leung [et al.] // Lancet Gastroenterology Hepatology. 2023. Vol. 8 (6). P. 553-564.
- 135. Gu, H. Role of Flagella in the Pathogenesis of *Helicobacter pylori* / H. Gu // Current Microbiology. 2017. Vol. 74 (7). P. 863-869.
- 136. Gumbiner, B.M. Regulation of cadherin adhesive activity / B.M. Gumbiner // Journal of Cell Biology. 2000. Vol. 148 (3). P. 399-404.
- 137. Hasni, S. *Helicobacter pylori* and autoimmune diseases / S. Hasni, A. Ippolito, G.G. Illei // Oral Diseases. 2011. Vol. 17 (7). P. 369. 621-627.
- 138. *Helicobacter pylori* adhesin HopQ engages in a virulence-enhancing interaction with human CEACAMs / A. Javaheri, T. Kruse, K. Moonens Kadowaki [et al.] // Nature Microbiology. 2016. Vol. 2. P. 16189.
- 139. *Helicobacter pylori* and autoimmune disease: cause or bystander / D.S. Smyk, A.L. Koutsoumpas, M.G. Mytilinaiou [et al.] // World Journal of Gastroenterology. 2014. Vol. 20 (3). P. 613-629.
- 140. *Helicobacter pylori* and Autoimmune Diseases: Involving Multiple Systems / L. Wang, Z-M. Cao, L-L. Zhang [et al.] // Frontiers in Immunology. 2022. Vol. 13. P. 833424.
- 141. *Helicobacter pylori* and rheumatoid arthritis / L.B. Graff, L.P. Andersen, A. Gernow [et al.] // Journal of Pre-Clinical and Clinical Research. 2007. Vol. 1 (1). P. 369.68-73.

- 142. *Helicobacter pylori* and T Helper Cells: Mechanisms of Immune Escape and Tolerance / T. Larussa, I. Leone, E. Suraci [et al.] // Journal of Immunology Research. 2015. P. 981328.
- 143. *Helicobacter pylori* arginase inhibits nitric oxide production by eukaryotic cells: a strategy for bacterial survival / A.P. Gobert, D.J. McGee, M. Akhtar [et al.] // PNAS. 2001. Vol. 98 (24). P. 13844-13849.
- 144. *Helicobacter pylori* arginase inhibits T cell proliferation and reduces the expression of the TCR zeta-chain (CD3zeta) / J. Zabaleta, D.J. McGee, A.H. Zea [et al.] // Journal of Immunology. 2004. Vol. 173 (1). P. 586-593.
- 145. *Helicobacter pylori* BabA-SabA Key Roles in the Adherence Phase: The Synergic Mechanism for Successful Colonization and Disease Development / D. Doohan, Y.A.A. Rezkitha, L.A. Waskito [et al.] // Toxins (Basel). 2021. Vol. 13 (7). P. 485.
- 146. *Helicobacter pylori* virulence factors-mechanisms of bacterial pathogenicity in the gastric microenvironment / J. Baj, A. Forma, M. Sitarz [et al.] // Cells. 2021. Vol. 10 (1). P. 27.
- 147. *Helicobacter pylori* CagA / M.R. Amieva, R. Vogelmann, A. Covacci [et al.] // Science. 2003. Vol. 300 (5624). P. 1430-1434.
- 148. *Helicobacter pylori* CagA antibodies and thyroid function in latent autoimmune diabetes in adults / A.P. Delitala, G.M. Pes, A. Errigo [et al.] // European Review for Medical and Pharmacological Sciences. 2016. Vol. 20 (1). P. 4041-4047.
- 149. *Helicobacter pylori* cagL amino acid polymorphism D58E59 pave the way toward peptic ulcer disease while N58E59 is associated with gastric cancer in north of Iran / M.R. Cherati, J. Shokri-Shirvani, A.K. Lee [et al.] // International Journal of Molecular Sciences. 2017. Vol. 107. P. 413-418.
- 150. *Helicobacter pylori* cholesterol glucosylation modulates autophagy for increasing intracellular survival in macrophages / C.H. Lai, J.C. Huang, H.H. Cheng [et. al.] // Cellular Microbiology. 2018. Vol. 20 (12). P. e12947.

- 151. *Helicobacter pylori* Colonization Protects Against Chronic Experimental Colitis by Regulating Th17/Treg Balance / H. Zhang, Y. Dai, Y. Liu [et al.] // Inflammatory bowel disease. 2018. Vol. 24 (7). P. 1481-1492.
- 152. *Helicobacter pylori* cytotoxin-associated gene A impairs human dendritic cell maturation and function through IL-10-mediated activation of STAT3 / R. Kaebisch, R. Mejías-Luque, C. Prinz, M. Gerhard // Immunology. 2014. Vol. 192 (1). P. 316-323.
- 153. *Helicobacter pylori* Depletes Cholesterol in Gastric Glands to Prevent Interferon Gamma Signaling and Escape the Inflammatory Response / P. Morey, L. Pfannkuch, E. Pang [et al.] // Gastroenterology. 2018. Vol. 154 (5). P. 1391-1404.
- 154. *Helicobacter pylori* disrupts NADPH oxidase targeting in human neutrophils to induce extracellular superoxide release / L-A. H. Allen, B.R. Beecher, J.T. Lynch [et al.] // Immunology. 2005. Vol. 174 (6). P. 3658-3667.
- 155. *Helicobacter pylori* exploits a unique repertoire of type IV secretion system components for pilus assembly at the bacteria-host cell interface / C.L. Shaffer, J.A. Gaddy, J.T. Loh [et al.] // PLoS Pathogens. 2011. Vol. 7 (9). P. e1002237.
- 156. *Helicobacter pylori* Exploits the NLRC4 Inflammasome to Dampen Host Defenses / R.P. Semper, M. Vieth, M. Gerhard, R. Mejías-Luque // Immunology. 2019. Vol. 203 (8). P. 2183-2193.
- 157. *Helicobacter pylori* has an unprecedented nitric oxide detoxifying system / M.C. Justino, C. Ecobichon, A.F. Fernandes [et al.] // Antioxid Redox Signal. 2012. Vol. 17 (9). P. 1190-1200.
- 158. *Helicobacter pylori* heat shock protein 60 mediates interleukin-6 production by macrophages via a toll-like receptor (TLR)-2-, TLR-4-, and myeloid differentiation factor 88-independent mechanism / A.P. Gobert, J.C. Bambou, C.Werts [et al.] // Journal of Biological Chemistry. 2004. Vol. 279 (1). P. 245-250.
- 159. *Helicobacter pylori* heat-shock protein 60 induces interleukin-8 via a Toll-like receptor (TLR)2 and mitogen-activated protein (MAP) kinase pathway in human monocytes / Y. Zhao, K. Yokota, K. Ayada [et al.] // Journal of Medical Microbiology. 2007. Vol. 56 (2). P. 154-164.

- 160. *Helicobacter pylori* HtrA is a new secreted virulence factor that cleaves E-cadherin to disrupt intercellular adhesion / B. Hoy, M. Löwer, C. Weydig [et al.] // EMBO Reports. 2010. Vol. 11 (10). P. 798-804.
- 161. *Helicobacter pylori* immune escape is mediated by dendritic cell-induced Treg skewing and Th17 suppression in mice / J.Y. Kao, M. Zhang, M.J. Miller [et. al.] // Gastroenterology. 2010. Vol. 138 (3). P. 1046-1054.
- 162. *Helicobacter pylori* induces activation of human peripheral  $\gamma\delta+$  T lymphocytes / B. Romi, E. Soldaini, L. Pancotto [et al.] // PLoS One. 2011. Vol. 6 (4). P. e19324.
- 163. *Helicobacter pylori* induces ERK-dependent formation of a phospho-c-Fos c-Jun activator protein-1 complex that causes apoptosis in macrophages / M. Asim, R. Chaturvedi, S Hoge [et al.] // Journal of Biological Chemistry. 2010. Vol. 285 (26). P. 20343-20357.
- 164. *Helicobacter pylori* induces increased expression of Toll-like receptors and decreased Toll-interacting protein in gastric mucosa that persists throughout gastric carcinogenesis / P. Pimentel-Nunes, N. Gonçalves, I. Boal-Carvalho [et al.] // *Helicobacter*. 2013. Vol. 18 (1). P. 22-32.
- 165. *Helicobacter pylori* infection and atrophic gastritis. A case-control study in a rural town of Japan / Y. Watanabe, K. Ozasa, A. Higashi [et al.] // Journal of Clinical Gastroenterology. 1997. Vol. 25 (1). P. 391-394.
- 166. *Helicobacter pylori* infection and autoimmune diseases; Is there an association with systemic lupus erythematosus, rheumatoid arthritis, autoimmune atrophy gastritis and autoimmune pancreatitis? A systematic review and meta-analysis study / M. Youssefi, M. Tafaghodi, H. Farsiani [et al.] // Journal of Microbiology, Immunology and Infection. 2021. Vol. 54 (3). P. 359-369.
- 167. *Helicobacter pylori* infection and autoimmune thyroid disease in young patients: the disadvantage of carrying the human leukocyte antigen-DRB1\*0301 allele / D. Larizza, V. Calcaterra, M. Martinetti [et al.] // Journal of Clinical Endocrinology & Metabolism. 2006. Vol. 91 (11). P. 176-179.

- 168. *Helicobacter pylori* Infection and Autoimmune Thyroid Diseases: The Role of Virulent Strains / N. Figura, G.D. Cairano, E.Moretti [et al.] // Antibiotics (Basel). 2019. Vol. 9 (1). P. 12.
- 169. *Helicobacter pylori* infection and gastroduodenal lesions in patients with systemic lupus erythematosus / C. Mendoza-Pinto, M. García-Carrasco, S. Méndez-Martínez [et al.] // Clinical Rheumatology. 2020. Vol. 39 (2). P. 463-469.
- 170. *Helicobacter pylori* Infection Elicits Type I Interferon Response in Human Monocytes via Toll-Like Receptor 8 Signaling / C.Y.Q. Lee, Y.T. Chan, Y.Y. Cheok [et. al.] // Immunology. 2022. P. 3861518.
- 171. *Helicobacter pylori* infection in connective tissue disorders is associated with high levels of antibodies to mycobacterial hsp65 but not to human hsp60 / L. Kalabay, B. Fekete, L. Czirjak [et al.] // *Helicobacter*. 2009. Vol. 7 (4). P. 250-256.
- 172. *Helicobacter pylori* infection in patients with Hashimoto's thyroiditis / F. Franceschi, M.A. Satta, M.C. Mentella [et al.] // *Helicobacter*. 2004. Vol. 9 (4). P. 369.
- 173. *Helicobacter pylori* infection in rheumatic diseases / H. Wen, J. Luo, J. Li, X. Li // Arthritis Research and Therapy. 2012. Vol. 14 (1). P. 74.
- 174. *Helicobacter pylori* infection increased anti-dsDNA and enhanced lupus severity in symptomatic fcgammariib-deficient lupus mice / S. Surawut, W. Panpetch, J. Makjaroen [et al.] // Frontiers in Microbiology. 2018. Vol. 9. P. 1488.
- 175. *Helicobacter pylori* infection is markedly increased in patients with autoimmune atrophic thyroiditis / D.A. de Luis, C. Varela, C.H. de La [et al.] // Journal of Clinical Gastroenterology. 1998. Vol. 26 (4). P. 259-263.
- 176. *Helicobacter pylori* infection is not associated with rheumatoid arthritis / L.E. Bartels, A.B. Pedersen, N.R. Kristensen [et al.] // Scandinavian Journal of Rheumatology. 2019. Vol. 48 (1). P. 24-31.
- 177. *Helicobacter pylori* modulates host cell responses by CagT4SS-dependent translocation of an intermediate metabolite of LPS inner core heptose biosynthesis /

- S.C. Stein, E. Faber, S.H. Bats [et al.] // PLOS Pathogens. 2017. Vol. 13 (7). P. e1006514.
- 178. *Helicobacter pylori* Neutrophil-Activating Protein Directly Interacts with and Activates Toll-like Receptor 2 to Induce the Secretion of Interleukin-8 from Neutrophils and ATRA-Induced Differentiated HL-60 Cells / S.H. Wen, Z.W. Hong, C.C. Chen [et al.] // International Journal of Molecular Sciences. 2021. Vol. 22 (21). P. 11560.
- 179. *Helicobacter pylori* outer inflammatory protein A (OipA) suppresses apoptosis of AGS gastric cells in vitro / A.R. Al-Maleki, M.F. Loke, S.Y. Lui [et al.] // Cell Microbiology. 2017. Vol. 19 (12). P. e12771.
- 180. *Helicobacter pylori* Outer Membrane Vesicles and Extracellular Vesicles from *Helicobacter pylori*-Infected Cells in Gastric Disease Development / M.F. González, P. Díaz, A. Sandoval-Bórquez [et al.] // International Journal of Molecular Sciences. 2021. Vol. 22 (9). P. 4823.
- 181. *Helicobacter pylori* polyclonally activates murine CD4 (+) T cells in the absence of antigen-presenting cells / C. Rosenplänter, F. Sommer, P. Kleemann [et al.] // European Journal of Immunology. 2007. Vol. 37 (7). P. 1905-1915.
- 182. *Helicobacter pylori* protein HP0175 transactivates epidermal growth factor receptor through TLR4 in gastric epithelial cells / S. Basu, S.K. Pathak, G. Chatterjee [et al.] // Journal of Biological Chemistry. 2008. Vol. 283 (47). P. 32369-32376.
- 183. *Helicobacter pylori* SabA adhesin in persistent infection and chronic inflammation / J. Mahdavi, B. Sondén, M. Hurtig [et al.] // Science. 2002. Vol. 297 (5581). P. 573-578.
- 184. *Helicobacter pylori* serology in autoimmune diseases fact or fiction? / M. Ram, O. Barzilai, Y. Shapira [et al.] // Clinical Chemistry and Laboratory Medicine. 2013. Vol. 51(5). P. 1075-1082.
- 185. *Helicobacter pylori* stimulates dendritic cells to induce interleukin-17 expression from CD4+ T lymphocytes / W. Khamri, M.M. Walker, P. Clark [et. al.] // Infection and Immunity. -2010. Vol. -78 (2). -P. 845-853.

- 186. *Helicobacter pylori* strains vary cell shape and flagellum number to maintain robust motility in viscous environments / L.E. Martínez, J.M. Hardcastle, J. Wang [et al.] // Molecular Microbiology. 2016. Vol. 99 (1). P. 88-110.
- 187. *Helicobacter pylori* uptake and efflux: basis for intrinsic susceptibility to antibiotics *in vitro* / J.E. Bina, R.A. Alm, M. Uria-Nickelsen [et al.] // Antimicrobial Agents Chemotherapy. 2000. Vol. 44 (2). P. 248-254.
- 188. *Helicobacter pylori* VacA Targets Myeloid Cells in the Gastric Lamina Propria To Promote Peripherally Induced Regulatory T-Cell Differentiation and Persistent Infection / A. Altobelli, M. Bauer, K. Velez [et al.] // mBio. 2019. Vol. 10 (2). P. e00261.
- 189. *Helicobacter pylori* virulence factors-mechanisms of bacterial pathogenicity in the gastric microenvironment / J. Baj, A. Forma, M. Sitarz [et al.] // Cells. 2020. Vol. 10 (1). P. 27.
- 190. *Helicobacter pylori* γ-glutamyl transferase contributes to colonization and differential recruitment of T cells during persistence / S. Wüstner, F. Anderl, A. Wanisch [et al.] // Scientific Reports. 2021. Vol. 7 (1). P. 13636.
- 191. *Helicobacter pylori*-derived heat shock protein 60 increases the induction of regulatory T-cells associated with persistent infection / W.T. Hsu, S.Y. Ho, T.Y. Jian [et al.] // Microbial Pathogenesis. 2018. Vol. 119. P. 152-161.
- 192. *Helicobacter pylori*-induced REDD1 modulates Th17 cell responses that contribute to gastritis / Z.B. Yan, J.Y. Zhang, Y.P. Lv [et al.] // Clinical science. 2021. Vol. 135 (22). P. 2541-2558.
- 193. *Helicobacter pylori*-infected human neutrophils exhibit impaired chemotaxis and a uropod retraction defect / A. Prichard, L. Khuu, L.C. Whitmore [et al.] // Frontiers in Immunology. 2022. Vol. 13. P. 1038349.
- 194. *Helicobacter pylori*-specific CD4+ CD25high regulatory T cells suppress memory T-cell responses to *H. pylori* in infected individuals / A. Lundgren, E.l. Suri-Payer, K. Enarsson [et al.] // Infection and Immunity. 2003. Vol. 71 (4). P. 1755- 1762.

- 195. Highly significant role of *Helicobacter pylori* urease in phagocytosis and production of oxygen metabolites by human granulocytes / A. Makristathis, E. Rokita, A. Labigne [et al.] // journal of the Infectious Diseases. 1998. Vol. 177 (3). P. 803-806.
- 196. Highly-purified *Helicobacter pylori* LPS preparations induce weak inflammatory reactions and utilize Toll-like receptor 2 complex but not Toll-like receptor 4 complex / S. Yokota, T. Ohnishi, M. Muroi [et al.] // FEMS Immunology and Medical Microbiology. 2007. Vol. 51 (1). P. 140-148.
- 197. Hoover, D.M. The structure of human  $\beta$ -defensin-1: new insights into structural properties of  $\beta$ -defensins / D.M. Hoover, O. Chertov, J. Lubkowski // Journal of Biological Chemistry.  $-2001.-V.\ 276\ (42).-P.\ 39021-39026.$
- 198. Hu, X. Cross-regulation of signaling pathways by interferon-gamma: implications for immune responses and autoimmune diseases / X. Hu, L.B. Ivashkiv // Immunity. 2009. Vol. 31 (4). P. 539-550.
- 199. Human beta-defensin-3 induction in *H. pylori*-infected gastric mucosal tissues / K. Kawauchi, A. Yagihashi, N. Tsuji [et. al.] // Gastroenterology. 2006. Vol. 12 (36). P. 5793-5797.
- 200. Human primary gastric dendritic cells induce a Th1 response to *H. pylori /* D. Bimczok, R.H. Clements, K.B. Waites [et al.] // Mucosal Immunology. 2010. Vol. 3 (3). P. 260-269.
- 201. Human  $\beta$ -defensins / M. Pazgier, D.M. Hoover, D. Yang [et al.] // Cellular and Molecular Life Sciences. 2006. Vol. 63 (11). P. 1294-1313.
- 202. Hyperproduction of IL-23 and IL-17 in patients with systemic lupus erythematosus: implications for Th17-mediated inflammation in auto-immunity / C.K. Wong, L.C.W. Lit, L.S. Tam [et al.] // Clinical Immunology. 2008. Vol.127 (3). P. 385-393.
- 203. Identification and characterization of binding properties of *Helicobacter pylori* by glycoconjugate arrays / A. Walz, S. Odenbreit, J. Mahdavi [et. al.] // Glycobiology. 2005. Vol. 15 (7). P. 700-708.

- 204. Identification of a novel antibody associated with autoimmune pancreatitis / L. Frulloni, C. Lunardi, R. Simone [et al.] // New England Journal of Medicine. 2009. Vol. 361 (22). P. 369. 2135-2142.
- 205. Identification of E-cadherin signature motifs functioning as cleavage sites for *Helicobacter pylori* HtrA / T.P. Schmidt, A.M. Perna, T. Fugmann [et al.] // Scientific Reports. 2016. Vol. 6. P. 23264.
- 206. IgE-containing cells in gastric mucosa with and without *Helicobacter pylori* infection / L. Berczi, A. Sebestyén, B. Fekete [et al.] // Pathology, Research and Practice. 2000. Vol. 196 (12). P. 831-834.
- 207. IL-17 is involved in *Helicobacter pylori*-induced gastric inflammatory responses in a mouse model / S. Shiomi, A. Toriie, S. Imamura [et al.] // *Helicobacter*. 2008. Vol. 13 (6). P. 518-524.
- 208. IL-17A and IL-17F gene expression is strongly induced in the mucosa of *H. pylori*-infected subjects from Kenya and Germany / A. Kimang'a, G. Revathi, S. Kariuki, [et. al.] // Scandinavian Journal of Immunology. 2010. Vol. 72 (6). P. 522-528.
- 209. IL-23 Contributes to Control of Chronic *Helicobacter pylori* Infection and the Development of T Helper Responses in a Mouse Model / D.J.H. Jr, M.K. Washington, V.A. Cope, H.M.S. Algood // Frontiers in Immunology. 2012. Vol. 3. P. 56.
- 210. Implications for a role of interleukin-23 in the pathogenesis of chronic gastritis and of peptic ulcer disease / V. Koussoulas, S. Vassiliou, E.J. Giamarellos-Bourboulis [et al.] // Clinical & Experimental Immunology. 2009. Vol. 156 (1). P. 97-101.
- 211. Implications for induction of autoimmunity via activation of B-1 cells by *Helicobacter pylori* urease / S. Yamanishi, T. Iizumi, E. Watanabe [et al.] // Infection and Immunity. 2006. Vol. 74 (1). P. 248-256.
- 212. Importance of *Helicobacter pylori* oipA in clinical presentation, gastric inflammation, and mucosal interleukin-8 production / Y. Yamaoka, S. Kikuchi, H.M.T. el-Zimaity [et al.] // Gastroenterology. 2002. Vol. 123 (2). P. 414-424.

- 213. Increased numbers of Foxp3-positive regulatory T cells in gastritis, peptic ulcer and gastric adenocarcinoma / H-H. Cheng, G-Y. Tseng, H-B. Yang [et al.] // World Journal of Gastroenterology. 2012. Vol. 18 (1). P. 34-43.
- 214. Increased risk of systemic lupus erythematosus in patients with *Helicobacter pylori* infection: a nationwide population-based cohort study / M-C. Wu, P-Y. Leong, J. Y. Chiou [et al.] // Frontiers of *Medicine*. 2020. Vol. 6. P. 330.
- 215. Induction of a Th17 cell response by *Helicobacter pylori* Urease subunit B / J-Y. Zhang, T. Liu, H. Guo [et al.] // Immunobiology. 2011. Vol. 216 (7). P. 803-810.
- 216. Induction of TLR-2 and TLR-5 expression by *Helicobacter pylori* switches cagPAI-dependent signalling leading to the secretion of IL-8 and TNF- $\alpha$  / S.K. Pachathundikandi, S. Brandt, J. Madassery, S. Backert // PLoS One. 2011. Vol. 6 (5). P. e19614.
- 217. Induction of TLR4/TLR2 Interaction and Heterodimer Formation by Low Endotoxic Atypical LPS / S. Francisco, J.M. Billod, J. Merino [et al.] // Frontiers in Immunology. 2022. Vol. 12. P. 748303.
- 218. Infectious aspects and the etiopathogenesis of rheumatoid arthritis / M.K. Meron, H. Amital, D. Shepshelovich [et al.] // Clinical Reviews in Allergy & Immunology. 2010. Vol. 38 (2-3). P. 287-291.
- 219. Infectious origin of the antiphospholipid syndrome / Y. Shoenfeld, M. Blank, R. Cervera [et al.] // Annals of the Rheumatic Diseases. 2006. Vol. 65 (1). P. 2-6.
- 220. Influence of *Helicobacter pylori* infection on risk of rheumatoid arthritis: a nationwide population-based study / T.H. Lee, M.C. Wu, M.H. Lee [et al.] // BMC Gastroenterology. 2023. Vol. 13 (1). P. 15125.
- 221. Influence of *Helicobacter pylori* virulence factors CagA and VacA on pathogenesis of gastrointestinal disorders / S. Nejati, A. Karkhah, H. Darvish [et. al.] // Microbial Pathogenesis. 2018. Vol. 117. P. 43-48.
- 222. Ingegnoli, F. Rheumatoid factors: clinical applications/ F. Ingegnoli, R. Castelli, R. Gualtierotti // Disease Markers. 2013. Vol. 35 (6). P. 727-734.

- 223. Innate Immunity Crosstalk with *Helicobacter pylori*: Pattern Recognition Receptors and Cellular Responses / Y.Y. Cheok, G.M.Y. Tan, C.Y.Q. Lee [et al.] // International Journal of Molecular Sciences. 2022. Vol. 23 (14). P. 7561.
- 224. Innocenti, M. *Helicobacter pylori* lipopolysaccharides preferentially induce CXC chemokine production in human monocytes / M. Innocenti, A.M. Svennerholm, M. Quiding-Järbrink // Infection and Immunity. 2001. Vol. 69 (6). P. 3800-3808.
- 225. Interferon gamma-signature transcript profiling and IL-23 upregulation in response to *Helicobacter pylori* infection / J.R. Vivas, B. Regnault, V. Michel [et al.] // International Journal Immunopathology Pharmacology. 2008. Vol. 21(3). P. 515-526.
- 226. Interleukin-17 levels in *Helicobacter pylori*-infected gastric mucosa and pathologic sequelae of colonization / T. Mizuno, T. Ando, K. Nobata [et al.] // World Journal of Gastroenterology. 2005. Vol. 11 (406). P. 6305-6311.
- 227. Interleukin-17C in human *Helicobacter pylori* gastritis / S. Tanaka, H. Nagashima, M. Cruz [et al.] // Infection and Immunity. 2017. Vol. 85 (10). P. e00389-00417.
- 228. International consensus statement on an update of the classification criteria for definite antiphospholipid syndrome (APS) / S. Miyakis, M.D. Lockshin, T. Atsumi [et al.] // Journal of Thrombosis and Haemostasis. 2006. Vol. 4 (2). P. 295-306.
- 229. Interplay of the Gastric Pathogen *Helicobacter pylori* with Toll-Like Receptors / S.K. Pachathundikandi, J. Lind, N. Tegtmeyer [et al.] // BioMed Research International. 2015. P. 192420.
- 230. Is there anything to the reported association between *Helicobacter pylori* infection and autoimmune thyroiditis? / P.A. Tomasi, M.P. Dore, G. Fanciulli [et al.] // Digestive Diseases and Sciences. 2005. Vol. 50 (2). P. 385-388.
- 231. Isolating, immunophenotyping and ex vivo stimulation of CD4+ and CD8+ gastric lymphocytes during murine *Helicobacter pylori* infection / V.E. Ruiz, M. Sachdev, S. Zhang [et al.] // Immunological Methods. 2012. Vol. 384 (1-2). P. 157-163.

- 232. Jang, T.J. The number of Foxp3-positive regulatory T cells is increased in *Helicobacter pylori* gastritis and gastric cancer / T. J. Jang // Pathology, Research and Practice. 2010. Vol. 206 (1). P. 34-38.
- 233. Jones, S.T. Serological evidence of infection with *Helicobacter pylori* may predict gastrointestinal intolerance to non-steroidal anti-inflammatory drug (NSAID) treatment in rheumatoid arthritis / S.T. Jones, R.B. Clague, J. Eldridge, D.M. Jones // British Journal of Rheumatology. 1991. –Vol. 30 (1). P. 16-20.
- 234. Kabir, S. The role of interleukin-17 in the *Helicobacter pylori* induced infection and immunity / S. Kabir // *Helicobacter*. − 2014. − Vol. 16, № 1. − P. 1-8.
- 235. Kandulski, A. Role of Regulatory T-cells in *H. pylori*-induced gastritis and gastric cancer / A. Kandulski, P. Malfertheiner, T. Wex // Anticancer Research. 2010. Vol. 30 (4). P. 1093-1103.
- 236. Kao, C-Y. *Helicobacter pylori* infection: An overview of bacterial virulence factors and pathogenesis / C-Y. Kao, B-S. Sheu, J-J. Wu // Biomedical Journal. 2016. Vol. 39 (1). P. 14-23.
- 237. Khamashta, M. Antiphospholipid syndrome / M. Khamashta, M. Taraborelli, S. Sciascia, A. Tincani // Best Practice & Research: Clinical Rheumatology. –2016. Vol. 30 (1). P. 133-148.
- 238. Khomeriki, S.G. *Helicobacter pylori* inducer and effector of oxidative stress in the gastric mucosa: traditional concepts and new data / S.G. Khomeriki // Experimental and Clinical Gastroenterology. 2006. Vol. 1. P. 37-46.
- 239. Kiriakidou, M. Systemic Lupus Erythematosus / M. Kiriakidou, C.L. Ching // Annals of Internal Medicine. 2020. Vol. 172 (11). P. ITC81-ITC96.
- 240. Korani, M. *Helicobacter Pylori* Infection: Association with Hashimoto's Thyroiditis / M. Korani, E. Elshayeb, A. Sonbal // Gastroenterology and Hepatology: Open Access. 2016. Vol. 4 (5). P. 00111.
- 241. Krzyżek, P. Transformation of *Helicobacter pylori* into Coccoid Forms as a Challenge for Research Determining Activity of Antimicrobial Substances / P. Krzyżek, R. Grande // Pathogens. 2020. Vol. 9 (3). P. 184.

- 242. Kusters, J.G. Pathogenesis of *Helicobacter pylori* Infection / J.G. Kusters, A.H.M.V. Vliet, E.J. Kuipers // Clinical Microbiology Reviews. 2006. Vol. 19 (3). P. 449-490.
- 243. Laurence, A. A degrading view of regulatory T cells / A. Laurence, Y. Belkaid, J.J. O'Shea // Immunity. 2013. Vol. 39 (2). P. 201-203.
- 244. Lazar, S. Systemic lupus erythematosus: New Diagnostic and Therapeutic Approaches / S. Lazar, J.M. Kahlenberg // Annual Review of Medicine. 2023. Vol. 74. P. 339-352.
- 245. Li, D. Pattern recognition receptors in health and diseases / D. Li, M. Wu // Signal Transduction and Targeted Therapy. 2021. Vol. 6 (1). P. 291.
- 246. Liao, W. Interleukin-2 at the crossroads of effector responses, tolerance, and immunotherapy / W. Liao, J.X. Lin, W.J. Leonard // Immunity. 2013. Vol. 38 (1). P. 13-25.
- 247. Loss of the balance between CD4(+) Foxp3(+) regulatory T cells and CD4(+)IL17A(+) Th17 cells in patients with type 1 diabetes / M. Ryba-Stanisławowska, M. Skrzypkowska, M. Myśliwiec, J. Myśliwska // Human Immunology. 2013. Vol. 74 (6). P. 701-707.
- 248. Magalhães, A. *Helicobacter pylori* adhesion to gastric epithelial cells is mediated by glycan receptors / A. Magalhães, C.A. Reis // Brazilian Journal of Medical and Biological Research. 2010. Vol. 43 (7). P. 611-618.
- 249. Mahmood, S. Infection by CagA Positive Strains of *Helicobacter Pylori* is Associated With Autoimmune Thyroid Disease in Iranian Patients / M. Soveid, H.K. Asl, G.R. Omrani // ranian Journal of Immunology. 2012. Vol. 9 (1). P. 48-52.
- 250. Marcus, E.A. Acid-regulated gene expression of *Helicobacter pylori*: Insight into acid protection and gastric colonization / E.A. Marcus, G. Sachs, D.R. Scott // *Helicobacter*. 2018. Vol. 23 (3). P. e12490.
- 251. Marino, J. Allorecognition by T Lymphocytes and Allograft Rejection / J. Marino, J. Paster, G. Benichou// Frontiers in Immunology. 2016. Vol. 7. P. 582.

- 252. Massilamany, C. Intricacies of cardiac damage in Coxsackievirus B3 infection: McClain, M.S. *Helicobacter pylori* Vacuolating Toxin and Gastric Cancer / M.S. McClain, A.C. Beckett, T.L. Cover // Toxins (Basel). 2017. Vol. 9 (10). P. 316.
- 253. Mechanism of gastric mucosal damage induced by ammonia / M. Tsujii, S. Kawano, S. Tsuji [et al.] // Gastroenterology. 1992. Vol. 102 (6). P. 1881-1888.
- 254. Meta-analysis of the correlation between *Helicobacter pylori* infection and autoimmune thyroid diseases / Y. Hou, W. Sun, C. Zhang [et al.] // Oncotarget. 2017. Vol. 8 (70). P. 115691-115700.
- 255. Meyer, O. Interferons and autoimmune disorders / O. Meyer Ivashkiv // Joint Bone Spine. 2009. Vol. 76 (5). P. 464-473.
- 256. Molecular mimicry between *Helicobacter pylori* antigens and H+, K+-- adenosine triphosphatase in human gastric autoimmunity / A. Amedei, M.P. Bergman, B.J. Appelmelk [et al.] // Journal of Experimental Medicine. 2003. Vol. 198 (8). P. 1147-1156.
- 257. Molecular mimicry by *Helicobacter pylori* CagA protein may be involved in the pathogenesis of *H. pylori*-associated chronic idiopathic thrombocytopenic purpura / T. Takahashi, T. Yujiri, K. Shinohara [et al.] // British Journal of Haematology. 2004. Vol. 124 (1). P. 91-96.
- 258. Monoclonal antibodies against *Helicobacter pylori* cross-react with human tissue / G.H. Ko, H.B. Park, M.K. Shin [et al.] // *Helicobacter*. 1997. Vol. 2 (4). P. 210-215.
- 259. Moran, A.P. Molecular mimicry of host structures by bacterial lipopolysaccharides and its contribution to disease / A.P Moran, M.M. Prendergast, B.J. Appelmelk // FEMS Immunology *and* Medical Microbiology. 1996. Vol. 16 (2). P. 105-115.
- 260. Moyat, M. Immune responses to *Helicobacter pylori* infection / M. Moyat, D. Velin // World Journal of Gastroenterology. 2014. Vol. 20 (19). P. 5583-5593.
- 261. Mucosal FOXP3-expressing CD4+CD25high regulatory T cells in *Helicobacter* pylori-infected patients / A. Lundgren, E. Strömberg, A. Sjöling [et. al.] // Infection and Immunity. 2005. Vol. 73 (1). P. 523-531.

- 262. Mulrooney, S.B. Nickel uptake and utilization by microorganisms / S.B. Mulrooney, R.P. Hausinger // FEMS Microbiol Reviews. 2003. Vol. 27 (2-3). P. 239-261.
- 263. Multiplex analysis of antibodies against citrullinated peptides in individuals prior to development of rheumatoid arthritis / M. Brink, M. Hansson, L. Mathsson [et al.] // Arthritis Rheumatology. 2013. Vol. 65 (4). P. 899-910.
- 264. Narciso-Schiavon, J.L. Autoantibodies in chronic hepatitis C: A clinical perspective / J.L. Narciso-Schiavon, L.L. Schiavon // World Journal of Hepatology. 2015. Vol. 7 (8). P. 1074-1085.
- 265. NF-κB-induced NOX1 activation promotes gastric tumorigenesis through the expansion of SOX2-positive epithelial cells / K. Echizen, K. Horiuchi, Y. Aoki // Oncogene. 2019. Vol. 38 (22). P. 4250-4263.
- 266. Nod1 acts as an intracellular receptor to stimulate chemokine production and neutrophil recruitment in vivo / J. Masumoto, K. Yang, S. Varambally [et. al.] // Journal of Experimental Medicine. 2006. Vol. 203 (1). P. 203-213.
- 267. Nod1 responds to peptidoglycan delivered by the *Helicobacter pylori* cag pathogenicity island / J. Viala, C. Chaput, I.G. Boneca [et al.] // Nature Immunology. 2004. Vol. 5 (11). P. 1166-1174.
- 268. Nod1-mediated innate immune recognition of peptidoglycan contributes to the onset of adaptive immunity / J.H. Fritz, L. Le. Bourhis, G. Sellge [et al.] // Immunity. -2007. Vol. 26 (4). P. 445-459.
- 269. Noncatalytic Antioxidant Role for *Helicobacter pylori Urease* / A.A. Schmalstig, S.L. Benoit, S.K. Misra [et al.] // Journal of Bacteriology. 2018. Vol. 200 (17). P. e00124.
- 270. Noto, J. M. The *Helicobacter pylori* cag pathogenicity island / J.M. Noto, R.M.P. Jr // Methods in Molecular Biology. 2012. Vol. 921. P. 41-50.
- 271. Oldstone, M.B. Molecular mimicry: its evolution from concept to mechanism as a cause of autoimmune diseases / M.B. Oldstone // Monoclonal Antibodies in Immunodiagnosis and Immunotherapy. –2014. Vol. 33 (3). P.158-165.

- 272. Ottemann, K.M. *Helicobacter pylori* uses motility for initial colonization and to attain robust infection / K.M. Ottemann, A.C. Lowenthal // Infection and Immunity. 2002. Vol. 70 (4). P. 1984-1990.
- 273. Outer inflammatory protein a (OipA) of *Helicobacter pylori* is regulated by host cell contact and mediates CagA translocation and interleukin-8 response only in the presence of a functional cag pathogenicity island type IV secretion system / D.N. Horridge, A.A. Begley, J. Kim [et al.] // Pathogens and Disease. 2017. Vol. 75 (8). P. 113.
- 274. Ouyang, W. The biological functions of T helper 17 cell effector cytokines in inflammation / W. Ouyang, J.K. Kolls, Y. Zheng // Immunity. 2008. Vol. 28 (4). P. 454-467.
- 275. Oxidative Stress Resulting from *Helicobacter pylori* Infection Contributes to Gastric Carcinogenesis / L.D. Butcher, G. Hartog, P.B. Ernst, S.E. Crowe // Cellular and Molecular Gastroenterology and Hepatology. 2017. Vol. 3 (3). P. 316-322.
- 276. Pathogenesis and clinical management of *Helicobacter pylori* gastric infection / B.B. de Brito, F.A.F. da Silva, A.S. Soares [et al.] // World Journal of Gastroenterology. 2019. Vol. 25 (37). P. 5578-5589.
- 277. Pathogenic *Helicobacter pylori* strains translocate DNA and activate TLR9 via the cancer-associated cag type IV secretion system / M.G. Varga, C.L. Shaffer, J.C. Sierra [et al.] // Oncogene. 2016. Vol. 35 (48). P. 6262-6269.
- 278. Pathogen-induced human TH17 cells produce IFN- $\gamma$  or IL-10 and are regulated by IL-1 $\beta$  / C.E. Zielinski, F. Mele, D. Aschenbrenner [et al.] // Nature. 2012. Vol. 484 (7395). P. 514-518.
- 279. Peripheral CD4+ cell prevalence and pleuropulmonary manifestations in systemic lupus erythematosus patients / K.Vincze, Z. Kovats, A. Cseh [et al.] // Respiratory Medicine. 2014. Vol. 108 (5). P. 766-774.
- 280. pH-regulated gene expression of the gastric pathogen *Helicobacter pylori* / D.S. Merrell, M.L. Goodrich, G. Otto [et al.] // Infection and Immunity. 2003. Vol. 71 (6). P. 3529-3539.

- 281. Pisetsky, D.S. New insights into the role of antinuclear antibodies in systemic lupus erythematosus / D D.S. Pisetsky, P.E. Lipsky // Nature Reviews Rheumatology. 2020. Vol. 16 (10). P. 565-579.
- 282. Potential role of molecular mimicry between *Helicobacter pylori* lipopolysaccharide and host Lewis blood group antigens in autoimmunity autoimmunity / B. J. Appelmelk, I. Simoons-Smit, R. Negrini [et al.] // Infection and Immunity. 1996. Vol. 64 (6). P. 2031-2040.
- 283. Prediction of extracellular proteases of the human pathogen *Helicobacter pylori* reveals proteolytic activity of the Hp1018/19 protein HtrA / M. Löwer, C. Weydig, D. Metzler [et al.] // PLoS One. 2008. Vol. 3 (10). P. e3510.
- 284. Prevalence of *Helicobacter pylori* infection and risk of upper gastrointestinal ulcer in patients with rheumatoid arthritis in Japan / E. Tanaka, G. Singh, A. Saito [et al.] // Modern Rheumatology. 2005. Vol. 15 (5). P. 340-345.
- 285. Production of autoantibodies by murine B-1a cells stimulated with *Helicobacter pylori* urease through toll-like receptor 2 signaling / F. Kobayashi, E. Watanabe, Y. Nakagawa [et al.] // Infection and Immunity. 2011. Vol. 79 (12). P. 4791-4801.
- 286. Properties of the HtrA Protease From Bacterium *Helicobacter pylori* Whose Activity Is Indispensable for Growth Under Stress Conditions / U. Zarzecka, A. Modrak-Wójcik, D. Figaj [et al.] // Frontiers in Microbiology. 2019. Vol. 10. P. 961.
- 287. Raghwan. Host cell contact induces fur-dependent expression of virulence factors CagA and VacA in *Helicobacter pylori* / Raghwan, R. Chowdhury // *Helicobacter*. 2014. Vol. 19 (1). P. 17-25.
- 288. Rai, R. Association of anti-phospholipid antibodies with connective tissue diseases / R. Rai, T. Swetha // Indian Dermatology Online Journal. 2015. Vol. 6 (2). P. 89-91.
- 289. Rapid Characterization of Virulence Determinants in *Helicobacter pylori* Isolated from Non-Atrophic Gastritis Patients by Next-Generation Sequencing / F. Imkamp, F.N. Lauener, D. Pohl [et al.] // Journal of Clinical Medicine. 2019. Vol. 8 (7). P. 1030.

- 290. Relation between *Helicobacter pylori* infection, thyroid hormone levels and cardiovascular risk factors on blood donors / J.K. Triantafillidis, D. Georgakopoulos, A. Gikas [et al.] // Hepatogastroenterology. 2003. Vol. 50 (2). P. cccxviii-cccxx.
- 291. Relationship between *Helicobacter pylori* cytotoxin-associated gene A protein with clinical outcomes in patients with rheumatoid arthritis / A. Ebrahimi, B. Soofizadeh, F. Ebrahimi [et al.] // Immunology Letters. 2019. Vol. 211. P. 49- 52.
- 292. Remodeling of *Helicobacter pylori* lipopolysaccharide / A.X. Tran, C.M. Stead, M.S. Trent // Journal of Endotoxin Research. 2005. –Vol. 11 (3). P. 161-166.
- 293. Reshetnyak, V.I. *Helicobacter pylori:* Commensal, symbiont or pathogen? / V.I. Reshetnyak, A.I. Burmistrov, I.V. Maev // World Journal of Gastroenterology. 2021. Vol. 27 (7). P. 545-560.
- 294. Response of gastric epithelial progenitors to *Helicobacter pylori* Isolates obtained from Swedish patients with chronic atrophic gastritis / M. Giannakis, H.K. Bäckhed, S.L. Chen [et al.] // Journal of Biological Chemistry. 2009. Vol. 284 (44). P. 30383-30394.
- 295. Rheumatoid arthritis classification criteria: an American College of Rheumatology/European League Against Rheumatism collaborative initiative / D. Aletaha, T. Neogi, A.J. Silman [et al.] // Arthritis & Rheumatology. 2010. Vol. 62 (9). P. 2569-2581.
- 296. Ricci, V. Relationship between VacA Toxin and Host Cell Autophagy in *Helicobacter pylori* Infection of the Human Stomach: A Few Answers, Many Questions / V. Ricci // Toxins (Basel). 2016. Vol. 8 (7). P. 203.
- 297. Role of *Helicobacter pylori* surface structures in bacterial interaction with macrophages / M. Chmiela, E. Czkwianianc, T. Wadstrom, W. Rudnicka // Gut. 1997. Vol. 40 (11). P. 20-24.
- 298. Role of interleukin-32 in *Helicobacter pylori* induced gastric inflammation / K. Sakitani, Y. Hirata, Y. Hayakawa [et al.] // Infection and Immunity. 2012. Vol. 80 (11). P. 3795-3803.

- 299. Role of tumor necrosis factor-alpha and interferon-gamma in *Helicobacter pylori* infection / T. Yamamoto, M. Kita, T. Ohno [et al.] // Microbiology and Immunology. 2004. Vol. 48 (9). P. 647-654.
- 300. Saad, S. The relation between *Helicobacter pylori* infection and the severity of rheumatoid arthritis / S. Saad, N. Rashad // Bahrain Medical Bulletin. 2014. Vol. 36 (4). P. 1-6.
- 301. Sakkas, L.I. Infections as a cause of autoimmune rheumatic diseases / L.I. Sakkas, D.P. Bogdanos // Autoimmunity Highlights. 2016. Vol. 7 (1). P. 13.
- 302. Salama, N.R. Cell morphology as a virulence determinant: lessons from *Helicobacter pylori* / N.R. Salama // Current Opinion in Microbiology. 2020. Vol. 54. P. 11-17.
- 303. Saxena, A. *Helicobacter pylori*: Perturbation and restoration of gut microbiome / A. Saxena, A.K. Mukhopadhyay, SP. Nandi // Journal of Biosciences. 2020. Vol. 45 (1). P. 110.
- 304. Sene, D. Antiphospholipid antibodies, antiphospholipid syndrome and viral infections / D. Sene, J-C. Piette, P. Cacoub // La Revue de Médecine Interne. 2009. Vol. 30 (2). P. 135-141.
- 305. Seroprevalence of *Helicobacter pylori* infection in patients with connective tissue diseases / Y. Showji, R. Nozawa, K. Sato, H. Suzuki //Journal of Microbiology and Immunology. 1996. Vol. 40 (7). P. 499-503.
- 306. Serum interleukin-23 level in rheumatoid arthritis patients: Relation to disease activity and severity / M.M. Alsheikh, A.M. El-Shafey, H.H. Gawish, E.T. El-Desoky // The Egyptian Rheumatologist. 2019. Vol. 41 (2). P. 99-103.
- 307. Shamriz, O. Infections: a double-edge sword in autoimmunity / O. Shamriz, Y. Shoenfeld // Current Opinion in Rheumatology. 2018. –Vol. 30 (4). P. 365-372.
- 308. Shariaty, Z. Evaluating the Effects of *Helicobacter pylori* Eradication on Clinical Course of Rheumatoid Arthritis / Z. Shariaty, M.R Sheykhian, S. Dolatshahi // Razavi International Journal of Medicine. 2015. Vol. 3 (3). P. 8-12.

- 309. Shiota, S. The signifi cance of virulence factors in *Helicobacter pylori /* S. Shiota, R. Suzuki, Y. Yamaoka // Journal of Digestive Diseases. 2013. Vol. 14 (3). P. 341-349.
- 310. SHP-2 tyrosine phosphatase as an intracellular target of *Helicobacter pylori* CagA protein / H. Higashi, R. Tsutsumi, S. Muto [et al.] // Science. 2002. Vol. 295 (5555). P. 683-686.
- 311. Sichel, S.R. Distinct regions of *H. pylori'*s bactofilin CcmA regulate protein-protein interactions to control helical cell shape / S.R. Sichel, B.P. Bratton, N.R. Salama // Elife. 2022. Vol. 11. P. e8011.
- 312. Sitep, R.R. Correlation between TNF-A and degree of gastritis / R.R. Sitep, D. Darmad, G.A. Sirega // Indonesian Journal of Gastroenterology, Hepatology, and Digestive Endoscopy. 2018. Vol. 19 (1). P. 16-19.
- 313. Smith, S.M. Role of Toll-like receptors in *Helicobacter pylori* infection and immunity / S.M. Smith // World Journal of Gastrointestinal Pathophysiology. 2014. Vol. 5 (3). P. 133-146.
- 314. Soveid, M. Infection by Cag A positive strains of *Helicobacter pylori* is associated with autoimmune thyroid disease in Iranian patients / M. Soveid, K. H. Asl, G.R. Omrani // Iranian Journal of Immunology. 2012. Vol. 9 (1). P. 48-52.
- 315. Sphingomyelin functions as a novel receptor for *Helicobacter pylori* VacA / V.R. Gupta, H.K. Patel, S.S. Kostolansky [et al.] // PLOS Pathogens. 2008. Vol. 4 (5). P. e1000073.
- 316. Stasi, R. *Helicobacter pylori* and Chronic ITP / R. Stasi, D. Provan // Hematology-American Society of Hematology Education Program. 2008. P. 206-211.
- 317. Stefan, M. Genetics of Thyroid-Stimulating Hormone Receptor Relevance for Autoimmune Thyroid Disease / M. Stefan, L.C. Faustino // Hematology-American Society of Hematology Education Program. 2017. Vol. 8. P. 57.
- 318. Stingl, K. Acid survival of *Helicobacter pylori*: how does urease activity trigger cytoplasmic pH homeostasis? / K. Stingl, K. Altendorf, E.P. Bakker // Trends in Microbiology. 2002. Vol. 10 (2). P. 70-74.

- 319. Structure of the *Helicobacter pylori* Cag type IV secretion system / J.M. Chung, M.J. Sheedlo, A.M. Campbell [et al.] // Elife. 2019. Vol. 8. P. e47644.
- 320. Study of the effect of treatment of *Helicobacter pylori* on rheumatoid arthritis activity / A.E. El-Hewala, S.S. Khamis, S.G. Soliman [et al.] // Menoufia Medical Journal. 2015. Vol. 28 (2). P. 319-324.
- 321. Subsets of regulatory T cells and their roles in allergy / H. Zhang, H. Kong, X. Zeng [et al.] // Journal of Translational Medicine. 2014. Vol. 12. P. 125.
- 322. Suppression of cell division-associated genes by *Helicobacter pylori* attenuates proliferation of RAW264.7 monocytic macrophage cells / G.M. Tan, C.Y. Looi, K.C. Fernandez [et al.] // Scientific Reports. 2015. Vol. 5. P. 11046.
- 323. Surface phenotype and antigenic specificity of human interleukin 17-producing T-helper memory cells / E.V. Acosta-Rodriguez, L. Rivino, J. Geginat [et al.] // Nature Immunology. 2007. Vol. 8 (6). P. 639-646.
- 324. Syndrome of increased epithelial permeability in clinical practice. Multidisciplinary National Consensus / V.I. Simanenkov, I.V. Maev, O.N. Tkacheva [et al.] // Cardiovascular Therapy and Prevention. 2021. Vol. 20 (1). P. 2758.
- 325. T4SS-dependent TLR5 activation by *Helicobacter pylori* infection / S.K. Pachathundikandi, N. Tegtmeyer, I.C. Arnold [et al.] // *Helicobacter*. 2019. Vol. 10 (1). P. 5717.
- 326. Tan, S. *Helicobacter pylori* us urps cell polarity to turn the cell surface into a replicative niche / S. Tan, L.S. Tompkins, M.R. Amieva // PLOS Pathogens. 2009. Vol. 5 (5). P. e1000407.
- 327. Th1 and Th17 responses to *Helicobacter pylori* in Bangladeshi infants, children and adults / T.R. Bhuiyan, J. Adamsson, S.B. Lundin [et al.] // PLoS One. 2014. Vol. 9 (4). P. e93943.
- 328. The antiphospholipid syndrome: from pathophysiology to treatment / S. Negrini, F. Pappalardo, G. Murdaca [et al.] // Clinical and Experimental Medicine. 2017. Vol. 17 (3). P. 257-267.

- 329. The association of *Helicobacter pylori* infection with Hashimoto's thyroiditis / R. Aghili, F. Jafarzadeh, R. Ghorbani [et al.] // Acta Medica Iranica. 2013. Vol. 51 (5). P. 293-296.
- 330. The complete genome sequence of the gastric pathogen *Helicobacter pylori* / J.F. Tomb, O. White, A.R. Kerlavage [et al.] // Nature. 1997. Vol. 388 (6642). P. 539-547.
- 331. The correlation of Th22 and regulatory T cells with *Helicobacter pylori* infection in patients with chronic gastritis / B. Yao, X. Xu, W. Liu [et al.] // Immunity, Inflammation and Disease. 2023. Vol. 11 (1). P. e768.
- 332. The *Helicobacter pylori* Type IV Secretion System Encoded by the cag Pathogenicity Island: Architecture, Function, and Signaling / S. Backert, R. Haas, M. Gerhard, M. Naumann // Current Topics in Microbiology and Immunology. 2017. Vol. 413. P. 187-220.
- 333. The *Helicobacter pylori* urease B subunit binds to CD74 on gastric epithelial cells and induces NF-kappaB activation and interleukin-8 production / E.J. Beswick, I.V. Pinchuk, K. Minch [et al.] // Infection and Immunity. 2006. Vol. 74 (2). P. 1148-1155.
- 334. The *Helicobacter pylori* virulence effector CagA abrogates human  $\beta$ -defensin 3 expression via inactivation of EGFR signaling / B. Bauer, E. Pang, C. Holland [et al.] // Cell Host Microbe. 2012. Vol. 11 (6). P. 576-586.
- 335. The HopQ-CEACAM Interaction Controls CagA Translocation, Phosphorylation, and Phagocytosis of *Helicobacter pylori* in Neutrophils / I.K. Behrens, B. Busch, H. Ishikawa-Ankerhold [et al.] // mBio. 2020. Vol. 11 (1). P. e03256-19
- 336. The infection by *Helicobacter pylori* strains expressing CagA is highly prevalent in women with autoimmune thyroid disorders / N. Figura, G.D. Cairano, F. Lorè [et al.] // Journal of Physiology and Pharmacology. 1999. Vol. 50 (5). P. 817-826.
- 337. The neutrophil-activating protein (HP-NAP) of *Helicobacter pylori* is a protective antigen and a major virulence factor / B. Satin, G. D. Giudice, V. D. Bianca [et al.] // Journal of Experimental Medicine. 2000. Vol. 191 (9). P. 1467-1476.

- 338. The neutrophil-activating protein of *Helicobacter pylori* promotes Th1 immune responses / A. Amedei, A. Cappon, G. Codolo [et al.] // The European Journal of Clinical Investigation 2006. Vol. 116 (4). P. 1092-1101.
- 339. The number of human peripheral blood CD4+ CD25 high regulatory T cells increases with age / R. Gregg, C.M. Smith, F.J. Clark [et al.] // Clinical & Experimental Immunology. 2005. Vol. 140. P. 540-546.
- 340. The relationship between cytotoxin-associated gene A positive *Helicobacter pylori* infection and autoimmune thyroid disease / M.S. Arslan, F. Ekiz, M. Deveci [et al.] // Endocrine Research. 2015. Vol. 40 (4). P. 211- 214.
- 341. The Role of Tumor Necrosis Factor Alpha (TNF-α) in Autoimmune Disease and current TNF-α Inhibitors in Therapeutics / D. Jang, A-H. Lee, H-Y. Shin [et al.] // International Journal Molecular Sciences. 2021. Vol. 22 (5). P. 2719.
- 342. Toll-like receptor (TLR) 2 and TLR5, but not TLR4, are required for *Helicobacter pylori*-induced NF-kappa B activation and chemokine expression by epithelial cells / M.F.J. Smith, A. Mitchell, G. Li [et al.] // Journal of Biological Chemistry. 2008. Vol. 278 (35). P. 32552-32560.
- 343. Toll-like receptor (TLR) 2 induced through TLR4 signaling initiated by *Helicobacter pylori* cooperatively amplifies iNOS induction in gastric epithelial cells / K. Uno, K. Kato, T. Atsumi [et al.] // American Journal of Physiology-Gastrointestinal and Liver Physiology. 2007. Vol. 293 (5). P. G1004-1012.
- 344. Toll-like receptor 2 and 4 polymorphisms associated with *Helicobacter pylori* susceptibility and gastric cancer / T. Tongtawee, T. Simawaranon, W. Wattanawongdon [et al.] // Turkish Journal of Gastroenterology. 2019. –Vol. 30 (1). P. 15-20.
- 345. Toll-like receptor 2: An important immunomodulatory molecule during *Helicobacter pylori* infection / M. Nemati, T. Larussa, H. Khorramdelazad [et al.] // Life Sciences. 2017. Vol. 178. P. 17-19.
- 346. Toll-like Receptor 5 Activation by the CagY Repeat Domains of *Helicobacter pylori* / N. Tegtmeyer, M. Neddermann, J. Lind [et al.] // Cell Reports. 2020. Vol. 32 (11). P. 108159.

- 347. Toll-like receptors and cytokines are upregulated during *Helicobacter pylori* infection in children / H. Lagunes-Servin, J. Torres, C. Maldonado-Bernal [et. al.] // *Helicobacter*. 2013. Vol. 18 (6). P. 423-432.
- 348. Translocation of *Helicobacter pylori* CagA into gastric epithelial cells by type IV secretion / S. Odenbreit, J. Püls, B. Sedlmaier [et al.] // Science. 2000. Vol. 287 (5457). P. 1497-1500.
- 349. Transmembrane TNF-α: structure, function and interaction with anti-TNF agents / T. Horiuchi, H. Mitoma, S-I. Harashima [et al.] // Rheumatology. 2021. Vol. 22 (5). P. 2719.
- 350. Tribbles 3: a novel regulator of TLR2-mediated signaling in response to *Helicobacter pylori* lipopolysaccharide / S.M. Smith, A.P. Moran, S.P. Duggan [et al.] // Immunology. 2011. Vol. 186 (4). P. 2462-2471.
- 351. Trickett, A. T cell stimulation and expansion using anti-CD3/ CD28 beads / A. Trickett, Y.L. Kwan // Immunobiology Methods. 2003. Vol. 257 (1-2). P. 251- 255.
- 352. Tshibangu-Kabamba, E. *Helicobacter pylori* infection and antibiotic resistance from biology to clinical implications / E. Tshibangu-Kabamba, Y. Yamaoka Y // Nature Reviews Gastroenterology & Hepatology. 2021. Vol. 18 (9). P. 613- 629.
- 353. Typing of *Helicobacter pylori* with monoclonal antibodies against Lewis antigens in lipopolysaccharide / I.M. Simoons-Smit, B.J. Appelmelk, T. Verboom [et al.] // Journal of Clinical Microbiology. 1996. Vol. 34 (9). P. 2196-2200.
- 354. Unraveling the Hygiene Hypothesis of helminthes and autoimmunity: origins, pathophysiology, and clinical applications / M. Versini, P.Y. Jeandel, T. Bashi [et al.] // BMC Medical. 2015. Vol. 13. P. 81.
- 355. Unveiling the Crucial Role of Type IV Secretion System and Motility of *Helicobacter pylori* in IL-1β Production via NLRP3 Inflammasome Activation in Neutrophils / A.R. Jang, M.J. Kang, J.I. Shin [et al.] // Frontiers in Immunology. 2020. Vol. 11. P. 1121.

- 356. Up-Regulation of IL-17 Is Associated with Bioactive IL-8 Expression in *Helicobacter pylori*-Infected Human Gastric Mucosa / F. Luzza, T. Parrello, G. Monteleone [et. al.] // Journal of Immunology. 2000. Vol. 165 (9). P. 5332-5337.
- 357. Van Vliet, A.H.M. NikR-mediated regulation of *Helicobacter pylori* acid adaptation / A.H.M. Van Vliet, F.D. Ernst, J.G. Kusters // Trends Microbiology. 2004. Vol. 12 (11). P. 489-494.
- 358. Varga, M.G. DNA Transfer and Toll-like Receptor Modulation by *Helicobacter pylori* / M.G. Varga, R.M. Peek // Current Topics in Microbiology and Immunology. 2017. Vol. 400. P. 169-193.
- 359. Vector-encoded *Helicobacter pylori* neutrophil-activating protein promotes maturation of dendritic cells with Th1 polarization and improved migration / M. Ramachandran, C. Jin, D. Yu [et al.] // Journal of Immunology. 2014. Vol. 193 (5). P. 2287-2296.
- 360. Westwood, O.M.R. Rheumatoid factors: what's new? / O.M.R. Westwood, P.N. Nelson, F.C. Hay // Rheumatology (Oxford). 2006. Vol. 45 (4). P. 379-385.
- 361. Ying, L. Role of NOD1 and ALPK1/TIFA Signalling in Innate Immunity Against *Helicobacter pylori* Infection / L. Ying, R.L. Ferrero // Current Topics in Microbiology and Immunology. 2019. Vol. 421. P. 159-177.
- 362. Zaky, D.S.E. Role of interleukin-23 as a biomarker in rheumatoid arthritis patients and its correlation with disease activity / D.S.E. Zaky, E.M.A. El-Nahrery // International Immunopharmacology. 2016. Vol. 31. P. 105-108.
- 363. Zarrilli, R. Molecular response of gastric epithelial cells to *Helicobacter pylori*-induced cell damage / R. Zarrilli, V. Ricci, M. Romano // Cellular Microbiology. 1999. Vol. 1 (2). P. 93-99.
- 364. Zekry, O.A. The association between *Helicobacter pylori infection*, type 1 diabetes mellitus, and autoimmune thyroiditis / O.A. Zekry, H.A.A. Elwahid // Journal of The Egyptian Public Health Association. 2013. Vol. 88 (3). P. 143-147.
- 365. Zheng, P.Y. *Helicobacter pylori* strains expressing the vacuolating cytotoxin interrupt phagosome maturation in macrophages by recruiting and retaining TACO

(coronin 1) protein / P.Y. Zheng, N.L. Jones // Cellular Microbiology. -2003. - Vol. 5 (1). -P. 25-40.

366.  $\beta$ -Defensins in the Fight against *Helicobacter pylori /* R. Pero, L. Coretti, E. Nigro [et al.] // Molecules.  $-2017.-Vol.\ 22\ (3).-P.\ 424.$